

IOANA SĂRĂCUȚ

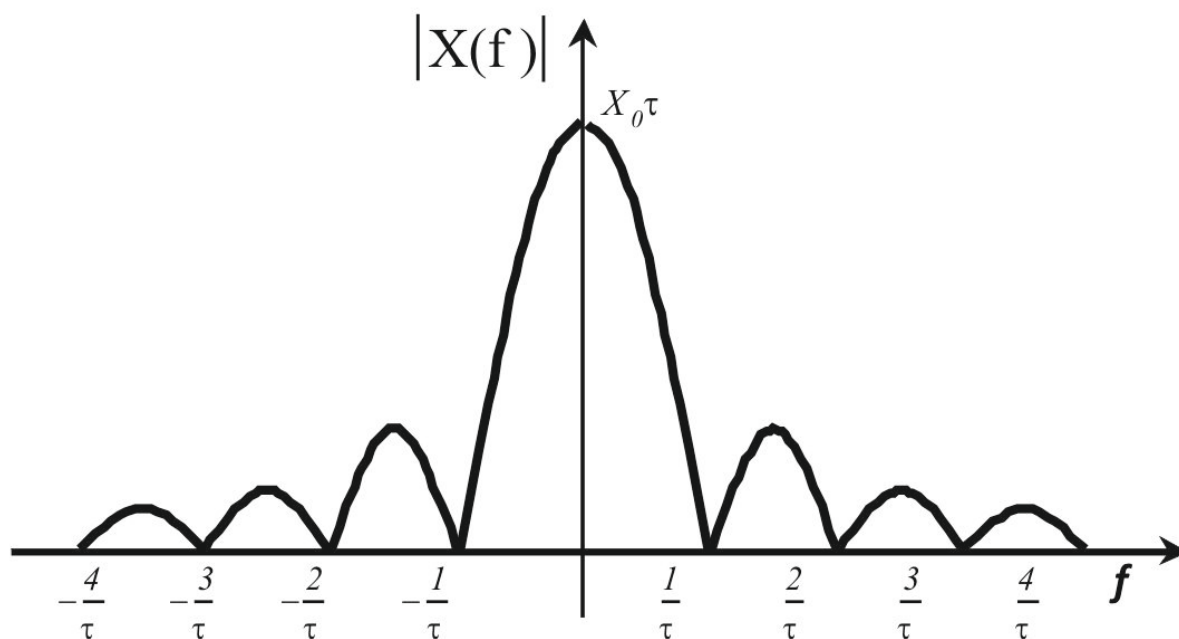
ERWIN SZOPOS

VICTOR POPESCU

TEORIA SEMNALELOR

Culegere de probleme

Ediția a 2-a



UTPRESS

Cluj-Napoca, 2020

ISBN 978-606-737-478-0

IOANA SĂRĂCUȚ

ERWIN SZOPOS

VICTOR POPESCU

TEORIA SEMNALELOR

Culegere de probleme
Ediția a 2-a



UTPRESS

Cluj-Napoca, 2020

ISBN 978-606-737-478-0



Editura U.T.PRESS
Str. Observatorului nr. 34
C.P. 42, O.P. 2, 400775 Cluj-Napoca
Tel.:0264-401.999
e-mail: utpress@biblio.utcluj.ro
<http://biblioteca.utcluj.ro/editura>

Director: ing. Călin Câmpean

Copyright © 2020 Editura U.T.PRESS

Reproducerea integrală sau parțială a textului sau ilustrațiilor din această carte este posibilă numai cu acordul prealabil scris al editurii U.T.PRESS.

ISBN 978-606-737-478-0

P R E F A Ț Ă

Această culegere de probleme se adresează studenților din anul II ai Facultății de Electronică, Telecomunicații și Tehnologia Informației din cadrul Universității Tehnice din Cluj-Napoca.

Cele cinci capitole ale culegerii prezintă aplicații ale disciplinei predate în semestrul I al anului universitar II la cursul de „Teoria Semnalelor”: „Noțiuni introductive”, „Analiza spectrală a semnalelor”, „Sisteme analogice liniare și invariante în timp”, „Semnale eșantionate” și „Semnale modulate”.

Fiecare capitol al culegerii cuprinde trei părți:

- *Breviar teoretic* – aici sunt prezentate principalele noțiuni teoretice, relații și definiții necesare la rezolvarea problemelor din capitolul respectiv;
- *Enunțuri* – cuprinde enunțurile problemelor propuse spre rezolvare;
- *Indicații și soluții* – aici sunt date soluțiile finale la toate problemele, iar la unele probleme sunt prezentate și rezolvările parțiale sau complete.

În speranța că această culegere de probleme va contribui la acumularea și aprofundarea cunoștințelor dobândite la cursul de „Teoria semnalelor”, așteptăm cu interes sugestiile și observațiile cititorilor.

Cluj-Napoca, iunie 2010
Autorii

CUPRINS

Capitolul 1. NOȚIUNI INTRODUCTIVE

1.1. Breviar teoretic.....	7
1.2. Enunțuri.....	9
1.3. Indicații și soluții.....	13

Capitolul 2. ANALIZA SPECTRALĂ A SEMNALELOR

2.1. Breviar teoretic.....	17
2.2. Enunțuri.....	22
2.3. Indicații și soluții.....	38

Capitolul 3. SEMNALE ANALOGICE LINIARE ȘI INVARIANTE ÎN TIMP

3.1. Breviar teoretic.....	75
3.2. Enunțuri.....	80
3.3. Indicații și soluții	90

Capitolul 4. SEMNALE EȘANTIONATE

4.1. Breviar teoretic.....	108
4.2. Enunțuri.....	109
4.3. Indicații și soluții	112

Capitolul 5. SEMNALE MODULATE

5.1. Breviar teoretic.....	117
5.2. Enunțuri.....	120
5.3. Indicații și soluții	126

Notații.....	137
--------------	-----

Bibliografie.....	138
-------------------	-----

Capitolul 1

NOȚIUNI INTRODUCTIVE

1.1. Breviar teoretic

Transformări elementare în domeniul timp

➤ Transformarea $x(t) \rightarrow x(-t)$ se numește *reflexia (inversiunea)* semnalului $x(t)$. Un exemplu de reflexie a unui semnal este ilustrat în *Figura 1.1*.

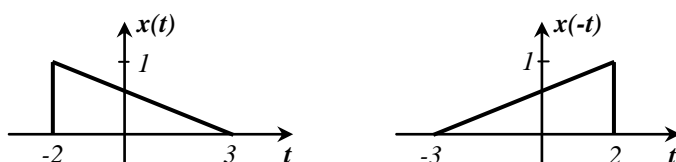


Figura 1.1

➤ Transformarea $x(t) \rightarrow x(at)$ reprezintă *compresia* semnalului $x(t)$ pentru $a > 1$, sau *dilatarea* semnalului pentru $a < 1$. În *Figura 1.2* este ilustrat un exemplu, în care semnalul $x(t)$ (stânga) este pe rând *comprimat* (mijloc) și apoi *dilatat* (dreapta).

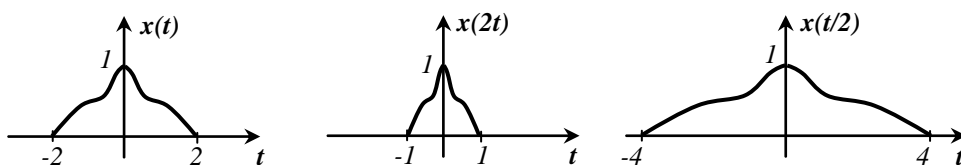


Figura 1.2

➤ Transformarea $x(t) \rightarrow x(t \pm t_0)$ reprezintă *întârzierea*, respectiv *avansarea* semnalului $x(t)$.

În exemplul din *Figura 1.3*, semnalul $x(t+2)$ este *avansat* față de $x(t)$, iar $x(t-2)$ este *întârziat* față de același $x(t)$.

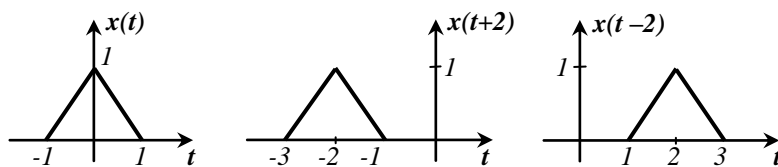


Figura 1.3

Semnale armonice (sinusoidale)

Un semnal *armonic* are expresia generală:

$$x(t) = X \cdot \cos(2\pi ft + \varphi) \quad (1.1)$$

unde: X este *amplitudinea* [V, A], f este *frecvența* [Hz], iar φ reprezintă *faza inițială* [rad]. Figura 1.4 arată graficul în timp al un semnal armonic, cu fază inițială pozitivă. Mărima t_0 reprezintă faza inițială exprimată în secunde: $t_0 = \frac{\varphi}{2\pi f}$.

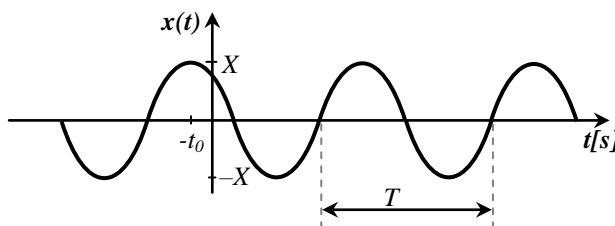


Figura 1.4

Un semnal $x(t)$ se numește *periodic* dacă există $T > 0$, astfel încât $x(t+T) = x(t)$, $\forall t \in \mathbf{R}$. Un semnal armonic este periodic, iar perioada sa este inversul frecvenței:

$$T = \frac{1}{f} = \frac{2\pi}{\omega} \text{ [s]} \quad (1.2)$$

unde ω este *frecvența unghiulară (pulsatia)* [rad/s].

Numere complexe

Forma carteziană a unui număr complex z este:

$$z = a + jb \quad (1.3)$$

unde a este partea reală a lui z , iar b este partea imaginară a lui z . În reprezentarea în planul complex, a și b reprezintă *coordonatele carteziane* ale numărului z .

Forma polară a unui număr complex este:

$$z = r \cdot e^{j\varphi} \quad (1.4)$$

unde r este modulul numărului z , iar φ este argumentul numărului complex. În reprezentarea în planul complex, r și φ reprezintă *coordonatele polare* ale lui z .

Relațiile de legătură forma carteziană și cea polară sunt următoarele:

$$r = \sqrt{a^2 + b^2}$$

$$\varphi = \begin{cases} \operatorname{arctg} \frac{b}{a}, & \text{dacă } a > 0 \\ \operatorname{arctg} \frac{b}{a} + \pi, & \text{dacă } a < 0 \end{cases} \quad (1.5)$$

cu observația că pentru argumentul φ convenim să considerăm determinarea principală, deci: $\varphi \in [-\pi, \pi]$.

Ca și aplicații la numere complexe, există de asemenea și *relațiile lui Euler*:

$$\begin{cases} \cos \alpha = \frac{1}{2}(e^{j\alpha} + e^{-j\alpha}) \\ \sin \alpha = \frac{1}{2j}(e^{j\alpha} - e^{-j\alpha}) \end{cases} \quad (1.6)$$

1.2. Enunțuri

P1.1. Fie semnalul $x(t)$ din *Figura P1.1*. Trasați graficele următoarelor semnale:

- | | |
|-------------------|------------------|
| (a) $x(t+2)$; | (b) $x(-t)$; |
| (c) $0.5x(t-3)$; | (d) $2x(2t+1)$; |
| (e) $x(1-t)$; | (f) $-x(0.5t)$. |

P1.2. Aceleași cerințe ca la problema *P1.1*, dar pentru semnalul $x(t)$ din *Figura P1.2*.

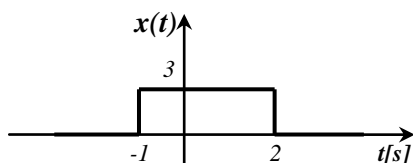


Figura P1.1

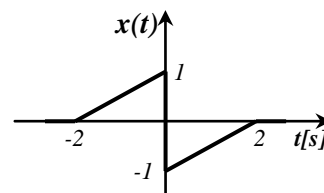


Figura P1.2

P1.3. Trasați graficele semnalelor:

$$y_1(t) = x(-t) + x(t+2)$$

$$y_2(t) = 2x(2t+1) - x(-t).$$

unde $x(t)$ este semnalul ilustrat în Figura P1.1.

P1.4. Fie semnalele din Figura P1.4. Exprimați $x(t)$ și $y(t)$ în funcție de $z(t)$.

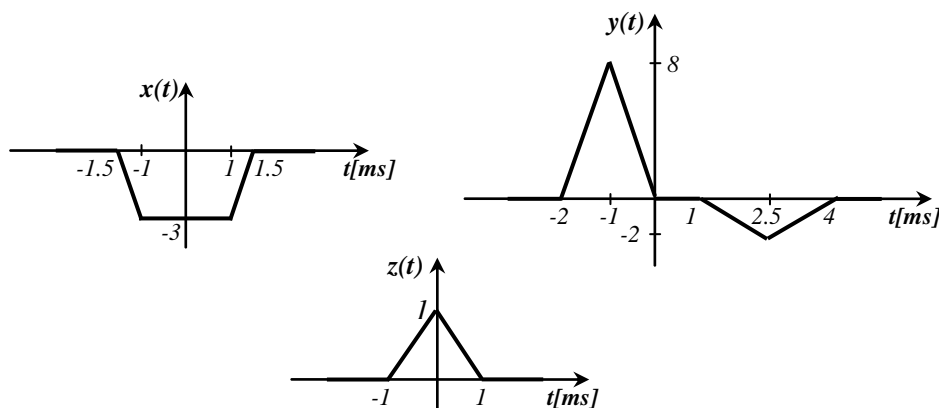


Figura P1.4

P1.5. Trasați graficele următoarelor semnale:

(a) $x(t) = \cos\left(40\pi t + \frac{\pi}{2}\right)$; (b) $x(t) = 3\cos\left(500\pi t - \frac{\pi}{3}\right)$;

(c) $x(t) = 4\cos\left(10^3\pi t + \frac{\pi}{4}\right)$.

P1.6. Scrieți expresiile analitice ale semnalelor $x_1(t)$, $x_2(t)$ și $x_3(t)$, având graficele din *Figura P1.6*.

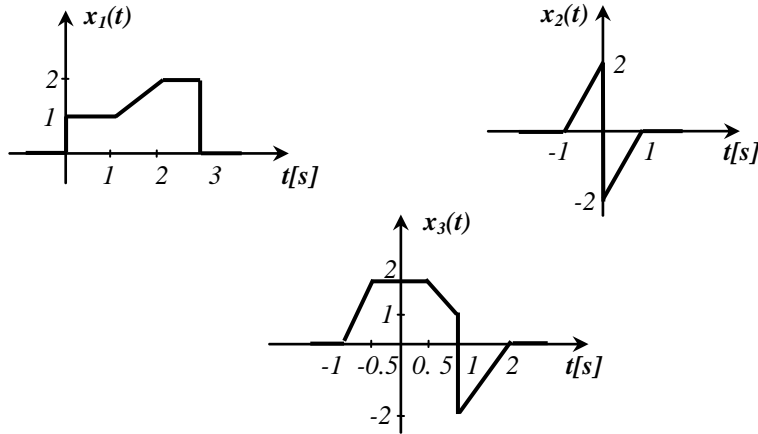


Figura P1.6

P1.7. Se consideră un număr complex z_0 , având coordonatele polare (r_0, θ_0) și coordonatele carteziene (a, b) , $a, b > 0$. Se mai consideră următoarele numere complexe:

$$z_1 = r_0 \cdot e^{-j\theta_0} ; z_2 = r_0 \cdot e^{j(-\theta_0 + \pi)} ; z_3 = r_0 ; z_4 = r_0 \cdot e^{j(\theta_0 + 2\pi)} ; z_5 = r_0 \cdot e^{j(\theta_0 + \pi)}$$

- (a) Determinați coordonatele carteziene ale numerelor z_0, \dots, z_5 , în funcție de a și b .
 (b) Reprezentați în planul complex numerele z_0, \dots, z_5 , pentru $r_0 = 2$ și

$$\theta_0 = \frac{\pi}{4}, \text{ apoi pentru } r_0 = 1 \text{ și } \theta_0 = \frac{\pi}{2}.$$

P1.8. Determinați modulul și argumentul următoarelor numere complexe:

(a) $z = \frac{3+4j}{1-2j}$; (b) $z = 3e^{j4\pi} + 2e^{j7\pi}$; (c) $z = 4e^{j\frac{\pi}{6}+1}$; (d) $z = \frac{j(2+j)}{(1+j)(2-j)}$;
 (e) $z = (1-j)^9$; (f) $z = 2j$; (g) $z = -4j$; (h) $z = \frac{8e^{-j\frac{\pi}{3}}}{1-j}$.

P1.9. Exprimați următoarele numere complexe în forma polară:

$$z_1 = 2 + j\sqrt{3} ; z_2 = \frac{1+j}{2+3j} ; z_3 = (1+j)^n$$

P1.10. Exprimați următoarele numere complexe în forma carteziană:

$$z_1 = e^{2j\frac{\pi}{3}} ; z_2 = e^{j\frac{\pi}{3}} + 2e^{2j\frac{\pi}{3}} ; z_3 = \sqrt{e^{-j\frac{\pi}{4}}}$$

P1.11. Scrieți expresiile analitice ale semnalelor având graficele din *Figura P1.11*.

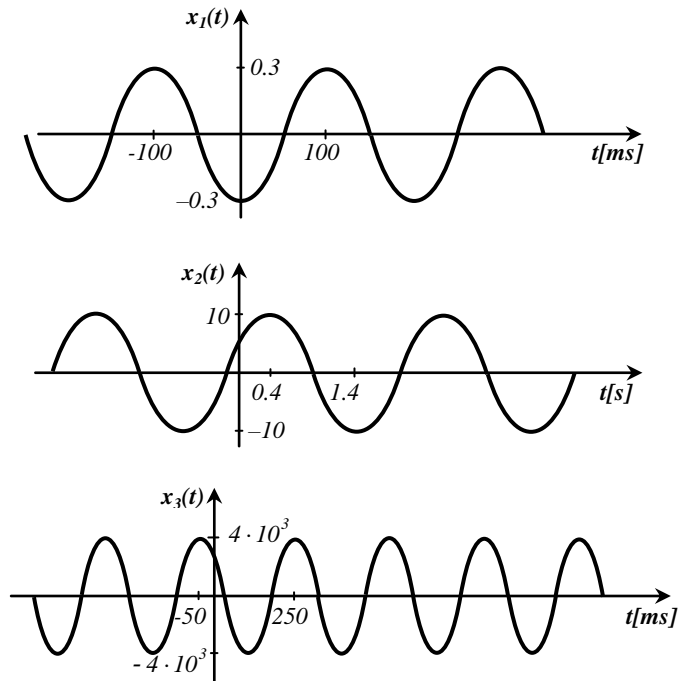


Figura P1.11

1.3. Indicații și soluții

S1.1. Vezi Figura S1.1, (a) – (f) .

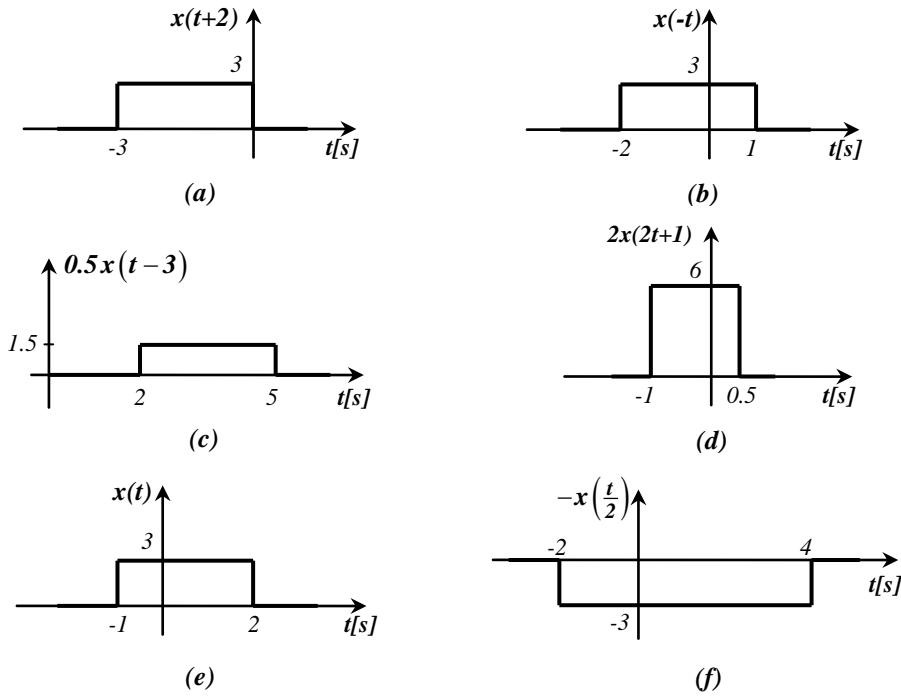


Figura S1.1

S1.2. Vezi Figura S1.2, (a) – (f) .

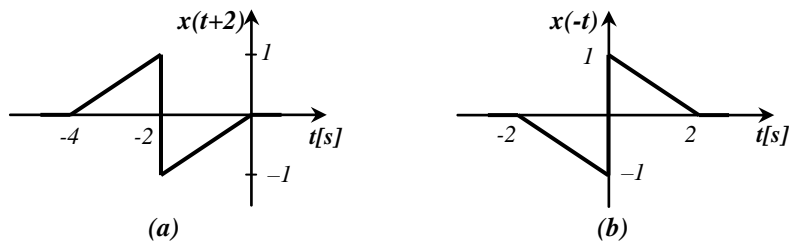


Figura S1.2, (a)-(b)

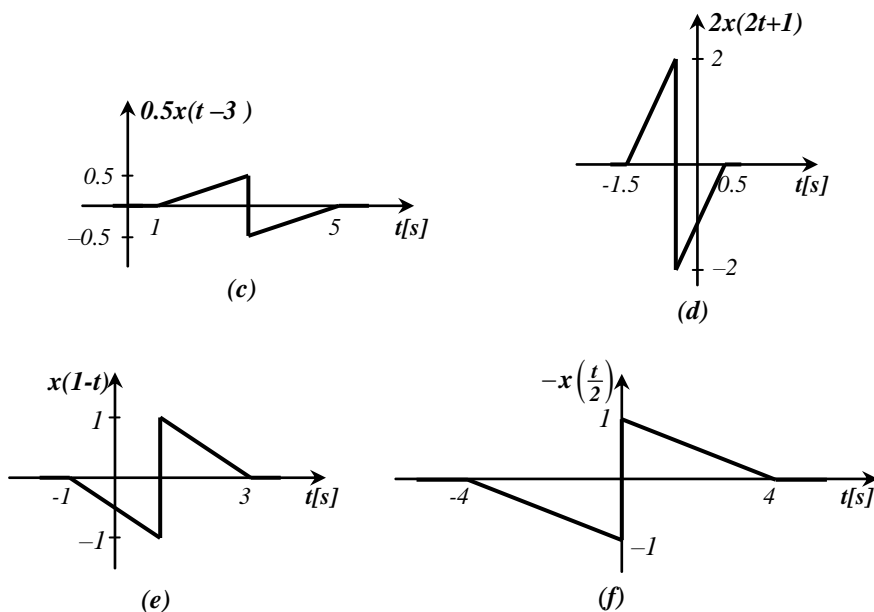


Figura S1.2, (c)-(f)

S1.3. Vezi Figura S1.3.

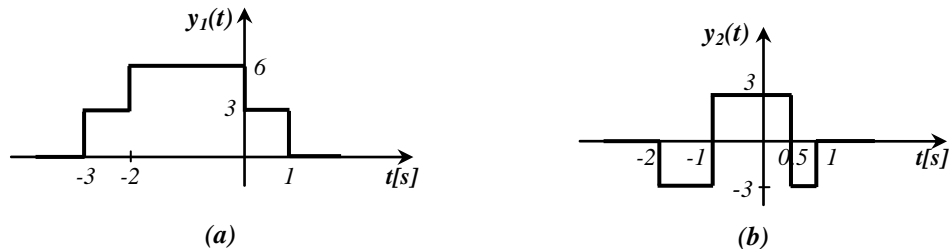


Figura S1.3

S1.4. $x(t) = -\frac{9}{2} \cdot z\left(\frac{t}{1.5}\right) + 1.5 \cdot z(t)$; $y(t) = 8 \cdot z(t+1) - 2 \cdot z\left(\frac{t}{1.5} - \frac{5}{3}\right)$

S1.5. Vezi Figura S1.5, (a) – (c)

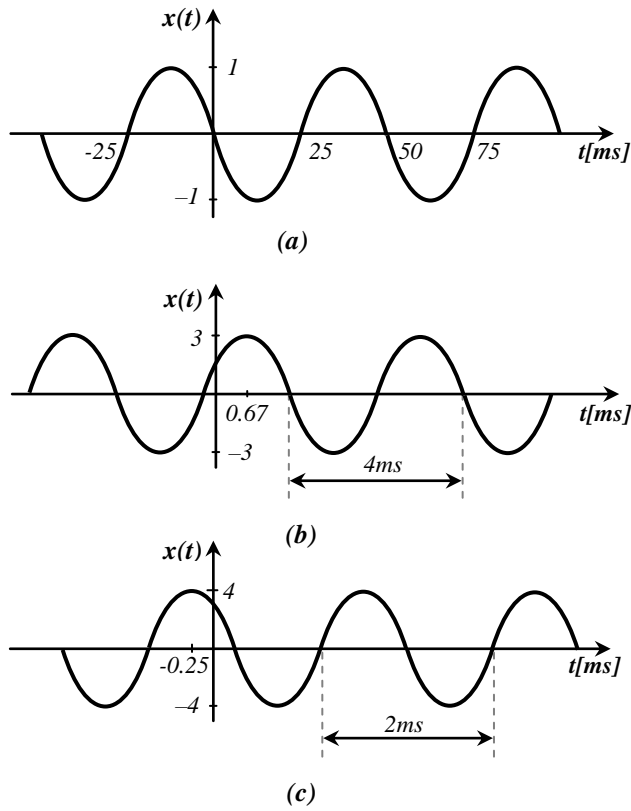


Figura S1.5

S1.6. $x_1(t) = \begin{cases} 1, & t \in (0, 1) \\ t, & t \in [1, 2) \\ 2, & t \in [2, 3) \\ 0, & \text{în rest} \end{cases}$; $x_2(t) = \begin{cases} 2t + 2, & t \in [-1, 0) \\ [-2, 2], & t = 0 \\ 2t - 2, & t \in (0, 1] \\ 0, & \text{în rest} \end{cases}$;

$$x_3(t) = \begin{cases} 4t + 4, & t \in [-1, -0.5) \\ 2, & t \in [-0.5, 0.5) \\ -2t + 3, & t \in [0.5, 1) \\ 2t - 4, & t \in (1, 2] \\ 0, & \text{în rest} \end{cases} .$$

- S1.7.** (a) $z_1:(a, -b)$; $z_2:(-a, b)$; $z_3:(\sqrt{a^2+b^2}, 0)$; $z_4:(a, b)$; $z_5:(-a, -b)$;
 (b) vezi Figura S1.7.

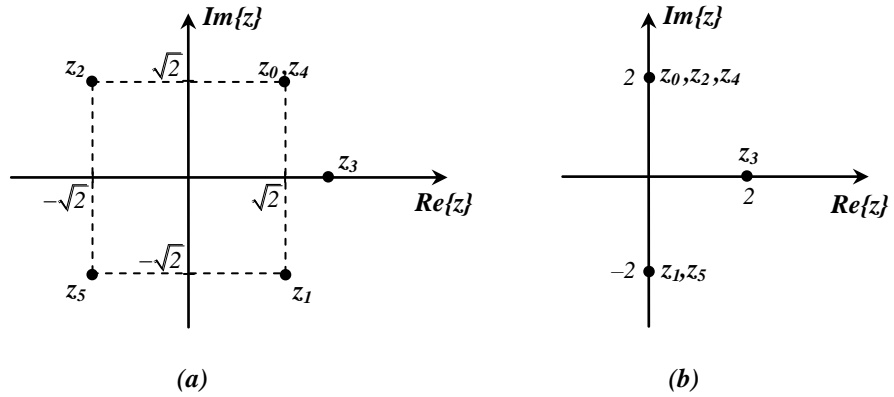


Figura S1.7

- S1.8.** (a) $|z| = \sqrt{5}$; $\arg\{z\} = \arctg \frac{4}{3} + \arctg 2$; (b) $|z| = 1$; $\arg\{z\} = 0$;
 (c) $|z| = 4e$; $\arg\{z\} = \frac{\pi}{6}$; (d) $|z| = \frac{1}{\sqrt{2}}$; $\arg\{z\} = \frac{\pi}{4} + 2\arctg 0.5$; (e) $|z| = 16\sqrt{2}$;
 $\arg\{z\} = -\frac{9\pi}{4}$; (f) $|z| = 2$; $\arg\{z\} = \frac{\pi}{2}$; (g) $|z| = 4$; $\arg\{z\} = -\frac{\pi}{2}$; (h) $|z| = 4\sqrt{2}$;
 $\arg\{z\} = -\frac{\pi}{12}$.

S1.9. $z_1 = \sqrt{7} \cdot e^{j \arctg \frac{\sqrt{3}}{2}}$; $z_2 = \sqrt{\frac{2}{13}} \cdot e^{j \left(\frac{\pi}{4} - \arctg 1.5 \right)}$; $z_3 = \sqrt{2}^n \cdot e^{j \frac{n\pi}{4}}$.

S1.10. $z_1 = -\frac{1}{2} + j \frac{\sqrt{3}}{2}$; $z_2 = -\frac{1}{2} + j \frac{3\sqrt{3}}{2}$; $z_3 = \frac{\sqrt{2}}{2} (1 - j)$.

S1.11. $x_1(t) = 0.3 \cos(10\pi t + \pi)$; $x_2(t) = 10 \cos\left(\pi t - \frac{2\pi}{5}\right)$;

$x_3(t) = 4 \cdot 10^3 \cos\left(\frac{\pi}{150} t + \frac{\pi}{3}\right)$.

Capitolul 2 ANALIZA SPECTRALĂ A SEMNALELOR

2.1. Breviar teoretic

Semnale periodice

Fie $x(t)$ un semnal periodic de perioadă $T = \frac{1}{f_1}$, unde f_1 se numește *frecvența fundamentală*. Analiza spectrală a semnalului $x(t)$ se face cu ajutorul *seriei Fourier armonice* (SFA), scrisă într-una din cele trei forme ale sale: trigonometrică, complexă sau armonică.

- forma *trigonometrică*:

$$x(t) = A_0 + \sum_{n=1}^{\infty} C_n \cdot \cos(2\pi n f_1 t) + \sum_{n=1}^{\infty} S_n \cdot \sin(2\pi n f_1 t) \quad (2.1)$$

unde A_0 reprezintă componenta continuă:

$$A_0 = \frac{1}{T} \cdot \int_T x(t) dt \quad (2.2)$$

iar coeficienții C_n și S_n se pot determina cu relațiile:

$$\begin{aligned} C_n &= \frac{2}{T} \int_T x(t) \cdot \cos(2\pi n f_1 t) dt \\ S_n &= \frac{2}{T} \int_T x(t) \cdot \sin(2\pi n f_1 t) dt \end{aligned} \quad (2.3)$$

- forma *complexă*:

$$x(t) = A_0 + \frac{1}{2} \sum_{\substack{n=-\infty \\ n \neq 0}}^{\infty} A_{nc} \cdot e^{j2\pi n f_1 t} \quad (2.4)$$

unde A_{nc} se numesc *coeficienții complecși* ai SFA sau *coeficienții Fourier*, și se pot determina cu expresia:

$$A_{nc} = \frac{2}{T} \cdot \int_T x(t) \cdot e^{-j2\pi n f_1 t} dt \quad (2.5)$$

- forma *armonică*:

$$x(t) = A_0 + \sum_{n=1}^{\infty} A_n \cdot \cos(2\pi n f_1 t + \varphi_n) \quad (2.6)$$

unde $A_n = |A_{nc}|$ și $\varphi_n = \arg\{A_{nc}\}$.

Spectrul unui semnal înseamnă reprezentarea amplitudinilor și a fazelor inițiale în funcție de frecvență (*spectrul de amplitudini*, respectiv *spectrul de fază*). Amplitudinile *liniilor spectrale* din spectrul de amplitudini sunt date de coeficienții $A_n = |A_{nc}|$, iar cele din spectrul de fază – de coeficienții $\varphi_n = \arg\{A_{nc}\}$, unde $n = 1, 2, 3, \dots$. Frecvențele la care se găsesc componentele spectrale sunt multipli ai frecvenței fundamentale ($n f_1$).

Notăm prin scrierea simbolică: $x(t) \leftrightarrow A_{nc}$ faptul că semnalul $x(t)$ are coeficienții complecși A_{nc} .

Au loc următoarele *proprietăți* ale coeficienților A_{nc} :

- *teorema liniarității*:

$$\alpha \cdot x_1(t) + \beta \cdot x_2(t) \leftrightarrow \alpha \cdot A_{nc1} + \beta \cdot A_{nc2} \quad (2.7)$$

unde $x_1(t) \leftrightarrow A_{nc1}$ și $x_2(t) \leftrightarrow A_{nc2}$, iar semnalele $x_1(t)$ și $x_2(t)$ au *aceeași* perioadă.

- *teorema întârzierii*:

$$x(t \pm \tau) \leftrightarrow A_{nc} \cdot e^{\pm j2\pi n f_1 \tau} \quad (2.8)$$

- *teorema modulării*:

$$x(t) \cdot e^{\pm j2\pi f_0 t} = A_0 \cdot e^{\pm j2\pi f_0 t} + \frac{1}{2} \sum_{\substack{n=-\infty \\ n \neq 0}}^{\infty} A_{nc} \cdot e^{j2\pi(n f_1 \pm f_0)t} \quad (2.9)$$

- *teorema derivării:*

$$x'(t) \leftrightarrow A_{nc} \cdot (j2\pi n f_1) \quad (2.10)$$

- *teorema integrării:*

$$\int_{-\infty}^t x(\tau) d\tau \leftrightarrow A_{nc} \cdot \frac{1}{j2\pi n f_1} \quad (2.11)$$

Puterea unui semnal periodic, se poate determina în domeniul *timp*:

$$P = \frac{1}{T} \int_T x^2(t) dt \quad (2.12)$$

sau în domeniul *frecvență*:

$$P = A_0^2 + \frac{1}{2} \sum_{n=1}^{\infty} A_n^2 \quad (2.13)$$

Valoarea efectivă a unui semnal periodic se determină cu relația:

$$X_{ef} = \sqrt{P} = \sqrt{\frac{1}{T} \int_T x^2(t) dt} \quad (2.14)$$

Semnale aperiodice

Analiza spectrală a semnalelor aperiodice se face folosind *transformata Fourier*:

$$X(f) = \int_{-\infty}^{\infty} x(t) \cdot e^{-j2\pi ft} dt \quad (2.15)$$

Transformata Fourier inversă are expresia:

$$x(t) = \frac{1}{2\pi} \int_{-\infty}^{\infty} X(f) \cdot e^{j2\pi ft} df \quad (2.16)$$

Proprietățile transformatei Fourier:

- *liniaritatea:*

$$x_1(t) + x_2(t) \leftrightarrow X_1(f) + X_2(f) \quad (2.17)$$

- *întârzierea în timp:*

$$x(t \pm t_0) \leftrightarrow e^{\pm j2\pi f t_0} \cdot X(f) \quad (2.18)$$

- *întârzierea în frecvență:*

$$e^{\pm j2\pi f_0 t} \cdot x(t) \leftrightarrow X(f \mp f_0) \quad (2.19)$$

- *derivarea în timp:*

$$x'(t) \leftrightarrow j2\pi f \cdot X(f) \quad (2.20)$$

- *comprimarea în timp:*

$$x(\alpha t) \leftrightarrow \frac{1}{|\alpha|} \cdot X\left(\frac{f}{\alpha}\right) \quad (2.21)$$

- *integrarea în timp:*

$$\int_{-\infty}^t x(\tau) d\tau \leftrightarrow \frac{1}{j2\pi f} \cdot X(f) + \pi \cdot X(0) \delta(f) \quad (2.22)$$

- *teorema simetriei:*

$$\text{Dacă } x(t) \leftrightarrow X(f), \text{ atunci } X(t) \leftrightarrow x(-f). \quad (2.23)$$

- *produsul de convoluție:*

$$x(t) \otimes y(t) \leftrightarrow X(f) \cdot Y(f) \quad (2.24)$$

- *înmulțirea a două semnale:*

$$x(t) \cdot y(t) \leftrightarrow X(f) \otimes Y(f) \quad (2.25)$$

Fie $x(t)$ un semnal *aperiodic* și $x_T(t)$ un semnal *periodic*, obținut prin repetarea lui $x(t)$ cu perioada T . Dacă $x(t) \leftrightarrow X(f)$ și $x_T(t) \leftrightarrow A_{nc}$, atunci are loc relația:

$$A_{nc} = \frac{2}{T} \cdot X\left(\frac{n}{T}\right) \quad (2.26)$$

Energia unui semnal aperiodic pentru un *interval de timp* (t_1, t_2) se determină cu relația:

$$W = \int_{t_1}^{t_2} x^2(t) dt \quad (2.27)$$

Energia totală a unui semnal aperiodic se poate determina în *timp*:

$$W = \int_{-\infty}^{\infty} x^2(t) dt \quad (2.28)$$

sau în *frecvență*:

$$W = \int_{-\infty}^{\infty} |X(f)|^2 df = 2 \int_0^{\infty} |X(f)|^2 df \quad (2.29)$$

Semnalele ideale „treaptă unitate” și „impuls unitate”

Semnalul treaptă unitate (Heaviside) se definește astfel:

$$\gamma(t) = \begin{cases} 1, & \text{pentru } t \geq 0 \\ 0, & \text{pentru } t < 0 \end{cases} \quad (2.30)$$

Semnalul impuls unitate (Dirac) se definește astfel:

$$\delta(t) = \begin{cases} \infty, & \text{pentru } t = 0 \\ 0, & \text{pentru } t \neq 0 \end{cases} \quad (2.31)$$

Semnalul delta periodic se definește astfel:

$$\delta_T(t) = \sum_{k=-\infty}^{\infty} \delta(t - kT) \quad (2.32)$$

Există următoarele relații între semnalele treaptă unitate și impuls unitate:

$$\gamma(t) = \int_{-\infty}^t \delta(\tau) d\tau \quad (2.33)$$

$$\delta(t) = \frac{d\gamma(t)}{dt} \quad (2.34)$$

Alte proprietăți ale impulsului Dirac sunt:

$$x(t) \cdot \delta(t - t_0) = x(t_0) \cdot \delta(t - t_0) \quad (2.35)$$

$$x(t) \otimes \delta(t - t_0) = x(t - t_0) \quad (2.36)$$

2.2. Enunțuri

P2.1. Se consideră semnalul:

$$x(t) = 2 - 4 \cos\left(3.2 \cdot 10^3 \pi t - \frac{\pi}{3}\right) + 2 \cos\left(6.4 \cdot 10^3 \pi t\right) - 0.8 \cos\left(8 \cdot 10^3 \pi t + \frac{\pi}{2}\right)$$

- (a) Determinați perioada semnalului.
- (b) Reprezentați spectrul unilateral și cel bilateral al semnalului.
- (c) Determinați puterea semnalului.

P2.2. Pentru următoarele semnale, determinați perioada, reprezentați spectrul unilateral și precizați ce armonici sunt prezente în spectru:

$$(a) x(t) = 2 \cos\left(80\pi t + \frac{\pi}{2}\right) - 4 \cos\left(200\pi t + \frac{\pi}{3}\right) + 1.2 \cos\left(240\pi t - \frac{\pi}{3}\right)$$

$$(b) x(t) = 20 + 10 \cos\left(1800\pi t - \frac{\pi}{4}\right) - 15 \cos(2400\pi t) + 10 \cos(3600\pi t)$$

$$(c) x(t) = \sum_{n=0}^5 (2n+1)(-1)^n \cos\left(n \cdot 10^3 \pi t + \frac{n\pi}{5}\right)$$

$$(d) x(t) = 1 + 0.2 \cos\left(200\pi t + \frac{\pi}{3}\right) - 0.6 \cos\left(400\pi t - \frac{\pi}{4}\right) + \cos\left(500\pi t - \frac{\pi}{2}\right)$$

$$(e) x(t) = 5 - 5 \cos(4.2 \cdot 10^3 \pi t) + 7 \cos\left(5.6 \cdot 10^3 \pi t + \frac{\pi}{4}\right) - 2.5 \cos\left(7 \cdot 10^3 \pi t + \frac{\pi}{3}\right)$$

P2.3. Se consideră semnalul:

$$x(t) = 1 + 2 \cos\left(k\pi t - \frac{\pi}{5}\right) + 3 \cos\left(2400\pi t + \frac{\pi}{3}\right)$$

- (a) Determinați parametrul k astfel încât spectrul semnalului să conțină armonica a treia și armonica a patra.
 (b) Pentru k determinat la punctul (a), determinați perioada semnalului și reprezentați spectrul său bilateral.

P2.4. Se consideră spectrele ilustrate în *Figura P2.4*. Determinați expresiile și puterile semnalelor corespunzătoare.

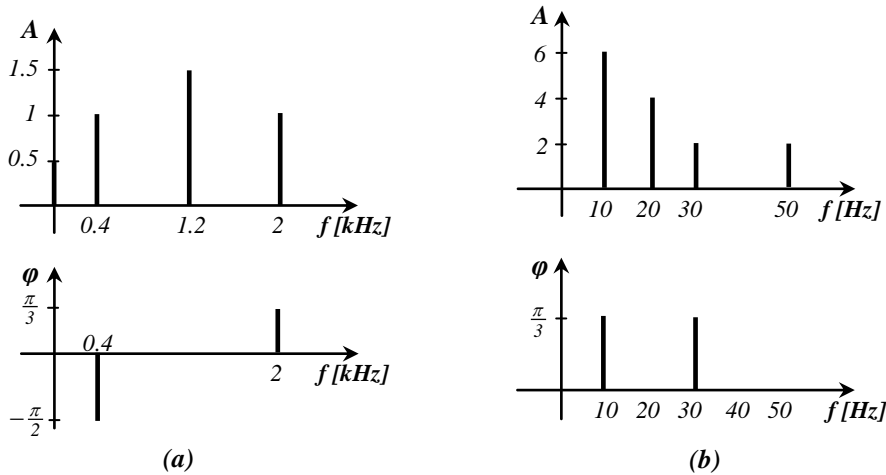


Figura P2.4

P2.5. Fie semnalul periodic cu perioada 10 ms :

$$x(t) = -0.7 \cos\left(4a\pi t + \frac{\pi}{6}\right) - 1.4 \cos\left(2b\pi t - \frac{\pi}{3}\right).$$

- (a) Determinați a și b astfel încât spectrul semnalului să conțină fundamentală și armonică a 4-a.
- (b) Pentru a și b având valorile determinate la punctul (a), reprezentați spectrul semnalului.

P2.6. Un semnal are spectrul ilustrat în *Figura P2.6*. Determinați expresia și puterea semnalului.

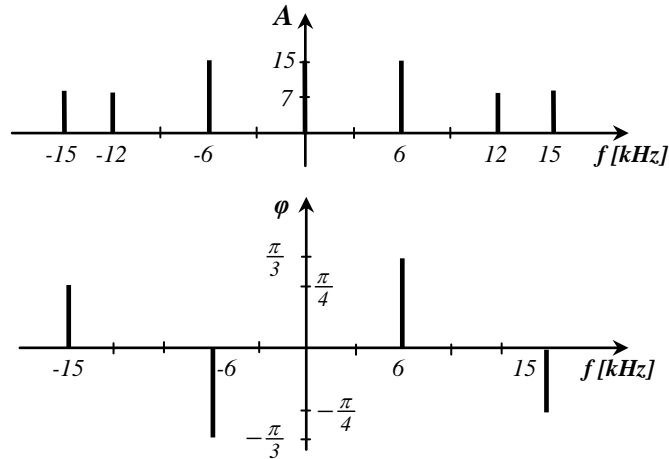


Figura P2.6

P2.7. Fie semnalul:

$$x(t) = \cos\left(600\pi t + \frac{\pi}{2}\right) - 2\cos(a\pi t) + 3\cos(b\pi t + \pi)$$

unde $a, b \in \mathbf{R}_+$ și $a < b$.

- (a) Determinați a și b astfel încât spectrul semnalului să conțină armonicile a 2-a, a 3-a și a 5-a.
- (b) Pentru a și b având valorile determinate la punctul (a), calculați perioada semnalului și reprezentați spectrul său.

P2.8. Se consideră semnalul:

$$x(t) = 0.8 + \sum_{n=1}^{\infty} (n+1)^{-0.5} \cdot \cos(4000\pi n t)$$

Determinați banda ocupată de semnal, dacă banda este definită:

- (a) la $3dB$ în raport cu componenta de amplitudine maximă;
- (b) la $6dB$ în raport cu componenta de amplitudine maximă.

P2.9. (a) Determinați coeficienții A_{ncx} ai SFA ai semnalului $x(t) = \cos(200\pi t)$ și coeficienții A_{ncy} ai SFA ai semnalului $y(t) = \sin(200\pi t)$.

(b) Se consideră coeficienții SFA: $A_{ncz} = A_{ncx} \cdot A_{ncy}$. Determinați semnalul corespunzător $z(t)$ care are coeficienții SFA A_{ncz} .

(c) Se consideră semnalul $w(t) = x(t) \cdot y(t)$. Determinați coeficienții SFA.

P2.10. Determinați coeficienții A_{nc} ai SFA pentru semnalul:

$$x(t) = A \sin(\omega_0 t) + B \cos(3\omega_0 t) + C \cos(5\omega_0 t + \varphi)$$

P2.11. Determinați spectrul semnalului derivat $x'(t)$, dacă semnalul $x(t)$ are spectrul ilustrat în *Figura P2.11*.

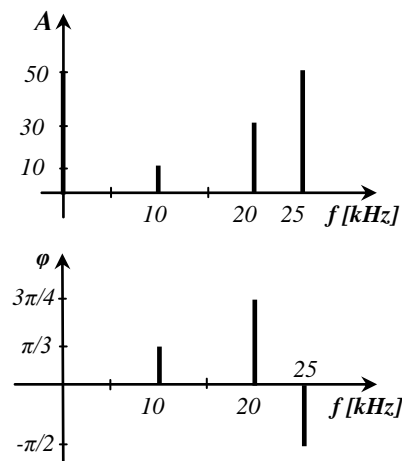


Figura P2.11

P2.12. Determinați spectrul semnalului integrat $\int x(\tau) d\tau$, dacă semnalul $x(t)$ are spectrul ilustrat în *Figura P2.12*.

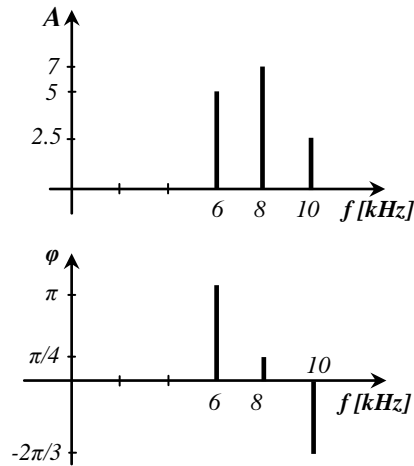


Figura P2.12

P2.13. Se consideră semnalul dreptunghiular periodic ilustrat în Figura P2.13.

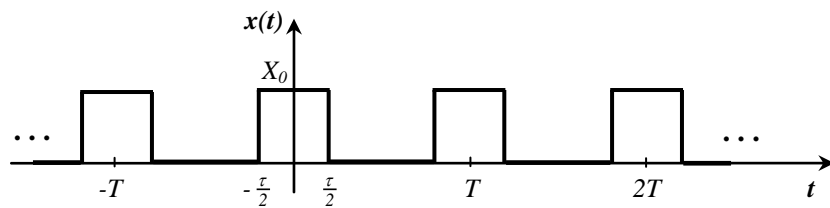


Figura P2.13.

- Determinați expresia spectrului semnalului.
- Reprezentați graficul semnalului în domeniul timp în cazurile particulare când factorul de umplere este 50% și respectiv 25%.
- Pentru cazul particular când factorul de umplere este de 50%, reprezentați spectrul semnalului până la armonica a 7-a.
- Pentru cazul particular când factorul de umplere este de 25%, reprezentați spectrul semnalului până la armonica a 7-a.

P2.14. Se consideră semnalul periodic din Figura P2.14.

- Determinați expresia generală a coeficienților complecși folosind metoda delta-periodic.
- Determinați expresia generală a coeficienților complecși fără a folosi metoda delta-periodic.

- (c) Reprezentați spectrul semnalului până la armonica a 5-a.

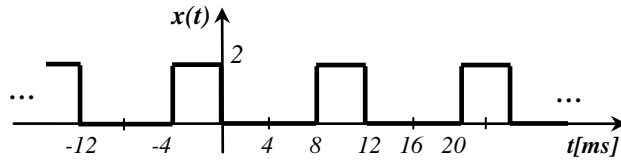


Figura P2.14

P2.15. Se consideră semnalul periodic din Figura P2.15.

- (a) Determinați expresia generală a coeficienților complecși ai semnalului $x(t)$ prin două metode.
 (b) Reprezentați spectrul semnalului până la armonica a 5-a.

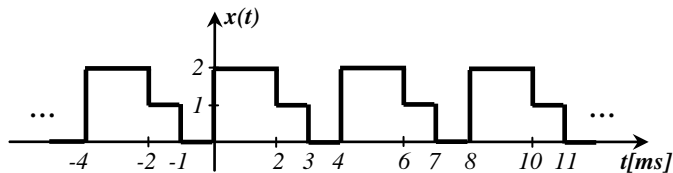


Figura P2.15

P2.16. Se consideră semnalul triunghiular periodic din Figura P2.16.

- (a) Determinați expresia spectrului semnalului.
 (b) Pentru cazul particular când factorul de umplere este de 50%, reprezentați spectrul semnalului până la armonica a 7-a .

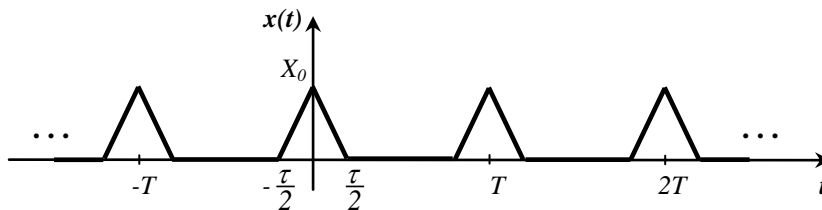


Figura P2.16

P2.17. Se consideră semnalul periodic din Figura P2.17.

- (a) Determinați expresia generală a coeficienților complecși ai semnalului prin două metode.
 (b) Reprezentați spectrul semnalului până la armonica a 5-a.

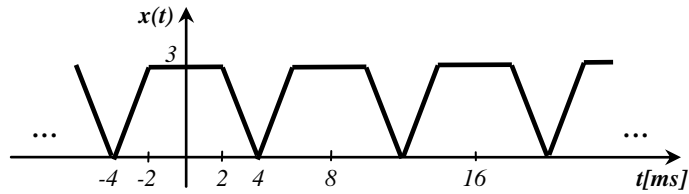


Figura P2.17

P2.18. Se consideră semnalul periodic din Figura P2.18.

- Determinați expresia generală a coeficienților complecși.
- Reprezentați spectrul semnalului până la armonica a 5-a.

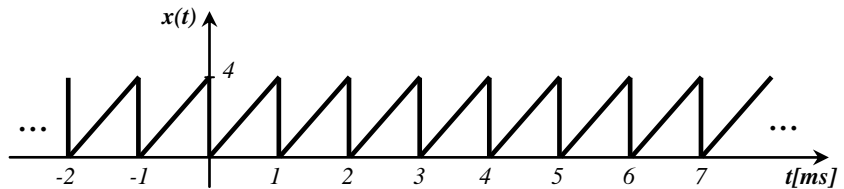


Figura P2.18

P2.19. Se consideră semnalul $\delta(t)$ – impuls Dirac – ilustrat în Figura P2.19.

- Reprezentați spectrul semnalului $\delta(t)$.
- Scrieți expresia analitică și reprezentați graficul semnalului $\delta_T(t)$, obținut prin repetarea lui $\delta(t)$ cu perioada 20 ms.
- Reprezentați spectrul semnalului $\delta_T(t)$.
- Realizați sinteza semnalului $\delta_T(t)$.

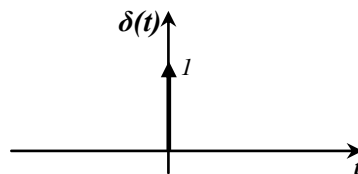


Figura P2.19

P2.20. Se consideră semnalele: $x_B(t) = -\delta(t + 2 \cdot 10^{-3}) + \delta(t - 2 \cdot 10^{-3})$ și $x_A(t) = \delta(t + 2 \cdot 10^{-3}) + \delta(t - 2 \cdot 10^{-3})$.

- Reprezentați în domeniul timp cele două semnale.

- (b) Determinați și reprezentați transformatele Fourier ale semnalelor.
- (c) Scrieți expresia și să se reprezinte grafic semnalele $x_{AT}(t)$ și $x_{BT}(t)$, obținute prin repetarea semnalelor date cu perioada $T = 10 \text{ ms}$.
- (d) Reprezentați spectrele semnalelor $x_{AT}(t)$ și $x_{BT}(t)$, până la armonica a 5-a.
- (e) Faceți sinteza semnalelor $x_{AT}(t)$ și $x_{BT}(t)$, până la armonica a 5-a.

P2.21. Se consideră semnalul:

$$x(t) = \begin{cases} X_0, & |t| \leq \frac{\tau}{2} \\ 0, & |t| > \frac{\tau}{2} \end{cases}$$

- (a) Determinați expresia transformatei Fourier a semnalului.
- (b) Reprezentați spectrul semnalului.

P2.22. Se consideră semnalele ilustrate în *Figura P2.22*. Determinați expresiile transformatelor Fourier ale celor două semnale.

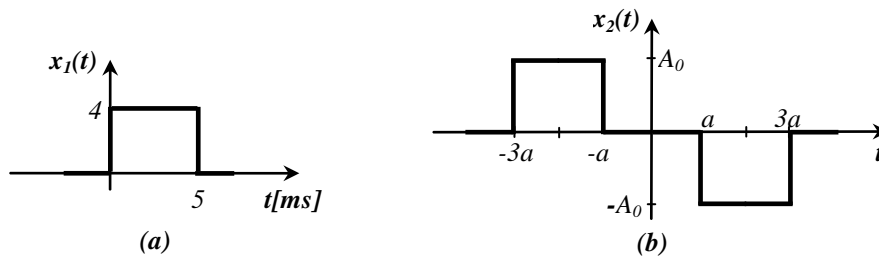


Figura P2.22

P2.23. Se consideră semnalul din *Figura P2.23*.

- (a) Determinați expresia transformatei Fourier a semnalului.
- (b) Reprezentați spectrul semnalului.

P2.24. Se consideră semnalul $x(t)$ din *Figura P2.24*.

- (a) Determinați transformata Fourier a semnalului prin 2 metode.
- (b) Se consideră semnalul periodic $x_T(t)$, obținut prin repetarea semnalului $x(t)$ cu perioada 4 s . Folosind rezultatul de la punctul (a), reprezentați spectrul semnalului $x_T(t)$ (până la armonica a 5-a).

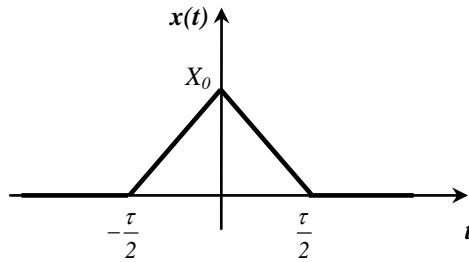


Figura P2.23.

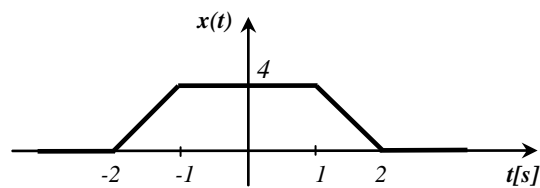


Figura P2.24

P2.25. Se consideră semnalul $x(t)$ din Figura P2.25.

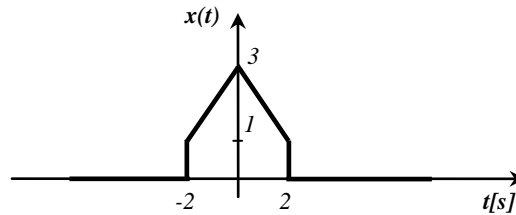


Figura P2.25

- (a) Determinați transformata Fourier a semnalului prin 2 metode.
- (b) Se consideră semnalul periodic $x_T(t)$, obținut prin repetarea semnalului $x(t)$ cu perioada 8 s. Folosind rezultatul de la punctul (a), reprezentați spectrul semnalului $x_T(t)$ (până la armonica a 5-a).

P2.26. Se consideră semnalul $x(t)$ din Figura P2.26.

- (a) Determinați transformata Fourier a semnalului.
- (b) Se consideră semnalul periodic $x_T(t)$, obținut prin repetarea semnalului $x(t)$ cu perioada 20 s. Folosind rezultatul de la punctul (a), reprezentați spectrul semnalului $x_T(t)$ (până la armonica a 5-a).

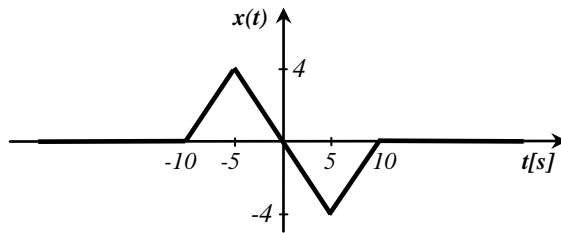


Figura P2.26

P2.27. Se consideră semnalul $x(t)$ din Figura P2.27.

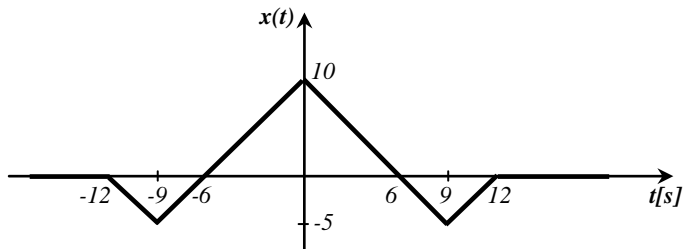


Figura P2.27

- (a) Determinați transformata Fourier a semnalului.
- (b) Se consideră semnalul periodic $x_T(t)$, obținut prin repetarea semnalului $x(t)$ cu perioada $T = 24s$. Folosind rezultatul de la punctul (a), determinați expresia coeficienților complecși ai semnalului $x_T(t)$.

P2.28. Se consideră semnalul $x(t)$ din Figura P2.28.

- (a) Determinați transformata Fourier a descrierii pe o perioadă a semnalului.
- (b) Folosind rezultatul de la punctul (a), determinați expresia coeficienților complecși ai semnalului $x(t)$.

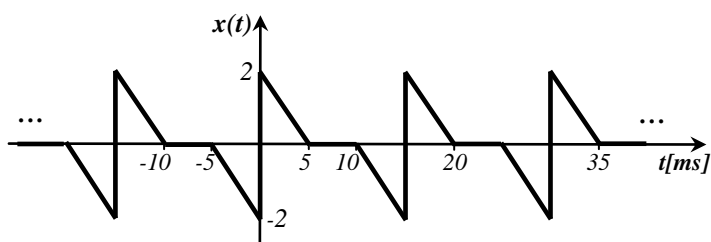


Figura P2.28

P2.29. Fie schema-bloc din Figura P2.29, unde $x(t) = \sum_{k=1}^{10} k \cos(4k\pi \cdot 10^3 t)$.

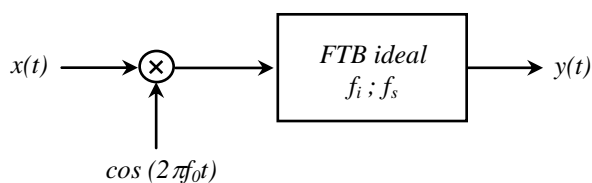


Figura P2.29

Determinați expresia semnalului $y(t)$, în următoarele cazuri:

- (a) $f_0 = 100 \text{ kHz}$, $f_i = 97 \text{ kHz}$ și $f_s = 103 \text{ kHz}$.
- (b) $f_0 = 200 \text{ kHz}$, $f_i = 195 \text{ kHz}$ și $f_s = 205 \text{ kHz}$.

P2.30. Fie schema-bloc din Figura P2.30. Știind că la intrare se aplică semnalul

$$x(t) = \sum_{k=1}^{10} k \cos(4k\pi \cdot 10^3 t), \text{ iar } f_0 = 127.5 \text{ kHz}, \text{ determinați raportul } \frac{y(t)}{x(t)}.$$

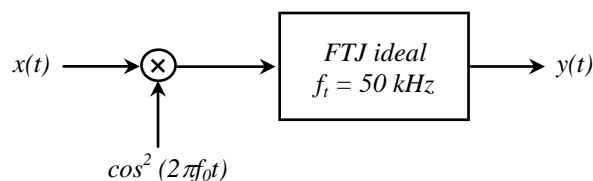


Figura P2.30

P2.31. Se consideră schema bloc din *Figura P2.31*, unde $x(t)$ este un semnal aperiodic, având transformata Fourier de forma unui triunghi centrat în origine, de amplitudine 100, între frecvențele -10 kHz și 10 kHz. Să se reprezinte *TF* a semnalului $y(t)$.

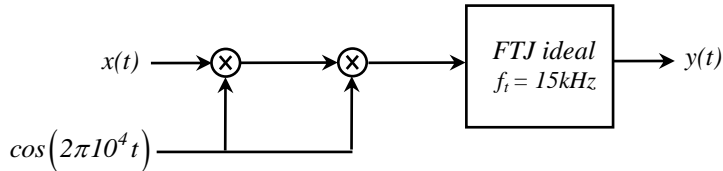


Figura P2.31

P2.32. Se consideră schema bloc din *Figura P2.32*, unde $x(t)$ este un semnal aperiodic, având spectrul de frecvență maximă f_0 . Cât trebuie să fie frecvența f_x astfel încât $y(t) = k \cdot x(t)$? Determinați k .

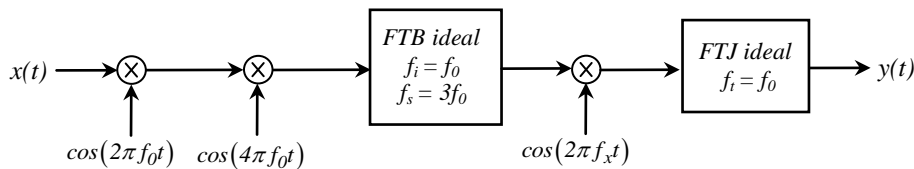


Figura P2.32

P2.33. Se consideră semnalul armonic simplu redresat (*Figura P2.33.a*) și semnalul armonic dublu redresat (*Figura P2.33.b*).

- Exprimați coeficienții complecși A_{nc2} ai semnalului $x_2(t)$ în funcție de coeficienții complecși A_{nc1} ai semnalului $x_1(t)$.
- Determinați coeficienții complecși A_{nc1} și A_{nc2} folosind transformata Fourier a semnalului $x(t)$:

$$x(t) = \begin{cases} \cos\left(\frac{2\pi}{T_0} t\right), & -\frac{T_0}{4} \leq t \leq \frac{T_0}{4} \\ 0, & \text{în rest} \end{cases}$$

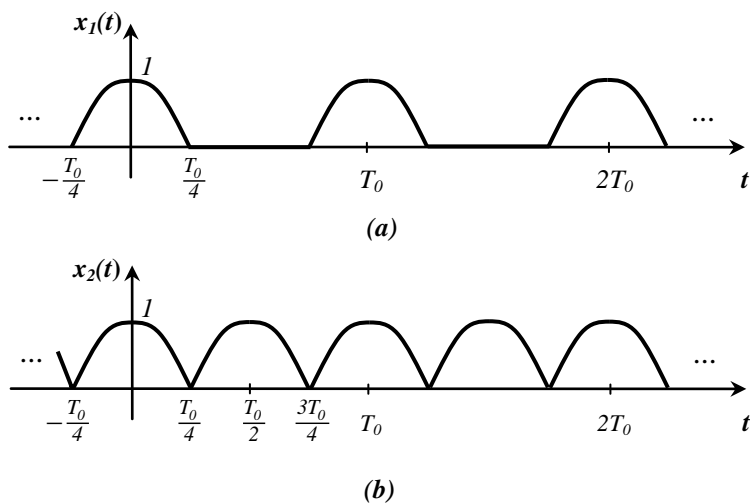


Figura P2.33

P2.34. Determinați energia dezvoltată de semnalul: $x(t) = 3V$ între momentele $t_1 = 1ms$ și $t_2 = 10ms$.

P2.35. Determinați energia dezvoltată de semnalul: $x(t) = t [V]$ între momentele $t_1 = 1s$ și $t_2 = 4s$.

P2.36. Determinați puterea semnalului care are descrierea pe o perioadă scrisă mai jos și perioada egală cu $3s$.

$$x(t) = \begin{cases} t, & 0 < t < 3s \\ 0, & \text{în rest} \end{cases} \quad [\text{mA}]$$

P2.37. Determinați energia totală a semnalului:

$$x(t) = \begin{cases} \sqrt{3}t, & 0 < t < 5s \\ 0, & \text{în rest} \end{cases} \quad [\text{mA}]$$

P2.38. Determinați valoarea efectivă a semnalului care are descrierea pe o perioadă scrisă mai jos și perioada egală cu $3s$:

$$x(t) = \begin{cases} \sqrt{3}t, & 0 < t < 3s \\ 0, & \text{în rest} \end{cases} \text{ [mV]}$$

P2.39. Se consideră un filtru trece-jos ideal având amplificarea în banda de trecere 10 și frecvența de tăiere 1.01 kHz. Să se determine răspunsul $y(t)$ al filtrului dacă la intrare se aplică semnalul:

$$x(t) = \sum_{k=1}^{100} \cos\left(200k\pi t + \frac{\pi}{4}\right)$$

P2.40. Se consideră un filtru trece-banda ideal având amplificarea în banda de trecere 2 și frecvențele de tăiere 9.95 kHz și 20.05 kHz. Să se determine răspunsul $y(t)$ al filtrului dacă la intrare se aplică semnalul:

$$x(t) = \sum_{k=1}^{100} \cos(2k\pi 10^3 t)$$

P2.41. Se consideră un filtru trece-sus ideal având amplificarea în banda de trecere 5 și frecvența de tăiere 20.01 kHz. Să se determine răspunsul $y(t)$ al filtrului dacă la intrare se aplică semnalul:

$$x(t) = \sum_{k=1}^{100} \cos(2k\pi 10^3 t)$$

P2.42. Transformata Fourier a descrierii pe o perioadă a unui semnal periodic $x(t)$ arată ca în *Figura P2.42*. Se cere expresia semnalului $x(t)$, dacă perioada sa este 1ms.

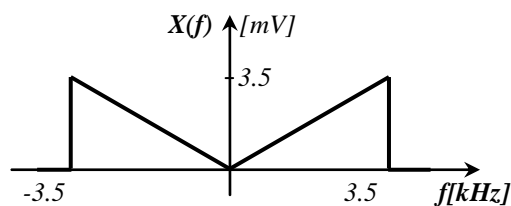


Figura P2.42

P2.43. Transformata Fourier a descrierii pe o perioadă a unui semnal periodic arată ca în *Figura P2.43*. Se cere expresia semnalului periodic, dacă perioada sa este 1 ms.

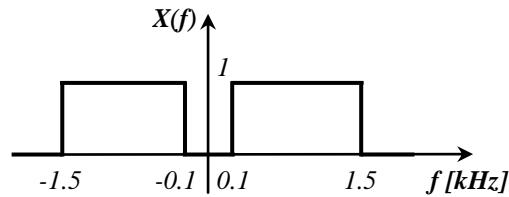


Figura P2.43

P2.44. Transformata Fourier a descrierii pe o perioadă a unui semnal arată ca în Figura P2.44. Se cere expresia semnalului periodic dacă frecvența de repetare este de 100 Hz.

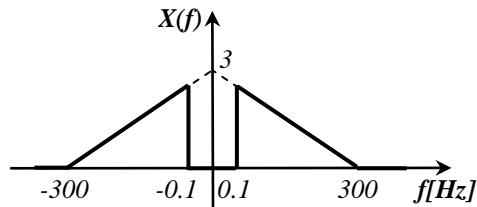


Figura P2.44

P2.45. Determinați expresia spectrului semnalului:

$$x(t) = \begin{cases} \cos(2\pi 10 t), & -50 \text{ ms} \leq t \leq 50 \text{ ms} \\ 0, & \text{în rest} \end{cases}$$

P2.46. Determinați expresia spectrului semnalului:

$$x(t) = \begin{cases} \cos(2\pi 10 t), & -25 \text{ ms} \leq t \leq 25 \text{ ms} \\ 0, & \text{în rest} \end{cases}$$

P2.47. Reprezentați transformata Fourier a semnalului:

$$x(t) = 20 \text{Sa}(50\pi t) + 20 \text{Sa}^2(50\pi t)$$

P2.48. Reprezentați transformatele Fourier ale semnalelor:

(a) $x(t) = 20 \text{Sa}(100\pi t) + 10 \text{Sa}^2(50\pi t)$

$$(b) x(t) = 40 \text{Sa}(100\pi t) + 40 \text{Sa}^2(100\pi t)$$

$$(c) x(t) = 20 \text{Sa}(10\pi t) - 10 \text{Sa}^2(5\pi t)$$

$$(d) x(t) = 40 \text{Sa}(10\pi t) - 40 \text{Sa}^2(10\pi t)$$

P2.49. Scrieți expresiile transformatelor Fourier ale semnalelor reprezentate în Figura P2.49.

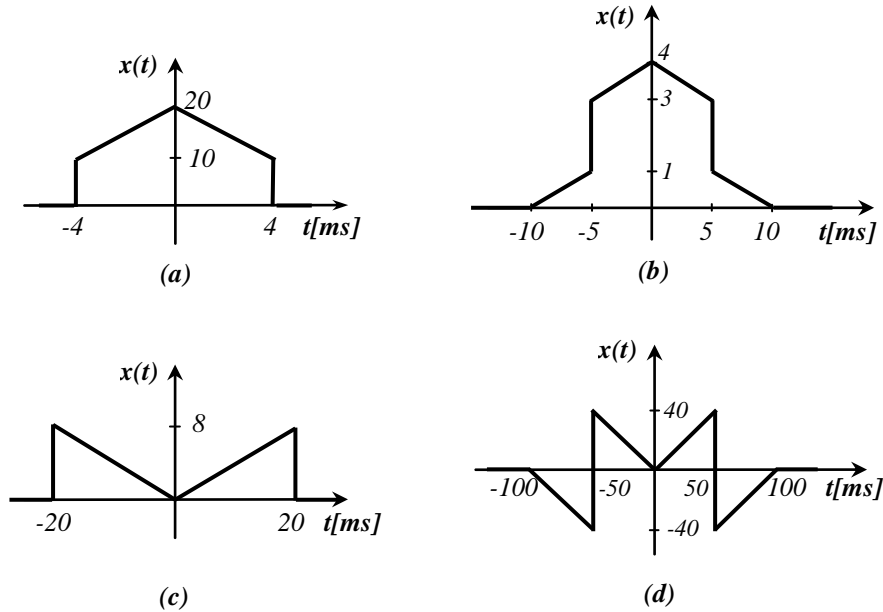


Figura P2.49

P2.50. Pentru schema din Figura P2.50, determinați expresia semnalului $y(t)$, considerând că: $f_p = 100 \text{ kHz}$, $f_i = 95 \text{ kHz}$, $f_s = 105 \text{ kHz}$, iar la intrare se aplică

$$\text{semnalul: } x(t) = \sum_{k=1}^{10} k \cos(4k\pi \cdot 10^3 t).$$

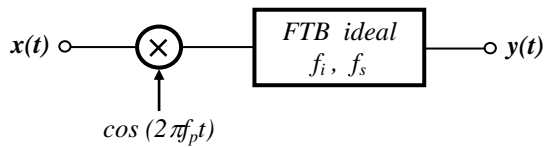


Figura P2.50

P2.51. Pentru schema din *Figura P2.51*, determinați expresia semnalului $y(t)$,

dacă: $x(t) = \sum_{k=1}^{10} k \cos(4k\pi \cdot 10^3 t)$ și $f_p = 127.5 \text{ kHz}$.

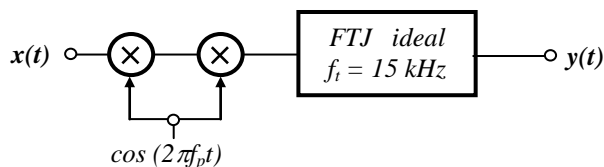


Figura P2.51

P2.52. Pentru schema din *Figura P2.52*, determinați expresia semnalului $y(t)$,

dacă: $x(t) = \sum_{k=1}^{10} k \cos(4k\pi \cdot 10^3 t)$ și $f_p = 241.3 \text{ kHz}$;

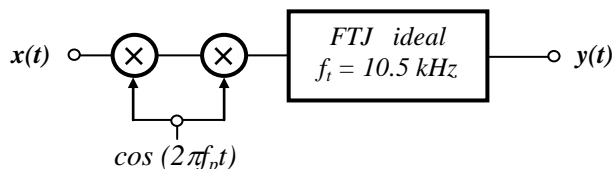


Figura P2.52

2.3. Indicații și soluții

S2.1. (a) $f_l = \text{cmmdc}(1600, 3200, 4000) = 800 \text{ Hz} \Rightarrow T = 1.25 \text{ ms}$;

(b) Semnalul se scrie astfel:

$$x(t) = 2 + 4 \cos\left(3.2 \cdot 10^3 \pi t + \frac{2\pi}{3}\right) + 2 \cos(6.4 \cdot 10^3 \pi t) + 0.8 \cos\left(8 \cdot 10^3 \pi t - \frac{\pi}{2}\right)$$

Spectrul unilateral al semnalului este ilustrat în *Figura S2.1.a*, iar cel bilateral – în *Figura S2.1.b*.

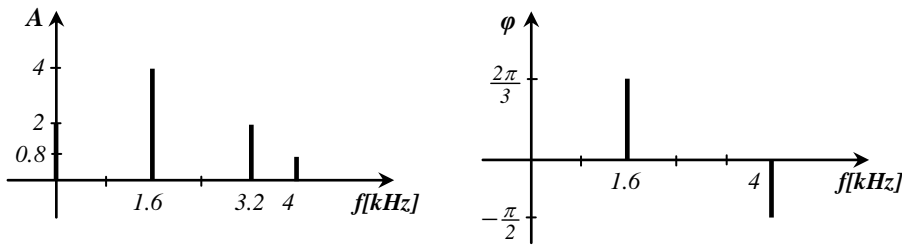


Figura S2.1.a

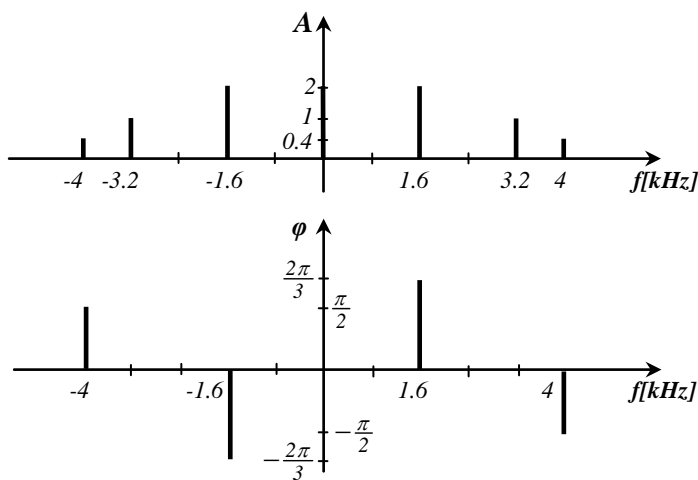


Figura S2.1.b

(c) Se aplică relația (2.13): $P = 2^2 + \frac{1}{2}(4^2 + 2^2 + 0.8^2) = 14.32 \text{ W}$.

S2.2. (a) $T = 50 \text{ ms}$; spectrul este ilustrat în Figura S2.2.a; semnalul conține armonicile 2, 5 și 6;

(b) $T = 3.33 \text{ ms}$; spectrul este ilustrat în Figura S2.2.b; semnalul conține: componenta continuă, armonicile 3, 4 și 6;

(c) $T = 2 \text{ ms}$; spectrul este ilustrat în Figura S2.2.c; semnalul conține: componenta continuă, componenta fundamentală, armonicile 2, 3, 4 și 5;

(d) $T = 20 \text{ ms}$; spectrul este ilustrat în Figura S2.2.d; semnalul conține componenta continuă, armonicile 2, 4 și 5;

(e) $T = 1.43 \text{ ms}$; spectrul este ilustrat în Figura S2.2.e; semnalul conține componenta continuă, armonicile 3, 4 și 5.

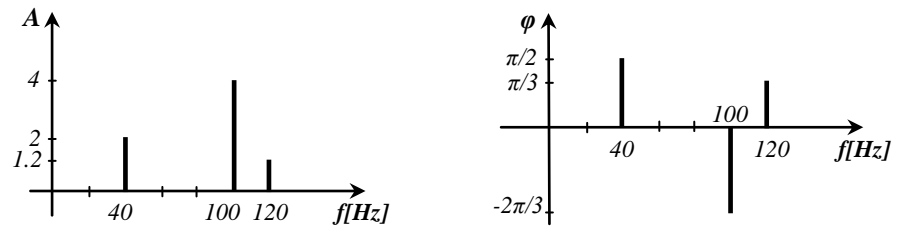


Figura S2.2.a

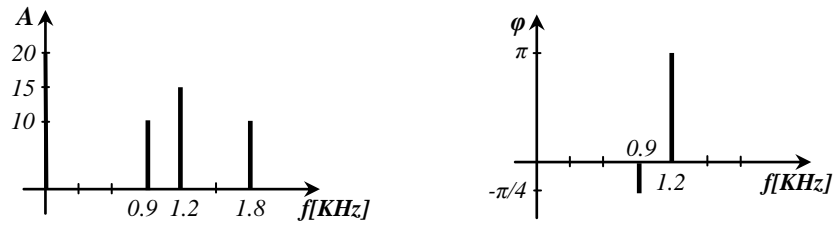


Figura S2.2.b

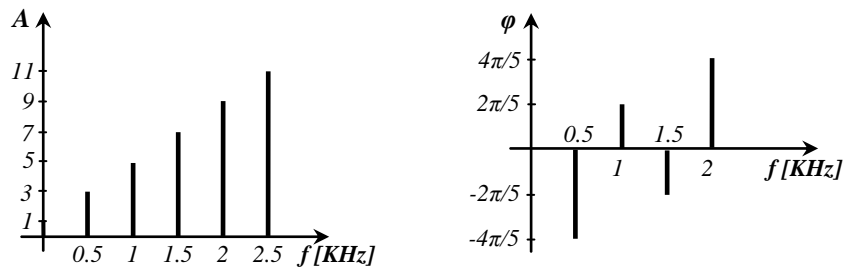


Figura S2.2 .c

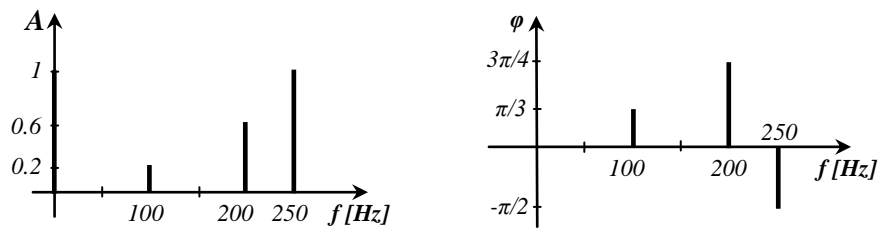


Figura S2.2 .d

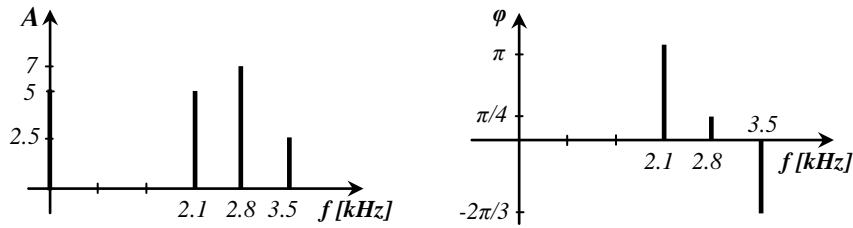


Figura S2.2 .e

S2.3. (a) $k = 1800$ sau $k = 3200$; (b) Pentru $k = 1800$: $T = 3.33 \text{ ms}$, spectrul este ilustrat în Figura S2.3.a. Pentru $k = 3200$: $T = 2.5 \text{ ms}$, spectrul este ilustrat în Figura S2.3.b.

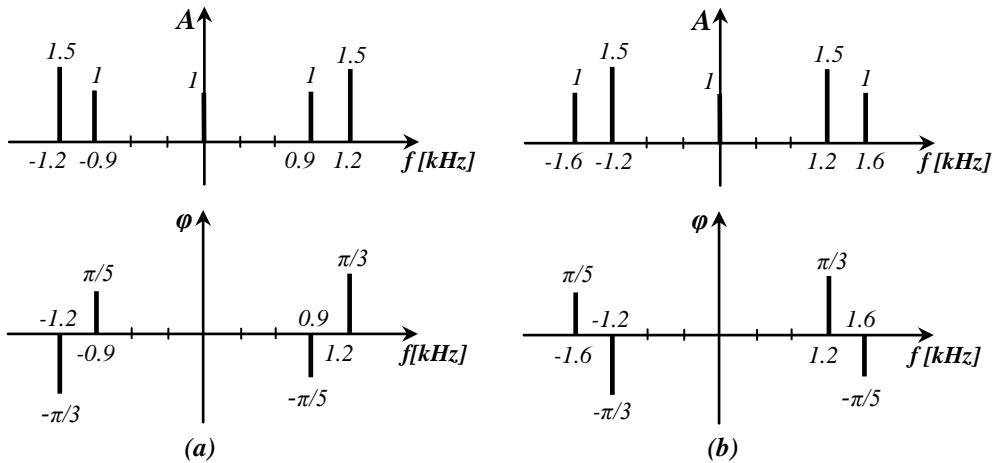


Figura S2.3

S2.4. (a) $x(t) = 0.5 + \cos\left(800\pi t - \frac{\pi}{2}\right) + 1.5 \cos(2400\pi t) + \cos\left(4000\pi t + \frac{\pi}{3}\right)$;

$P = 2.375 \text{ W}$;

(b) $x(t) = 6 \cos\left(20\pi t + \frac{\pi}{3}\right) + 4 \cos(40\pi t) + 2 \cos\left(60\pi t + \frac{\pi}{3}\right) + 2 \cos(100\pi t)$;

$P = 30 \text{ W}$.

S2.5. (a) Cazul I : $a = 50$ și $b = 400$; cazul II : $a = 200$ și $b = 100$;

(b) Vezi Figura S2.5. a și b.

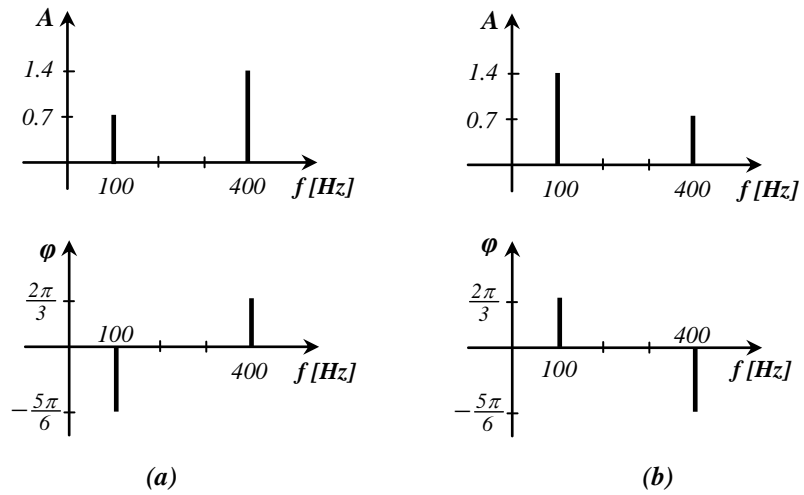


Figura S2.5

S2.6.

$$x(t) = 15 + 30 \cos\left(12 \cdot 10^3 \pi t + \frac{\pi}{3}\right) + 14 \cos(24 \cdot 10^3 \pi t) + 14 \cos\left(30 \cdot 10^3 \pi t - \frac{\pi}{4}\right);$$

$$P = 871 \text{ W}.$$

S2.7. (a) Cazul I: $a = 900$, $b = 1500$; cazul II: $a = 400$, $b = 1000$; cazul III: $a = 240$, $b = 360$;

(b) Spectrul pentru cazul I este ilustrat în Figura S2.7.a; spectrul pentru cazul II – în Figura S2.7.b; spectrul pentru cazul III – în Figura S2.7.c.

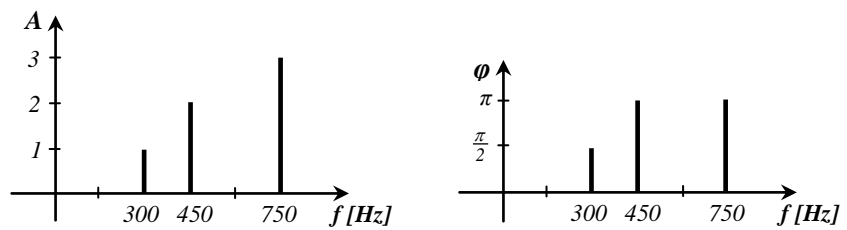


Figura S2.7.a

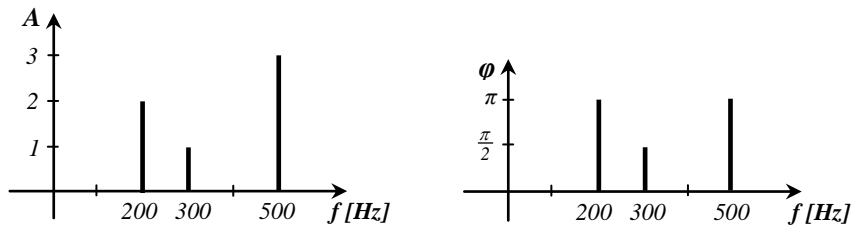


Figura S2.7.b

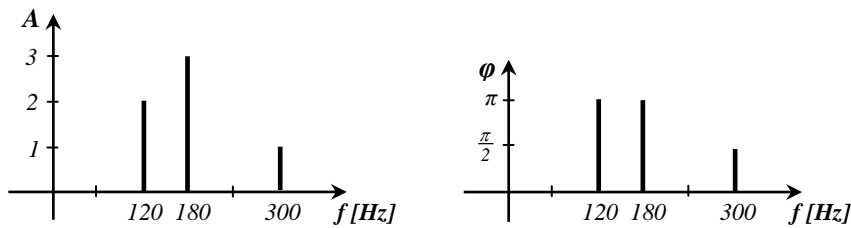


Figura S2.7.c

S2.8. (a) Pentru a determina banda la $3dB$, trebuie determinat ordinul pentru care armonicile sunt mai mari decât nivelul de referință a benzii. Acesta se determină în raport cu componenta de amplitudine maximă A_{max} astfel:

$$N_{3dB} = \frac{1}{\sqrt{2}} \cdot A_{max}$$

Având în vedere că amplitudinea primei armonice este $0.707 V$, iar restul armonicilor scad cu frecvența, rezultă că amplitudinea maximă este cea a componentei continue, în valoare de $0.8 V$. Rezultă condiția:

$$A_n \geq \frac{1}{\sqrt{2}} \cdot 0.8 \Rightarrow \frac{1}{\sqrt{n+1}} \geq \frac{1}{\sqrt{2}} \cdot 0.8 \Rightarrow n \leq 2.125$$

deci ordinul maxim va fi: $n_{max} = 2$, iar banda ocupată va fi în acest caz:

$$B_{3dB} = n_{max} \cdot f_1 = 4kHz.$$

(b) Pentru a determina banda la $6dB$, nivelul de referință al benzii este:

$$N_{6dB} = \frac{1}{2} \cdot A_{max}$$

Rezultă: $n_{max} = 5$ și $B_{6dB} = 10kHz$.

S2.9. (a) Folosind relațiile lui Euler (1.7), semnalele se scriu astfel:

$$x(t) = \frac{1}{2} (e^{j200\pi t} + e^{-j200\pi t}) \quad (S2.1)$$

$$y(t) = \frac{1}{2j} (e^{j200\pi t} - e^{-j200\pi t}) \quad (S2.2)$$

Pe de altă parte, semnalele se pot exprima în forma complexă a SFA (2.4). Știind că frecvența fundamentală este 100 Hz pentru ambele semnale, rezultă expresia pentru $x(t)$:

$$x(t) = A_{0x} + \frac{1}{2} \sum_{\substack{n=-\infty \\ n \neq 0}}^{\infty} A_{ncx} \cdot e^{jn \cdot 200\pi t} \quad (S2.3)$$

Comparând (S2.3) cu (S2.1), rezultă coeficienții SFA ai semnalului $x(t)$:

$$\begin{cases} A_{Icx} = A_{-Icx} = 1; \\ A_{ncx} = 0, \text{ pentru } n \neq \pm 1 \end{cases}$$

În mod similar, rezultă pentru semnalul $y(t)$:

$$\begin{cases} A_{Icy} = \frac{1}{j}, A_{-Icy} = -\frac{1}{j}; \\ A_{ncy} = 0, \text{ pentru } n \neq \pm 1 \end{cases}$$

(b) Coeficienții A_{ncz} rezultă:

$$\begin{cases} A_{Icz} = \frac{1}{j}, A_{-Icz} = -\frac{1}{j}; \\ A_{ncz} = 0, \text{ pentru } n \neq \pm 1 \end{cases}$$

Rezultă astfel expresia semnalului $z(t)$: $z(t) = \sin(200\pi t)$.

(c) Semnalul $w(t)$ se scrie astfel: $w(t) = 0.5 \sin(400\pi t)$. Rezultă:

$$\begin{cases} A_{1cw} = \frac{1}{2j}; A_{-1cw} = -\frac{1}{2j}; \\ A_{ncw} = 0, \text{ pentru } n \neq \pm 1 \end{cases}$$

S2.10. $A_{1c} = \frac{A}{j}; A_{-1c} = -\frac{A}{j}; A_{3c} = A_{-3c} = B; A_{5c} = C \cdot e^{j\varphi}; A_{-5c} = C \cdot e^{-j\varphi};$

$A_{nc} = 0, \text{ pentru } n \neq \{\pm 1, \pm 3, \pm 5\}.$

S2.11. Pentru determinarea spectrului semnalului derivat, se aplică teorema derivării pentru semnale periodice – relația (2.10). Rezultă următoarele relații din spectrul semnalului derivat:

$$\begin{aligned} A_{nd} &= j2\pi n f_1 \cdot A_n \\ \varphi_{nd} &= \varphi_n + \frac{\pi}{2} \end{aligned}$$

unde A_{nd} și φ_{nd} sunt amplitudinile respectiv fazele din spectrul semnalului $x'(t)$, iar A_n și φ_n sunt amplitudinile și fazele din spectrul semnalului $x(t)$. Rezultă :

$$\begin{aligned} A_{0d} &= A_0 \\ A_{2d} &= 2\pi \cdot 10^5 \quad ; \quad \varphi_{2d} = \frac{5\pi}{6} \\ A_{4d} &= 12\pi \cdot 10^5 \quad ; \quad \varphi_{4d} = \frac{\pi}{4} \\ A_{5d} &= 25\pi \cdot 10^5 \quad ; \quad \varphi_{5d} = 0 \end{aligned}$$

În Figura S2.11 este ilustrat spectrul semnalului derivat.

S2.12. Pentru determinarea spectrului semnalului integrat, se aplică teorema integrării pentru semnale periodice – relația (2.11). Rezultă următoarele relații din spectrul semnalului integrat:

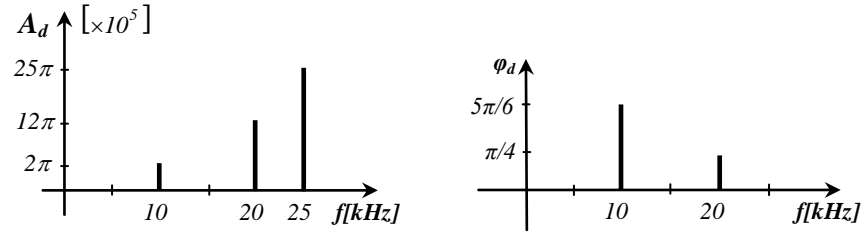


Figura S2.11

$$A_{ni} = \frac{1}{j2\pi n f_1} \cdot A_n$$

$$\varphi_{ni} = \varphi_n - \frac{\pi}{2}$$

unde A_{ni} și φ_{ni} sunt amplitudinile respectiv fazele din spectrul semnalului integrat, iar A_n și φ_n sunt amplitudinile și fazele din spectrul semnalului $x(t)$.

Rezultă :

$$A_{3i} = \frac{5}{12\pi} \cdot 10^{-3} \quad ; \quad \varphi_{3i} = \frac{\pi}{2}$$

$$A_{4i} = \frac{7}{16\pi} \cdot 10^{-3} \quad ; \quad \varphi_{4i} = -\frac{\pi}{2}$$

$$A_{5i} = \frac{1}{8\pi} \cdot 10^{-3} \quad ; \quad \varphi_{5i} = -\frac{\pi}{6}$$

În Figura S2.12 este ilustrat spectrul semnalului integrat.

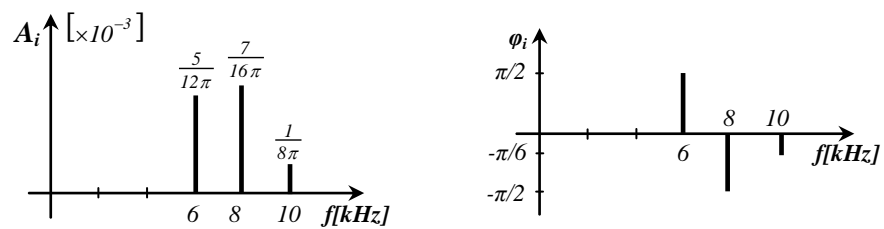


Figura S2.12

S2.13. (a) Pentru calculul coeficienților complecși A_{nc} , o primă metodă reprezintă *metoda delta-periodic*: se derivează semnalul $x(t)$, obținând semnalul derivat $x_d(t)$, compus din două semnale delta-periodic deplasate:

$$x_d(t) = X_0 \cdot \delta_T \left(t + \frac{\tau}{2} \right) - X_0 \cdot \delta_T \left(t - \frac{\tau}{2} \right) \quad (\text{S2.4})$$

Coeficienții Fourier ai semnalului $\delta_T(t)$ se determină din relația de definiție:

$$A_{nc\delta} = \frac{2}{T} \cdot \int \delta_T(t) \cdot e^{-j2\pi n f t} dt = \frac{2}{T} \int \delta(t) \cdot e^{-j2\pi n f t} dt = \frac{2}{T} \int \delta(t) dt = \frac{2}{T} \quad (\text{S2.5})$$

Aplicând teorema întârzierii – relația (2.8) – rezultă coeficienții A_{ncd} ai semnalului $x_d(t)$:

$$A_{ncd} = \frac{2}{T} X_0 e^{j\pi n f_1 \tau} - \frac{2}{T} X_0 e^{-j\pi n f_1 \tau} \quad (\text{S2.6})$$

Cu teorema derivării (2.10) se obțin coeficienții A_{nc} ai semnalului $x(t)$:

$$A_{nc} = \frac{2}{T} X_0 \tau \cdot Sa(\pi n f_1 \tau) \quad (\text{S2.7})$$

unde Sa este funcția *sinus-atenuat*, definită astfel:

$$Sa(x) = \frac{\sin(x)}{x} \quad (\text{S2.8})$$

Relația (S2.7) mai poate fi scrisă sub forma:

$$A_{nc} = \frac{2}{T} \cdot \text{aria}_{\square} \cdot Sa(\pi n f_1 \cdot \text{dur}_{\square}) \quad (\text{S2.9})$$

unde aria_{\square} și dur_{\square} sunt aria, respectiv durata unui impuls dreptunghiular.

O altă metodă de determinarea a coeficienților A_{nc} este *metoda directă*: se aplică relația de definiție a coeficienților complecși – (2.5) –, în care integrala se calculează pentru impulsul dreptunghiular din intervalul $\left(-\frac{\tau}{2}, \frac{\tau}{2}\right)$:

$$A_{nc} = \frac{2}{T} \cdot \int_{-\tau/2}^{\tau/2} X_0 \cdot e^{-j2\pi n f_1 t} dt = \frac{2}{T} X_0 \tau \cdot Sa(\pi n f_1 \tau) \quad (S2.10)$$

Observație: aici, calculul coeficienților cu metoda directă este cu mult mai simplu decât metoda delta-periodic, dar acest lucru nu este valabil pentru orice semnal periodic, de multe ori metoda directă fiind dificil de aplicat din cauza dificultăților întâmpinate la rezolvarea integralei.

Se obține următoarea expresie pentru spectrul de amplitudini:

$$A_n = |A_{nc}| = \frac{2}{T} X_0 \tau \cdot |Sa(\pi n f_1 \tau)| \quad (S2.11)$$

și spectrul de faze:

$$\varphi_n = \arg \{A_{nc}\} = \begin{cases} 0, & \text{dacă } A_{nc} \geq 0 \\ \pm \pi, & \text{dacă } A_{nc} < 0 \end{cases} \quad (S2.12)$$

(b) Pentru un factor de umplere de 50%, rezultă $T = 2\tau$, iar pentru cazul când factorul de umplere este de 25%, rezultă $T = 4\tau$. Graficele semnalului în cele două cazuri sunt ilustrate în *Figura S2.13.b*.

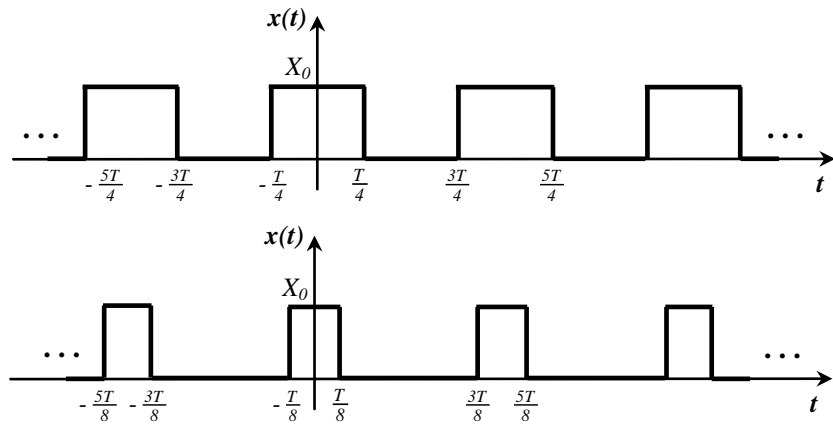


Figura S2.13.b

(c) Pentru cazul $T = 2\tau$, coeficienții complecși rezultă:

$$A_{nc} = X_0 \cdot Sa\left(\frac{n\pi}{2}\right) = \begin{cases} 0, & \text{pentru } n = 2k \\ (-1)^k \cdot \frac{2X_0}{(2k+1)\pi}, & \text{pentru } n = 2k+1 \end{cases} \quad (S2.13)$$

Prin urmare, dintre coeficienții complecși corespunzători primelor 7 armonici, cei de ordin par sunt 0, iar cei de ordin impar sunt:

$$A_{1c} = \frac{2X_0}{\pi}; \quad A_{3c} = -\frac{2X_0}{3\pi}; \quad A_{5c} = \frac{2X_0}{5\pi}; \quad A_{7c} = -\frac{2X_0}{7\pi}$$

Rezultă liniile spectrale din spectrul de amplitudini:

$$A_1 = \frac{2X_0}{\pi}; \quad A_3 = \frac{2X_0}{3\pi}; \quad A_5 = \frac{2X_0}{5\pi}; \quad A_7 = \frac{2X_0}{7\pi}$$

și liniile corespunzătoare din spectrul de faze: $\varphi_1 = \varphi_5 = 0$; $\varphi_3 = \varphi_7 = \pi$.

Componenta continuă se determină cu relația (2.2):

$$A_0 = \frac{X_0\tau}{T} \Rightarrow A_0 = \frac{X_0}{2} \quad (S2.14)$$

Înainte de desenarea liniilor spectrale, în cazul semnalului dreptunghiular periodic se poate trasa și *anvelopa* (*învelitoarea*) spectrului. Expresia anvelopei se obține din expresia spectrului de amplitudini, înlocuind „frecvența discretă” nf_1 cu „frecvența continuă” f :

$$I(f) = \frac{2}{T} X_0\tau \cdot |Sa(\pi f\tau)| \quad (S2.15)$$

În vederea reprezentării anvelopei, se determină punctele sale de anulare:

$$I(f) = 0 \Rightarrow \sin(\pi f\tau) = 0 \Rightarrow f = \frac{k}{\tau}, \quad k \in \mathbf{Z}^* \quad (S2.16)$$

precum și valoarea sa la frecvența $f = 0$:

$$I(0) = \frac{2}{T} X_0\tau \quad (S2.17)$$

În *Figura S2.13.c* sunt reprezentate spectrul de amplitudini, împreună cu anvelopa sa, și spectrul de faze.

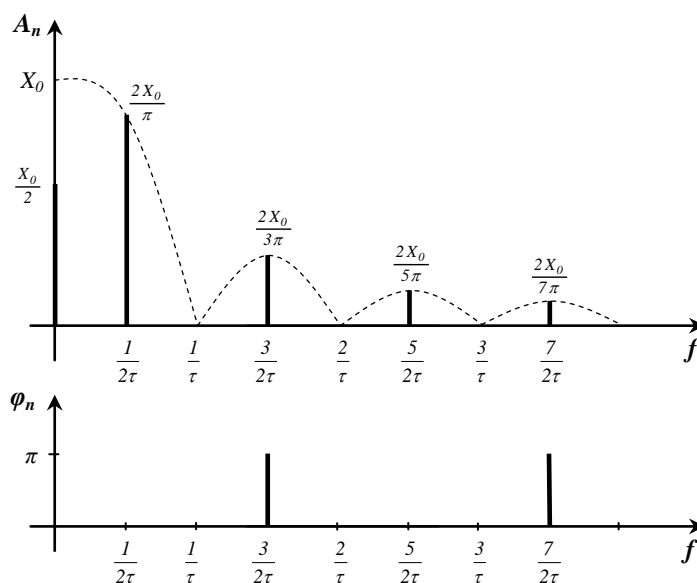


Figura S2.13.c

(d) Pentru cazul $T = 4\tau$, coeficienții complecși rezultă: $A_{nc} = \frac{X_0}{2} \cdot \text{Sa}\left(\frac{n\pi}{4}\right)$. În Figura S2.13.d sunt reprezentate spectrul de amplitudini, împreună cu anvelopa sa, și spectrul de faze.

S2.14. (a) Se derivează semnalul $x(t)$, obținând semnalul $x_d(t)$, compus din două semnale delta-periodic (Figura S2.14.a):

$$x_d(t) = 2\delta_T(t + 4 \cdot 10^{-3}) - 2\delta_T(t)$$

Cunoscând expresia coeficienților SFA ai semnalului delta periodic (S2.5), pentru $T = 12 \cdot 10^{-3}$ s rezultă coeficienții SFA ai semnalului derivat:

$$A_{ncd} = \frac{1}{3 \cdot 10^{-3}} \cdot \left(e^{jn\frac{2\pi}{3}} - 1 \right)$$

Folosind teorema derivării (2.10), rezultă:

$$A_{nc} = \frac{4}{j2\pi n} \left(e^{j\frac{2n\pi}{3}} - 1 \right) = \frac{4}{j2\pi n} \cdot e^{j\frac{n\pi}{3}} \left(e^{j\frac{n\pi}{3}} - e^{-j\frac{n\pi}{3}} \right) = \frac{4}{3} \cdot e^{j\frac{n\pi}{3}} \cdot Sa\left(\frac{n\pi}{3}\right)$$

(S2.18)

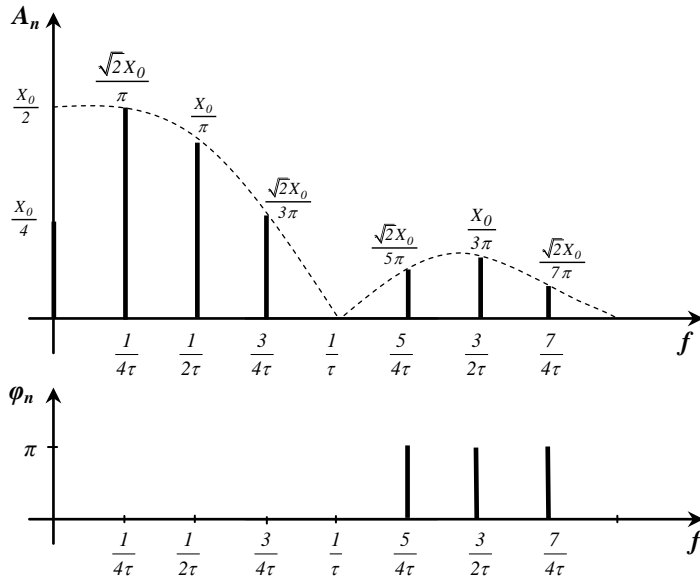


Figura S2.13.d

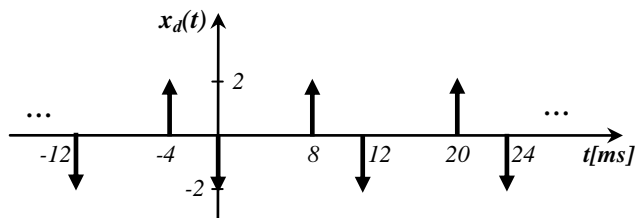


Figura S2.14.a

(b) Se scrie:

$$x(t) = x_0(t + 2 \cdot 10^{-3}),$$

unde $x_0(t)$ este semnalul dreptunghiular periodic având aceleași dimensiuni, dar centrat în origine.

Coeficienții complecși ai semnalului $x_0(t)$ se determină cu relația (S2.9). Folosind teorema întâzierii (2.7), rezultă relația (S2.18).

(c) Expresia spectrului de amplitudini:

$$A_n = \frac{4}{3} \cdot \left| Sa\left(\frac{n\pi}{3}\right) \right| = \begin{cases} 0, & \text{pentru } n = 3k \\ \frac{2\sqrt{3}}{n\pi}, & \text{pentru } n \neq 3k \end{cases}$$

Expresia spectrului de faze:

$$\varphi_n = \arg\left\{ Sa\left(\frac{n\pi}{3}\right) \right\} + \frac{n\pi}{3} = \begin{cases} \frac{n\pi}{3}, & \text{dacă } Sa\left(\frac{n\pi}{3}\right) > 0 \\ \frac{n\pi}{3} - \pi, & \text{dacă } Sa\left(\frac{n\pi}{3}\right) < 0 \end{cases}$$

Spectrul este ilustrat în *Figura S2.14.c*.

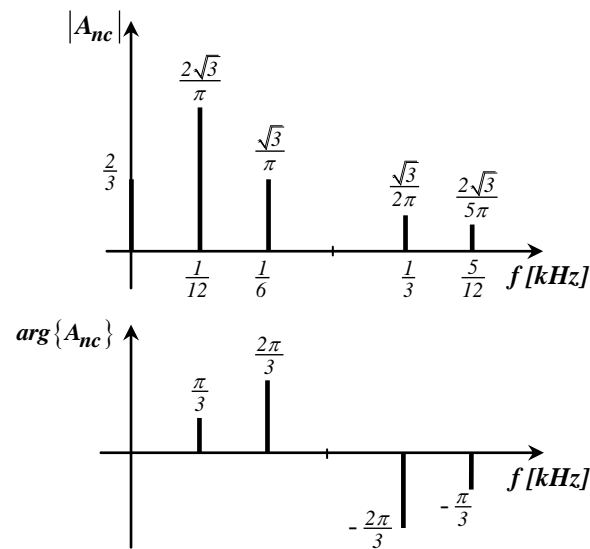


Figura S2.14.c

S2.15. (a) Metoda I: se derivează semnalul $x(t)$, iar semnalul derivat se exprimă în funcție de semnalul delta-periodic:

$$x_d(t) = 2\delta_T(t) - \delta_T(t - 2 \cdot 10^{-3}) - \delta_T(t - 3 \cdot 10^{-3})$$

Se determină coeficienții complecși ai semnalului $x_d(t)$, apoi, folosind teorema derivării, rezultă în final coeficienții complecși ai semnalului $x(t)$:

$$A_{nc} = \frac{2 - e^{-jn\pi} - e^{-j\frac{3n\pi}{2}}}{j\pi n}$$

Metoda II: semnalul $x(t)$ se poate scrie ca o sumă de două semnale periodice dreptunghiulare, deplasate față de origine:

$$x(t) = x_1(t - 10^{-3}) + x_2(t - 2.5 \cdot 10^{-3})$$

Pentru fiecare din cele două semnale dreptunghiulare se aplică relația (S2.9), împreună cu teorema întârzierii. Rezultă soluția:

$$A_{nc} = 2 \cdot \text{Sa}\left(\frac{n\pi}{2}\right) \cdot e^{-j\frac{n\pi}{2}} + \frac{1}{2} \cdot \text{Sa}\left(\frac{n\pi}{4}\right) \cdot e^{-j\frac{5n\pi}{4}}$$

Observație: expresia este echivalentă cu cea obținută la prima metodă.

$$(b) A_{1c} = \frac{1}{\pi}(-1 - 3j); A_{2c} = \frac{1}{j\pi}; A_{3c} = \frac{1}{3\pi}(1 - 3j); A_{4c} = 0; A_{5c} = \frac{1}{5\pi}(-1 - 3j)$$

Rezultă primele 5 linii din spectrul de amplitudini și componenta continuă:

$$A_0 = 1.25; A_1 = \frac{1}{\pi}\sqrt{10}; A_2 = \frac{1}{\pi}; A_3 = \frac{1}{3\pi}\sqrt{10}; A_4 = 0; A_5 = \frac{1}{5\pi}\sqrt{10}$$

și primele 5 linii din spectrul de faze:

$$\varphi_1 = \varphi_5 = -\pi + \arctg 3; \varphi_2 = -\frac{\pi}{2}; \varphi_3 = -\arctg 3; \varphi_4 = 0.$$

Frecvența fundamentală este 250 Hz, deci cele 4 armonici se vor afla la frecvențele: 250, 500, 750 și respectiv 1250 Hz (vezi Figura S2.15).

S2.16. (a) Se derivează semnalul și se obține semnalul derivat, compus din două semnale periodice dreptunghiulare deplasate (vezi Figura S2.16.a):

$$x_d(t) = x_0\left(t + \frac{\tau}{4}\right) - x_0\left(t - \frac{\tau}{4}\right)$$

unde $x_0(t)$ este un semnal dreptunghiular periodic de aceleași dimensiuni, dar centrat în origine.

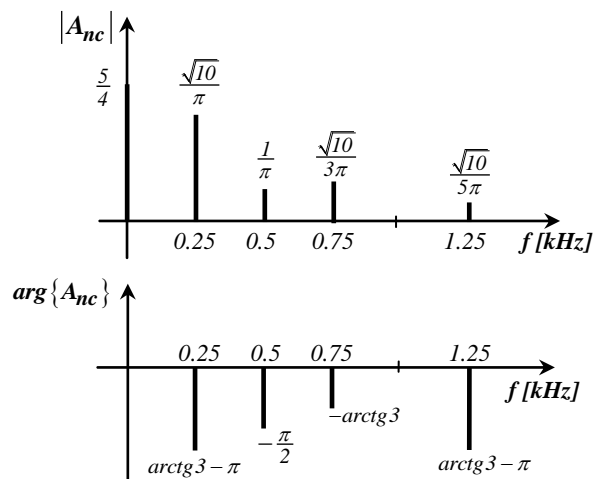


Figura S2.15

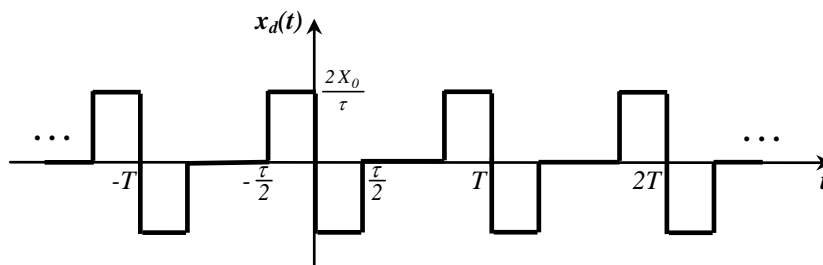


Figura S2.16.a

Pentru fiecare din cele două semnale dreptunghiulare se aplică relația (S2.9), împreună cu teorema întârzierii. Rezultă expresia spectrului semnalului derivat:

$$A_{ncd} = \frac{2}{T} X_0 Sa\left(\pi n f_1 \frac{\tau}{2}\right) \cdot 2j \cdot \sin\left(\pi n f_1 \frac{\tau}{2}\right)$$

Cu teorema derivării, se obțin coeficienții complecși ai semnalului $x(t)$:

$$A_{nc} = \frac{2}{T} \cdot X_0 \frac{\tau}{2} \cdot Sa^2\left(\pi n f_1 \frac{\tau}{2}\right)$$

Relația mai poate fi scrisă sub forma::

$$A_{nc} = \frac{2}{T} \cdot \text{aria}_{\Delta} \cdot Sa^2\left(\pi n f_1 \cdot \frac{\text{dur}_{\Delta}}{2}\right) \quad (\text{S2.19})$$

unde aria_{Δ} și dur_{Δ} reprezintă aria, respectiv durata unui impuls triunghiular.

Rezultă spectrul de amplitudini

$$|A_{nc}| = \frac{X_0 \tau}{T} \cdot Sa^2\left(\pi n f_1 \frac{\tau}{2}\right) \quad (\text{S2.20})$$

și cel de fază: $\arg\{A_{nc}\} = 0$.

(b) Pentru cazul $T = 2\tau$, liniile din spectrul de amplitudini vor fi:

$$A_n = \frac{X_0}{2} \cdot Sa^2\left(\frac{n\pi}{4}\right)$$

Componenta continuă se determină cu relația (2.2):

$$A_0 = \frac{X_0 \tau}{2T} \Rightarrow A_0 = \frac{X_0}{4}$$

Ca și la semnalul periodic dreptunghiular (vezi soluția S2.13), și aici se poate trasa mai întâi anvelopa spectrului de amplitudini. Expresia sa este:

$$I(f) = \frac{X_0 \tau}{T} \cdot Sa^2\left(\pi f \frac{\tau}{2}\right) \quad (\text{S2.21})$$

Anvelopa este în formă de Sa^2 , având punctele de anulare la frecvențele:

$$f = \frac{2k}{\tau}, \quad k \in \mathbf{Z}^*$$

iar valoarea la frecvența $f = 0$:

$$I(0) = \frac{2}{T} X_0 \tau$$

În *Figura S2.16.b* este reprezentat spectrul de amplitudini, împreună cu anvelopa sa.

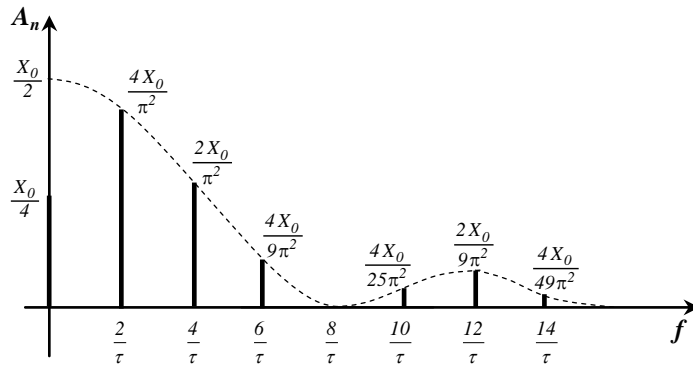


Figura S2.16.b

S2.17. (a) Metoda I: se derivează semnalul și se determină mai întâi spectrul semnalului derivat, folosind (S2.9). Rezultă:

$$A_{nc} = \frac{9}{2} \cdot Sa\left(\frac{n\pi}{4}\right) \cdot Sa\left(\frac{3n\pi}{4}\right)$$

Metoda II: trapezul se scrie ca o diferență de două semnale triunghiulare, ambele centrate în origine (vezi *Figura P2.17.a*).

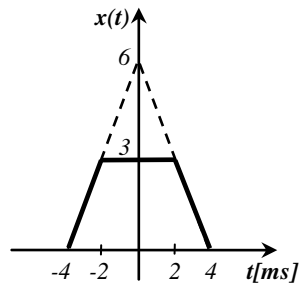


Figura P2.17.a

Apoi, se folosește expresia (S2.19). Rezultă expresia coeficienților complecși:

$$A_{nc} = 6 \cdot Sa^2\left(\frac{n\pi}{2}\right) - \frac{3}{2} \cdot Sa^2\left(\frac{n\pi}{4}\right)$$

Observație: soluția este echivalentă cu cea de la prima metodă.

(b) vezi *Figura S2.17.b*.

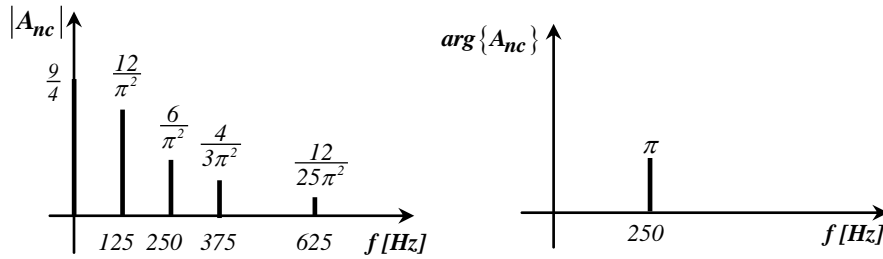


Figura S2.17.b

S2.18. (a) Se derivează semnalul și se determină mai întâi spectrul semnalului derivat. În final, rezultă: $A_{nc} = \frac{4}{\pi n} j$.

(b) $A_0 = 2 \cdot 10^{-3}$; $A_n = \frac{4}{\pi n}$; $\varphi_n = \frac{\pi}{2}$; spectrul este ilustrat în *Figura S2.18*.

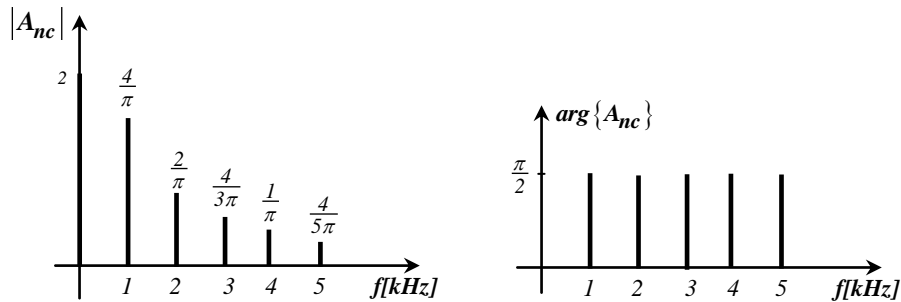


Figura S2.18

S2.19. (a) Funcția de densitate spectrală a semnalului $\delta(t)$ este:

$$X(f) = \int_{-\infty}^{\infty} \delta(t) \cdot e^{-j2\pi ft} dt = 1$$

Rezultă spectrul de amplitudini și de faze ilustrat în *Figura S2.19.a*.

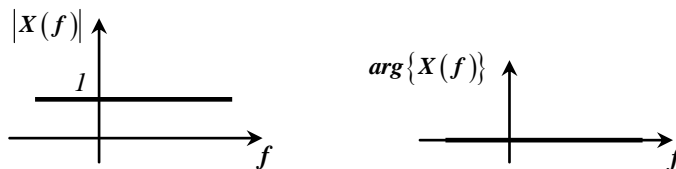


Figura S2.19.a

$$(b) \delta_T(t) = \sum_{k=-\infty}^{\infty} \delta(t - kT) = \sum_{k=-\infty}^{\infty} \delta(t - k \cdot 20 \cdot 10^{-3}) \quad (\text{Figura S2.19.b}).$$

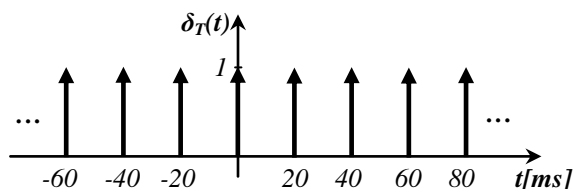


Figura S2.19.b

(c) Dacă un impuls finit având transformata Fourier $X(f)$ se repetă cu perioada T , atunci coeficienții complecși ai semnalului periodic care rezultă se determină cu relația (2.26).

Rezultă spectrul de amplitudini (*Figura S2.19.c*): $|A_{nc}| = 100$ și cel de faze: $\arg\{A_{nc}\} = 0$. Componenta continuă rezultă: $A_0 = 50$.

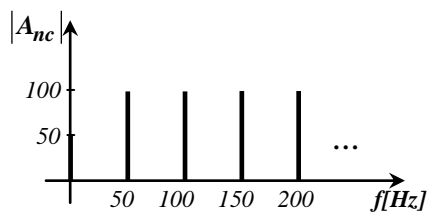


Figura S2.19.c

(d) Sinteza unui semnal periodic $x(t)$ semnifică exprimarea semnalului ca o sumă a componentelor sale armonice (SFA):

$$x(t) = A_0 + \sum_{n=1}^{\infty} |A_{nc}| \cos(2\pi n f_1 t + \arg\{A_{nc}\})$$

Rezultă expresia semnalului $\delta_T(t)$:

$$\delta_T(t) = 50 + 100 [\cos(100\pi t) + \cos(200\pi t) + \cos(300\pi t) + \dots]$$

S2.20. (a) Vezi *Figura S2.20.a*.

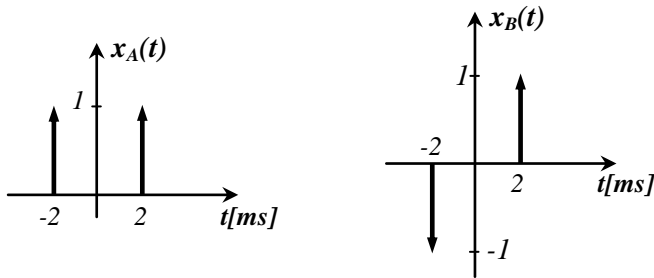


Figura S2.20.a

(b) Expresiile transformatelor Fourier ale semnalelor:

$$X_A(f) = e^{j2\pi f \cdot 2 \cdot 10^{-3}} + e^{-j2\pi f \cdot 2 \cdot 10^{-3}} = 2 \cdot \cos(4 \cdot 10^{-3} \pi f)$$

$$X_B(f) = -e^{j2\pi f \cdot 2 \cdot 10^{-3}} + e^{-j2\pi f \cdot 2 \cdot 10^{-3}} = -2j \cdot \sin(4 \cdot 10^{-3} \pi f)$$

Spectrele sunt ilustrate în *Figura S2.20.b*.

(c) Expresiile semnalelor sunt:

$$x_{AT}(t) = \delta_T(t + 2 \cdot 10^{-3}) + \delta_T(t - 2 \cdot 10^{-3})$$

$$x_{BT}(t) = -\delta_T(t + 2 \cdot 10^{-3}) + \delta_T(t - 2 \cdot 10^{-3})$$

unde $\delta_T(t)$ este semnalul delta-periodic. Graficele semnalelor sunt ilustrate în *Figura S2.20.c*.

(d) $A_{ncA} = \frac{2}{T} \cdot 2 \cdot \cos(4 \cdot 10^{-3} \pi n f_1) = 400 \cdot \cos(0.4 n \pi)$ (vezi *Figura S2.20.d-1*)

$A_{ncB} = -\frac{2}{T} \cdot 2j \cdot \sin(4 \cdot 10^{-3} \pi n f_1) = -j \cdot 400 \cdot \sin(0.4 \cdot n \pi)$ (vezi *Figura S2.20.d-2*)

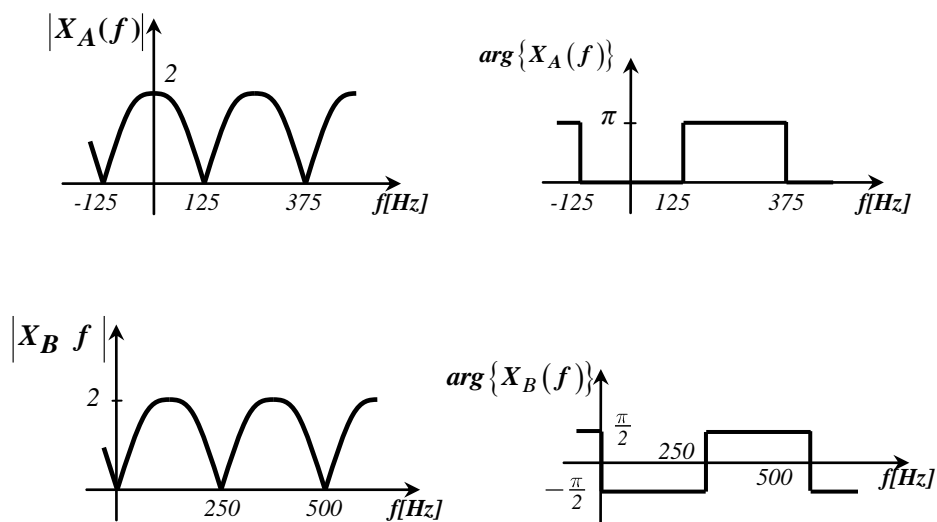


Figura S2.20.b

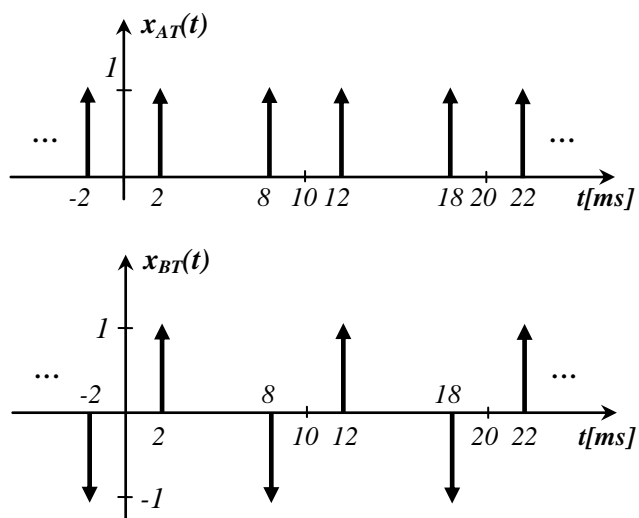


Figura S2.20.c

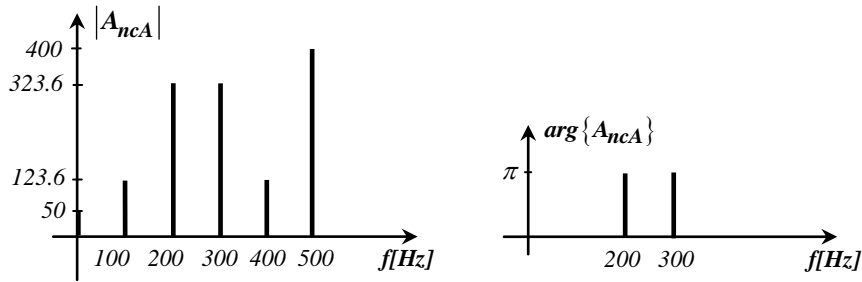


Figura S2.20.d-1

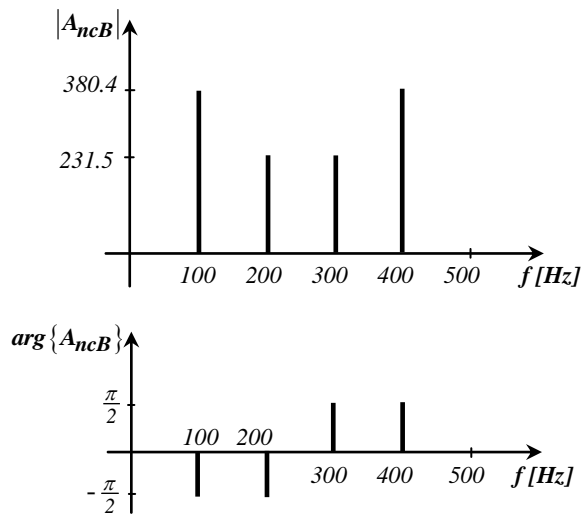


Figura S2.20.d-2

$$(e) \quad x_{AT}(t) = 50 + 123.6 \cos(200\pi t) + 323.6 \cos(400\pi t + \pi) + \\ + 323.6 \cos(600\pi t + \pi) + 123.6 \cos(800\pi t) + 400 \cos(1000\pi t);$$

$$x_{BT}(t) = 380.4 \cos\left(200\pi t - \frac{\pi}{2}\right) + 235.1 \cos\left(400\pi t - \frac{\pi}{2}\right) + 235.1 \cos\left(600\pi t + \frac{\pi}{2}\right) + \\ + 380.4 \cos\left(800\pi t + \frac{\pi}{2}\right)$$

S2.21. (a) Se derivează semnalul și rezultă: $x_d(t) = X_0 \cdot \delta\left(t + \frac{\tau}{2}\right) - X_0 \cdot \delta\left(t - \frac{\tau}{2}\right)$.

Știind că:

$$F\{\delta(t)\} = 1 \quad (\text{S2.22})$$

și, folosind teorema întârzierii, rezultă spectrul semnalului derivat:

$$X_d(f) = 2jX_0 \sin(\pi f \tau)$$

Cu teorema derivării (2.20), rezultă transformata Fourier a semnalului $x(t)$:

$$X(f) = X_0 \tau \cdot Sa(\pi f \tau) \quad (\text{S2.23})$$

Relația (S2.23) mai poate fi scrisă sub forma:

$$X(f) = \text{aria}_{\square} \cdot Sa(\pi f \cdot \text{dur}_{\square}) \quad (\text{S2.24})$$

unde aria_{\square} și dur_{\square} reprezintă aria, respectiv durata dreptunghiului.

(b) Spectrul de amplitudini are expresia:

$$|X(f)| = X_0 \tau \cdot |Sa(\pi f \tau)| \quad (\text{S2.25})$$

deci graficul său va fi în formă de $|Sa|$, cu maximum $X_0 \tau$ și având ca puncte de anulare frecvențele $f = \frac{k}{\tau}$ – vezi relația (S2.16). Spectrul de faze are expresia:

$$\arg\{X(f)\} = \begin{cases} 0, & \text{pentru } X(f) \geq 0 \\ \pm \pi, & \text{pentru } X(f) < 0 \end{cases} \quad (\text{S2.26})$$

În Figura S2.21 sunt reprezentate spectrul de amplitudini și cel de faze.

S2.22. Determinarea transformatei Fourier a semnalului $x_I(t)$: semnalul poate fi considerat ca fiind un impuls dreptunghiular avansat cu 2ms față de origine:

$$x_I(t) = x_0(t - 2 \cdot 10^{-3})$$

unde $x_0(t)$ este același impulsul dreptunghiular centrat în origine, a cărui transformată Fourier o determinăm aplicând relația (S2.24). Folosind teorema întârzierii, rezultă:

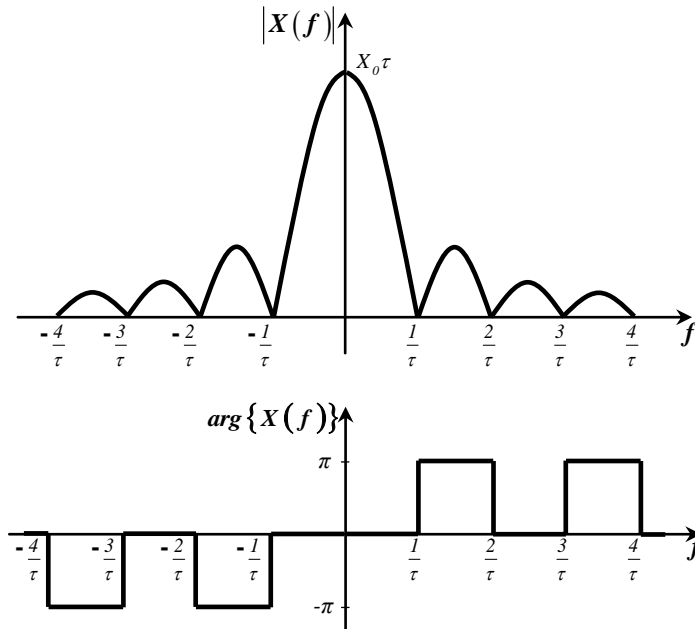


Figura S2.21

$$X_1(f) = 2 \cdot 10^{-2} \text{Sa}(\pi f \cdot 5 \cdot 10^{-3}) \cdot e^{-j\pi f \cdot 5 \cdot 10^{-3}}$$

Determinarea transformatei Fourier a semnalului $x_2(t)$: semnalul este format din cele două impulsuri dreptunghiulare deplasate. Folosind (S2.24) și teorema întârzierii, rezultă:

$$X_2(f) = j \cdot 4A_0a \cdot \sin(4a\pi f) \text{Sa}(2a\pi f).$$

S2.23. (a) Se derivează semnalul și se obține semnalul derivat, compus din două dreptunghiuri de aceleași dimensiuni, deplasate față de origine:

$$x_d(t) = x_0 \left(t + \frac{\tau}{4} \right) - x_0 \left(t - \frac{\tau}{4} \right)$$

unde $x_0(t)$ este un semnal dreptunghiular de aceleași dimensiuni, dar centrat în origine.

Pentru fiecare din cele două semnale dreptunghiulare se aplică relația (S2.24) împreună cu teorema întârzierii. Rezultă expresia:

$$X_d(f) = 2jX_0 \cdot Sa\left(\pi f \frac{\tau}{2}\right) \cdot \sin\left(\pi f \frac{\tau}{2}\right)$$

Aplicând teorema derivării, rezultă transformata Fourier a semnalului $x(t)$:

$$X(f) = \frac{X_0\tau}{2} \cdot Sa^2\left(\pi f \frac{\tau}{2}\right) \quad (S2.27)$$

Relația (S2.23) mai poate fi scrisă sub forma:

$$X(f) = \text{aria}_\Delta \cdot Sa^2\left(\pi f \cdot \frac{\text{dur}_\Delta}{2}\right) \quad (S2.28)$$

unde aria_Δ și dur_Δ reprezintă aria, respectiv durata triunghiului.

(b) Spectrul de amplitudini are expresia:

$$|X(f)| = \frac{X_0\tau}{2} \cdot Sa^2\left(\pi f \frac{\tau}{2}\right) \quad (S2.29)$$

și este ilustrat în *Figura S2.23*.

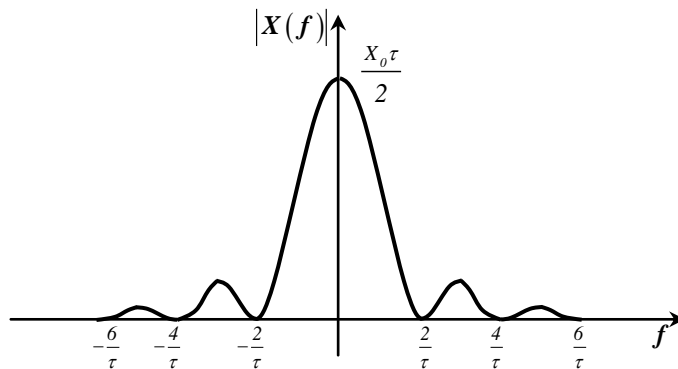


Figura S2.23

Graficul său este fi în formă de Sa^2 , cu maximul $\frac{X_0\tau}{2}$ și având ca puncte de

anulare frecvențele $f = \frac{2k}{\tau}$, $k \in \mathbf{Z}^*$ (vezi soluția S2.16). Spectrul de faze este nul:

$$\arg\{X(f)\} = 0.$$

S2.24. (a) Metoda I: Trapezul se scrie ca diferență de două triunghiuri; se va folosi expresia TF a unui semnal triunghiular centrat în origine (S2.28). Rezultă:

$$X(f) = 4 \left[4 \cdot \text{Sa}^2(2\pi f) - \text{Sa}^2(\pi f) \right]$$

Metoda II: Se determină mai întâi spectrul semnalului derivat. În final, rezultă:

$$X(f) = 12 \cdot \text{Sa}(\pi f) \cdot \text{Sa}(3\pi f)$$

Observație: expresia este echivalentă cu cea obținută la prima metodă.

(b) Expresia coeficienților complecși rezultă:

$$A_{nc} = \frac{2}{T} \cdot X(nf_1) = 2 \left[4 \cdot \text{Sa}^2\left(\frac{n\pi}{2}\right) - \text{Sa}^2\left(\frac{n\pi}{4}\right) \right]$$

Spectrul este ilustrat în *Figura S2.24*.

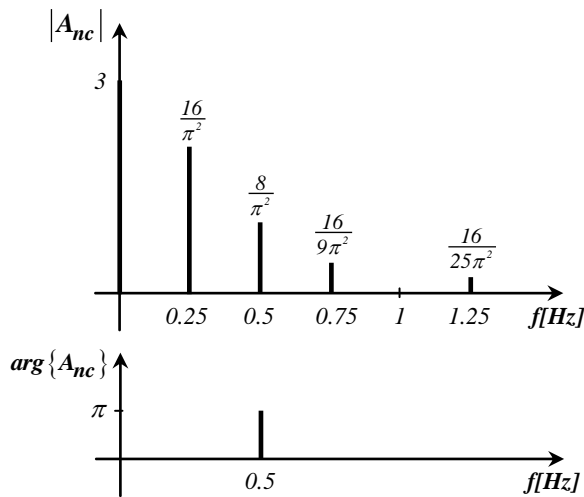


Figura S2.24

S2.25. (a) Metoda I: Semnalul se scrie ca sumă dintre un dreptunghi și un triunghi, ambele centrate în origine. Rezultă:

$$X(f) = 4 \left[Sa(4\pi f) + Sa^2(2\pi f) \right]$$

Metoda II: Se determină mai întâi transformata Fourier a semnalului derivat (vezi Figura S2.25.a), care se poate scrie:

$$x'(t) = \delta(t+2) + x_0(t+1) - x_0(t-1) - \delta(t-2)$$

unde $x_0(t)$ este un semnal dreptunghiular de dimensiunile celor din figură, dar centrat în origine. Apoi, se folosește teorema derivării și rezultă aceeași expresie a spectrului semnalului $x(t)$ ca la metoda I.

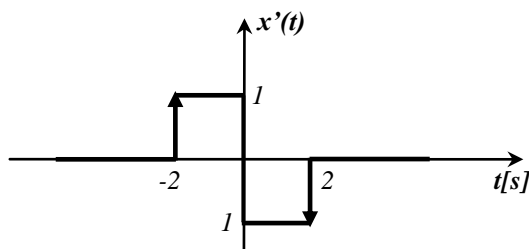


Figura S2.25.a

(b) Expresia coeficienților complecși:

$$A_{nc} = Sa\left(\frac{n\pi}{2}\right) + Sa^2\left(\frac{n\pi}{4}\right)$$

Spectrul este ilustrat în Figura S2.25.b.

S2.26. (a) Semnalul este format din cele două triunghiuri deplasate; rezultă expresia transformatei Fourier:

$$X(f) = 40j \cdot Sa^2(5\pi f) \cdot \sin(10\pi f)$$

(b) Expresia coeficienților complecși: $A_{nc} = 4j \cdot Sa^2\left(\frac{n\pi}{4}\right) \cdot \sin\left(\frac{n\pi}{2}\right)$.

Spectrul este ilustrat în Figura S2.26.

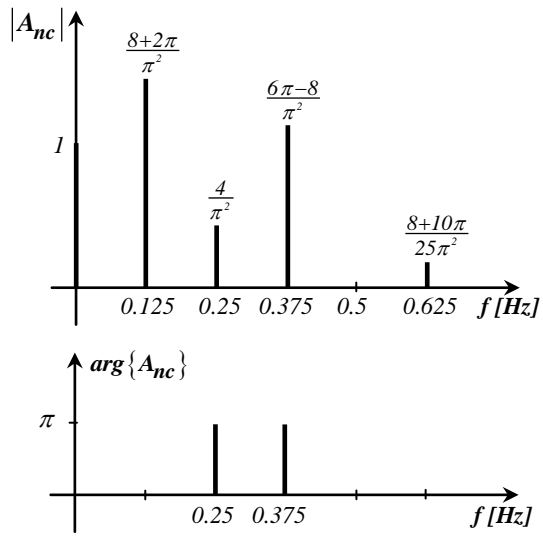


Figura S2.25.b

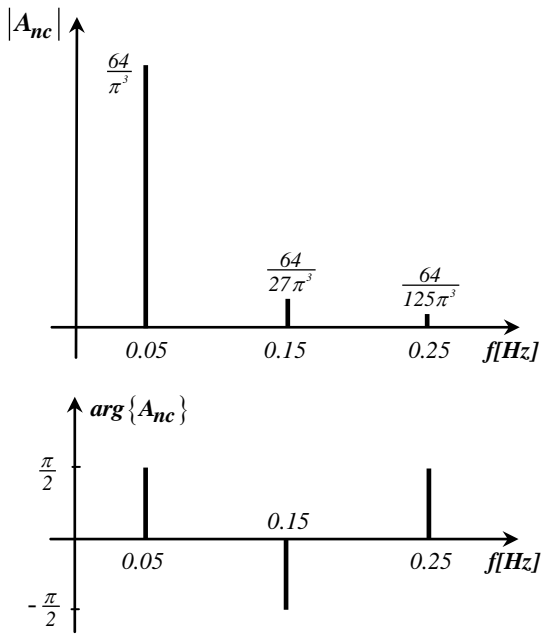


Figura S2.26

$$\mathbf{S2.27. (a)} \quad X(f) = 30 \left[2 \cdot \text{Sa}^2(6\pi f) - \text{Sa}^2(3\pi f) \cdot \cos(18\pi f) \right]$$

$$\mathbf{(b)} \quad A_{nc} = \frac{5}{2} \left[2 \cdot \text{Sa}^2\left(\frac{n\pi}{4}\right) - \text{Sa}^2\left(\frac{n\pi}{8}\right) \cdot \cos\left(\frac{3n\pi}{4}\right) \right]$$

S2.28. Se va considera semnalul $x_1(t)$, ilustrat în *Figura S2.28*. Se determină transformata Fourier a acestui semnal, folosind teorema derivării. Rezultă:

$$X_1(f) = \frac{2}{j\pi f} \left[1 - \text{Sa}(\pi f \cdot 10^{-2}) \right].$$

Semnalul $x(t)$ se obține prin repetarea semnalului $x_1(t)$ cu perioada $T = 15 \text{ ms}$, prin urmare:

$$A_{nc} = \frac{2}{15 \cdot 10^{-3}} \cdot X_1\left(\frac{n}{15 \cdot 10^{-3}}\right)$$

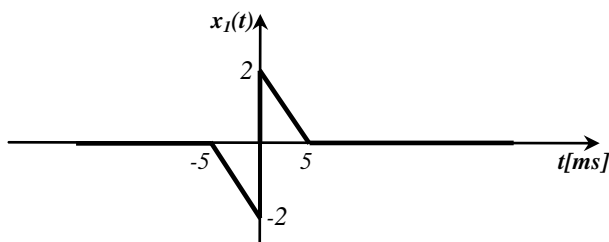


Figura S2.28

Rezultă: $A_{nc} = \frac{4}{j\pi n} \left[1 - \text{Sa}\left(\frac{2n\pi}{3}\right) \right].$

$$\mathbf{S2.29. (a)} \quad y(t) = 0.5 \cos(2\pi \cdot 98 \cdot 10^3 t) + 0.5 \cos(2\pi \cdot 102 \cdot 10^3 t)$$

$$\mathbf{(b)} \quad y(t) = \cos(2\pi \cdot 196 \cdot 10^3 t) + 0.5 \cos(2\pi \cdot 198 \cdot 10^3 t) + 0.5 \cos(2\pi \cdot 202 \cdot 10^3 t) + \cos(2\pi \cdot 204 \cdot 10^3 t)$$

S2.30. După înmulțirea cu $\cos(2\pi f_0 t)$, spectrul bilateral al semnalului $x(t)$ se deplasează în jurul frecvențelor $\pm f_0$, conform cu *teorema modulării*:

$$x(t) \cdot \cos(2\pi f_0 t) \leftrightarrow \frac{1}{2} [X(f + f_0) + X(f - f_0)] \quad (\text{S2.30})$$

După a doua înmulțire cu $\cos(2\pi f_0 t)$, variante (ponderate) ale spectrului bilateral al semnalului $x(t)$ vor apărea în jurul originii și în jurul frecvențelor $\pm 2f_0$. După aplicarea filtrului, va rămâne doar varianta din origine. Rezultă:

$$y(t) = \sum_{k=1}^{10} \frac{k}{2} \cos(4k\pi \cdot 10^3 t), \text{ deci: } \frac{y(t)}{x(t)} = 0.5.$$

S2.31. Vezi Figura S2.31.

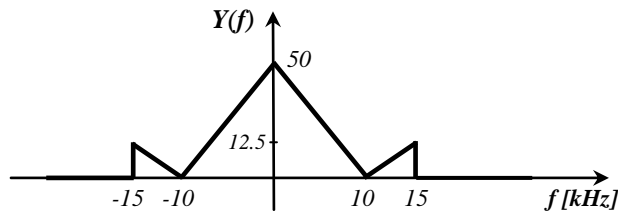


Figura S2.31

S2.32. Dacă nu se specifică forma spectrului semnalului $x(t)$, ci doar frecvența sa maximă f_0 , atunci acesta se va considera de o formă oarecare, de exemplu triunghi centrat în origine, între frecvențele $-f_0$ și f_0 și de amplitudine A . După trecerea prin FTB se obține semnalul $w_1(t)$, cu TF ilustrată în Figura S2.32.a.

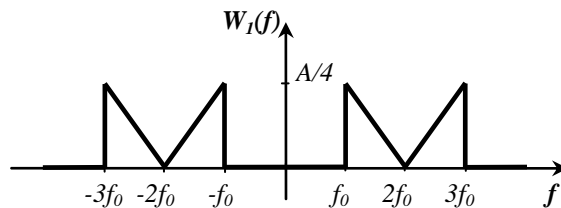


Figura S2.32.a

Este necesar ca $y(t) = k \cdot x(t)$, adică $Y(f) = k \cdot X(f)$. Deci $Y(f)$ trebuie să aibă aceeași formă ca $X(f)$, dar de amplitudine $k \cdot A$. Aceasta înseamnă că f_x trebuie ales astfel încât semnalul înainte de FTJ să conțină un triunghi între frecvențele $-f_0$ și f_0 .

Se poate alege $f_x = f_0$. Rezultă $W_2(f)$ ilustrat în *Figura S2.32.b*.

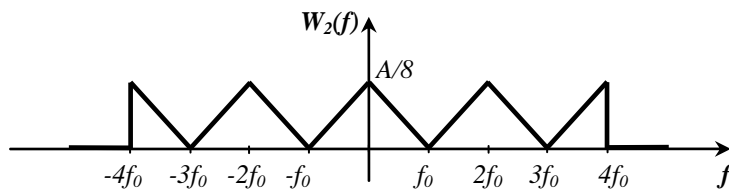


Figura S2.32.b

$Y(f)$ conține doar triunghiul din jurul originii. Rezultă: $Y(f) = \frac{1}{8} \cdot X(f)$,
deci $k = \frac{1}{8}$.

S2.33. (a) Se observă că: $x_2(t) = x_1(t) + x_1\left(t - \frac{T_0}{2}\right)$, deci în domeniul frecvență rezultă: $A_{nc2} = A_{nc1} + A_{nc1} \cdot e^{-j\pi n}$, deci: $A_{nc2} = A_{nc1} [1 + (-1)^n]$.

(b) Se determină mai întâi transformata Fourier a semnalului $x(t)$. Se poate scrie:

$$x(t) = \cos\left(\frac{2\pi}{T_0}t\right) \cdot \begin{cases} 1, & -\frac{T_0}{4} \leq t \leq \frac{T_0}{4} \\ 0, & \text{în rest} \end{cases} = \cos\left(\frac{2\pi}{T_0}t\right) \cdot x_0(t)$$

unde $x_0(t)$ este un semnal dreptunghiular centrat în origine, de amplitudine 1 și durată $\frac{T_0}{2}$ (vezi *Figura S2.33*).

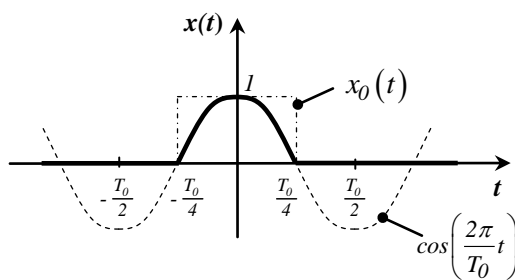


Figura S2.33

Folosind teorema modulării, rezultă transformata Fourier a semnalului $x(t)$:

$$X(f) = \frac{T_0}{4} \left[\text{Sa} \left(\pi f \frac{T_0}{2} + \frac{\pi}{2} \right) + \text{Sa} \left(\pi f \frac{T_0}{2} - \frac{\pi}{2} \right) \right]$$

Ambele semnale $x_1(t)$ și $x_2(t)$ se obțin prin repetarea lui $x(t)$ cu o anumită perioadă. De aceea, pentru determinarea A_{nc1} și A_{nc2} , se va folosi relația (2.26).

Semnalul $x_1(t)$ se obține prin repetarea lui $x(t)$ cu perioada $T = T_0$, deci:

$$A_{nc1} = \frac{1}{2} \text{Sa} \left[(n+1) \frac{\pi}{2} \right] + \frac{1}{2} \text{Sa} \left[(n-1) \frac{\pi}{2} \right]$$

Semnalul $x_2(t)$ se obține prin repetarea lui $x(t)$ cu perioada $T = \frac{T_0}{2}$, deci:

$$A_{nc2} = \text{Sa} \left[(2n+1) \frac{\pi}{2} \right] + \text{Sa} \left[(2n-1) \frac{\pi}{2} \right]$$

$$\text{S2.34. } W = \int_{t_1}^{t_2} x^2(t) dt = 81 \text{ mJ}$$

$$\text{S2.35. } W = 21 \text{ J}$$

$$\text{S2.36. } P = \frac{1}{T} \int_T x^2(t) dt = 3 \text{ } \mu\text{W}$$

$$\text{S2.37. } W = 125 \text{ } \mu\text{J}$$

$$\text{S2.38. } X_{ef} = \sqrt{P} = \sqrt{\frac{1}{T} \int_T x^2(t) dt} = 3 \text{ mV}$$

$$\text{S2.39. } y(t) = 10 \sum_{k=1}^{10} \cos \left(200k\pi t + \frac{\pi}{4} \right)$$

$$\text{S2.40. } y(t) = 2 \sum_{k=10}^{20} \cos(2000k\pi t)$$

$$\mathbf{S2.41.} \quad y(t) = 5 \sum_{k=21}^{100} \cos(2000k\pi t)$$

S2.42. Vom nota cu $x_I(t)$ semnalul aperiodic ce reprezintă descrierea pe o perioada a semnalului $x(t)$. Semnalul periodic $x(t)$ se poate scrie folosind forma armonică a SFA (2.6), unde $f_I = 1 \text{ kHz}$, iar coeficienții complecși se determină cu relația (2.26): $A_{nc} = 2 \cdot 10^3 \cdot X_I(n \cdot 10^3)$. Din *Figura P2.42* se observă că, pentru $n > 3$, $X_I(f) = 0$, prin urmare rămân de determinat A_{1c} , A_{2c} și A_{3c} :

$$A_{1c} = 2 \cdot 10^3 \cdot X(10^3) = 2 \cdot 10^3 \cdot 10^{-3} = 2$$

$$A_{2c} = 2 \cdot 10^3 \cdot X(2 \cdot 10^3) = 2 \cdot 10^3 \cdot 2 \cdot 10^{-3} = 4$$

$$A_{3c} = 2 \cdot 10^3 \cdot X(3 \cdot 10^3) = 2 \cdot 10^3 \cdot 3 \cdot 10^{-3} = 6$$

Toți trei coeficienții fiind reali și pozitivi, rezultă că $\arg\{A_{nc}\} = 0$. Expresia semnalului $x(t)$ va fi:

$$x(t) = 2 \cos(2\pi \cdot 10^3 t) + 4 \cos(2\pi \cdot 2 \cdot 10^3 t) + 6 \cos(2\pi \cdot 4 \cdot 10^3 t)$$

$$\mathbf{S2.43.} \quad x(t) = 2 \cdot 10^3 \cos(2\pi \cdot 10^3 \cdot t)$$

$$\mathbf{S2.44.} \quad x(t) = 400 \cos(2\pi \cdot 100t) + 200 \cos(2\pi \cdot 200t)$$

$$\mathbf{S2.45.} \quad X(f) = 0.05 \{Sa[0.1\pi(f+10)] + Sa[0.1\pi(f-10)]\}$$

$$\mathbf{S2.46.} \quad X(f) = 0.025 \{Sa[0.05\pi(f+10)] + Sa[0.05\pi(f-10)]\}$$

S2.47. Se consideră că semnalul $x(t)$ este compus din două semnale:

$$x(t) = x_1(t) + x_2(t),$$

unde $x_1(t) = 20 \cdot Sa(50\pi t)$ și $x_2(t) = 20 \cdot Sa^2(50\pi t)$.

Pentru $x_1(t)$ se aplică teorema simetriei (2.23): dacă unui dreptunghi în timp îi corespunde un Sa în frecvență, atunci unui Sa în timp îi va corespunde un dreptunghi în frecvență:

$$x_{\square}(t) \leftrightarrow \text{aria} \cdot \text{Sa}(\pi f \cdot \text{dur})$$

$$\text{aria} \cdot \text{Sa}(\pi t \cdot \text{dur}) \leftrightarrow x_{\square}(f)$$

Se echivalează $x_1(t)$ cu expresia: $\text{aria} \cdot \text{Sa}(\pi t \cdot \text{dur})$ și rezultă durata dreptunghiului 100 Hz , iar amplitudinea 1 . Analog se procedează pentru semnalul $x_2(t)$. Spectrele rezultate sunt ilustrate în *Figura S2.47.a*.

Transformata Fourier a semnalului $x(t)$ se obține prin însumarea grafică a celor două transformate Fourier (*Figura S2.47.b*).

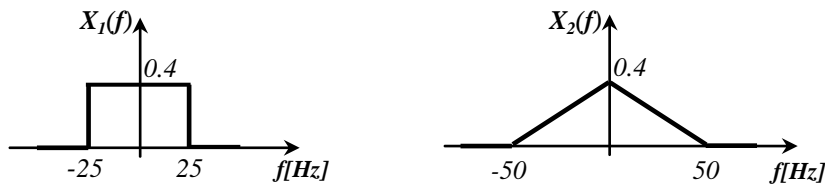


Figura S2.47.a

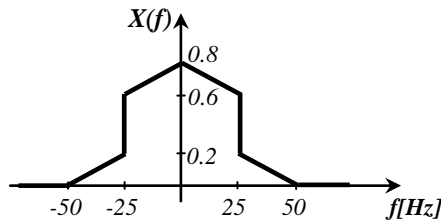


Figura S2.47.b

S2.48. Vezi *Figura S2.48*, (a) – (d).

S2.49. (a) Se observă din grafic că $x(t)$ este suma dintre un semnal dreptunghiular și unul triunghiular, de aceeași durată. Se scriu TF ale celor două semnale și în final rezultă: $X(f) = 0.16 \text{Sa}(16 \cdot 10^{-3} \pi f) + 0.08 \text{Sa}(8 \cdot 10^{-3} \pi f)$.

(b) Semnalul $x(t)$ este suma dintre un dreptunghi și un triunghi, triunghiul având durată mai mare. Rezultă: $X(f) = 0.02 \text{Sa}(0.01 \pi f) + 0.02 \text{Sa}^2(0.01 \pi f)$.

(c) Semnalul $x(t)$ este diferența dintre un dreptunghi și un triunghi de aceeași durată. Rezultă: $X(f) = 0.32 \text{Sa}(0.04 \pi f) - 0.16 \text{Sa}^2(0.02 \pi f)$.

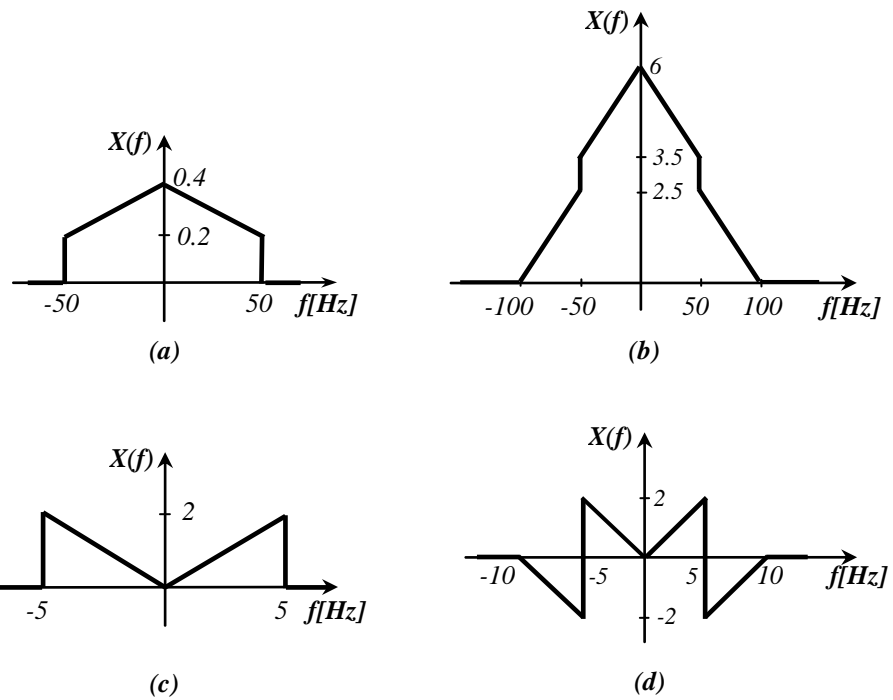


Figura S2.48

(d) Semnalul $x(t)$ este diferența dintre un dreptunghi și un triunghi, triunghiul având durată mai mare decât dreptunghiul. Rezultă:

$$X(f) = 8\text{Sa}(0.1\pi f) - 8\text{Sa}^2(0.1\pi f)$$

S2.50. $y(t) = \cos(192\pi \cdot 10^3 t) + 0.5 \cos(196\pi \cdot 10^3 t) + 0.5 \cos(204\pi \cdot 10^3 t) + \cos(208\pi \cdot 10^3 t)$.

S2.51. $y(t) = \frac{1}{2} \sum_{k=1}^7 k \cos(4k\pi \cdot 10^3 t)$.

S2.52. $y(t) = \frac{1}{2} \sum_{k=1}^5 k \cos(4k\pi \cdot 10^3 t)$.

Capitolul 3

SISTEME ANALOGICE LINIARE ȘI INVARIANTE ÎN TIMP (SALI)

3.1. Breviar teoretic

Caracterizarea SALI

Un sistem cu o intrare $x(t)$ și o ieșire $y(t)$ poate fi caracterizat prin:

- *ecuația diferențială atașată:*

$$a_n \cdot \frac{d^n y(t)}{dt^n} + \dots + a_0 \cdot y(t) = b_n \cdot \frac{d^n x(t)}{dt^n} + \dots + b_0 \cdot x(t) \quad (3.1)$$

- *funcția de sistem (funcția de transfer):*

$$H(s) = \left. \frac{Y(s)}{X(s)} \right|_{\text{cond. init.}=0} \quad (3.2)$$

unde $X(s)$ și $Y(s)$ sunt transformatele Laplace ale semnalelor $x(t)$ și $y(t)$;

- *funcția pondere (răspunsul unui SALI la un impuls ideal unitate):*

$$h(t) = L^{-1} \{ H(s) \} \quad (3.3)$$

- *răspunsul indicial (răspunsul unui SALI la semnal treaptă unitate):*

$$a(t) = L^{-1} \left\{ \frac{H(s)}{s} \right\} \quad (3.4)$$

sau, ca integrală a funcției pondere:

$$a(t) = \int_0^t h(\tau) d\tau \quad (3.5)$$

- răspunsul în frecvență:

$$H(j\omega) = H(s)|_{s=j\omega} \quad (3.6)$$

- amplificarea și defazajul:

$$\begin{aligned} A(\omega) &= |H(j\omega)| \\ \varphi(\omega) &= \arg\{H(j\omega)\} \end{aligned} \quad (3.7)$$

Răspunsul unui SALI la semnale periodice

Dacă la intrarea unui SALI, caracterizat prin funcția de sistem $H(s)$, se aplică semnalul periodic $x(t)$:

$$x(t) = X_0 + \sum_{k=1}^N X_k \cos(2\pi f_k t + \varphi_{xk}) \quad (3.8)$$

atunci semnalul de ieșire va fi:

$$y(t) = Y_0 + \sum_{k=1}^N Y_k \cos(2\pi f_k t + \varphi_{yk}) \quad (3.9)$$

unde :

$$\begin{aligned} Y_0 &= X_0 \cdot |H(0)| \\ Y_k &= X_k \cdot |H(j\omega_k)| \\ \varphi_{yk} &= \varphi_{xk} + \arg\{H(j\omega_k)\} \end{aligned} \quad (3.10)$$

Proprietățile transformatei Laplace

Dacă $X(s) = L\{x(t)\}$, atunci au loc următoarele proprietăți ale transformatei Laplace:

- liniaritatea:

$$\alpha \cdot x_1(t) + \beta \cdot x_2(t) \leftrightarrow \alpha \cdot X_1(s) + \beta \cdot X_2(s) \quad (3.11)$$

- *deplasarea originalului:*

$$x(t-\alpha) \cdot u(t-\alpha) \leftrightarrow e^{-\alpha s} \cdot X(s) \quad (3.12)$$

- *deplasarea imaginii:*

$$e^{-\alpha t} \cdot x(t) \leftrightarrow X(s+\alpha) \quad (3.13)$$

- *derivarea originalului:*

$$\frac{d^n x(t)}{dt^n} \leftrightarrow s^n \cdot X(s) \quad (3.14)$$

- *integrarea originalului:*

$$\int_0^t x(\tau) d\tau \leftrightarrow \frac{X(s)}{s} \quad (3.15)$$

- *comprimarea timpului:*

$$x(\alpha t) \leftrightarrow \frac{1}{\alpha} X\left(\frac{s}{\alpha}\right) \quad (3.16)$$

- *derivarea imaginii:*

$$t \cdot x(t) \leftrightarrow -X'(s) \quad (3.17)$$

- *integrarea imaginii:*

$$\frac{x(t)}{t} \leftrightarrow \int_s^\infty X(r) dr \quad (3.18)$$

- *produsul originalelor:*

$$x_1(t) \cdot x_2(t) \leftrightarrow X_1(s) \otimes X_2(s) \quad (3.19)$$

- *produsul imaginilor:*

$$x_1(t) \otimes x_2(t) \leftrightarrow X_1(s) \cdot X_2(s) \quad (3.20)$$

Transformatele Laplace ale unor semnale folosite în culegere:

$$L\{\gamma(t)\} = \frac{1}{s} \quad (3.21)$$

$$L\{\delta(t)\} = 1 \quad (3.22)$$

$$L\{e^{-\alpha t} \cdot \gamma(t)\} = \frac{1}{s + \alpha} \quad (3.23)$$

$$L\{\sin(\alpha t)\} = \frac{\alpha}{s^2 + \alpha^2} \quad (3.24)$$

$$L\{\cos(\alpha t)\} = \frac{s}{s^2 + \alpha^2} \quad (3.25)$$

Corelația, autocorelația și convoluția

Funcția de corelație între două semnale $x(t)$ și $y(t)$ este:

$$R_{xy}(\tau) = \int_{-\infty}^{\infty} x(t)y(t-\tau)dt \quad (3.26)$$

Funcția de autocorelație a unui semnal $x(t)$ este:

$$R_{xx}(\tau) = \int_{-\infty}^{\infty} x(t)x(t-\tau)dt \quad (3.27)$$

Pentru un SALI caracterizat de funcția pondere $h(t)$, răspunsului $y(t)$ la excitația $x(t)$ se evaluează prin *integrala de convoluție*:

$$y(t) = \int_{-\infty}^t x(\tau)h(t-\tau)d\tau \quad (3.28)$$

Răspunsul permanent al unui SALI

Răspunsul permanent al unui sistem $H(s)$ la excitația periodică $x_T(t)$ în intervalul $(0, T)$ se determină cu relația:

$$y_p(t) = L^{-1} \{ X(s) \cdot H(s) \} - \sum_{\substack{\text{polii} \\ H(s)}} \text{rez} \left\{ \frac{X(s) \cdot H(s)}{1 - e^{-sT}} \cdot e^{st} \right\} \quad (3.29)$$

unde $X(s) = L\{x(t)\}$, iar $x(t)$ este descrierea pe o perioadă a semnalului $x_T(t)$.

Diagramele Bode

Diagramele Bode *elementare* sunt prezentate în *Figura 3.1*, unde caracteristicile reale sunt trasate cu linie întreruptă, iar asimptotele lor – cu linie continuă.

Abaterile caracteristicilor reale față de asimptote sunt maxime la frecvențele de frângere ale asimptotelor:

- pentru funcția elementară $H(s) = (\tau s + 1)^\alpha$, abaterea amplificării reale este de $3dB$, iar a defazajului este de $5,8^\circ$.
- pentru funcția elementară $H(s) = \left(\frac{s^2 + 2\xi\omega_0 s + \omega_0^2}{\omega_0^2} \right)^\alpha$, abaterea caracteristicilor reale de asimptote nu este constantă, ci depinde de valoarea lui ξ .

Principiul diagramelor Bode:

- (1) funcția de sistem $H(s)$ se scrie ca produs de factori elementari (funcțiile de sistem elementare din *Figura 3.1*);
- (2) se reprezintă, pe același grafic, diagramele Bode ale factorilor elementari respectivi;
- (3) prin logaritmare, produsul trece în sumă, deci:
 - amplificarea în [dB] a funcției de sistem va fi suma amplificărilor factorilor elementari;
 - defazajul va fi suma defazajelor introduse de fiecare factor.

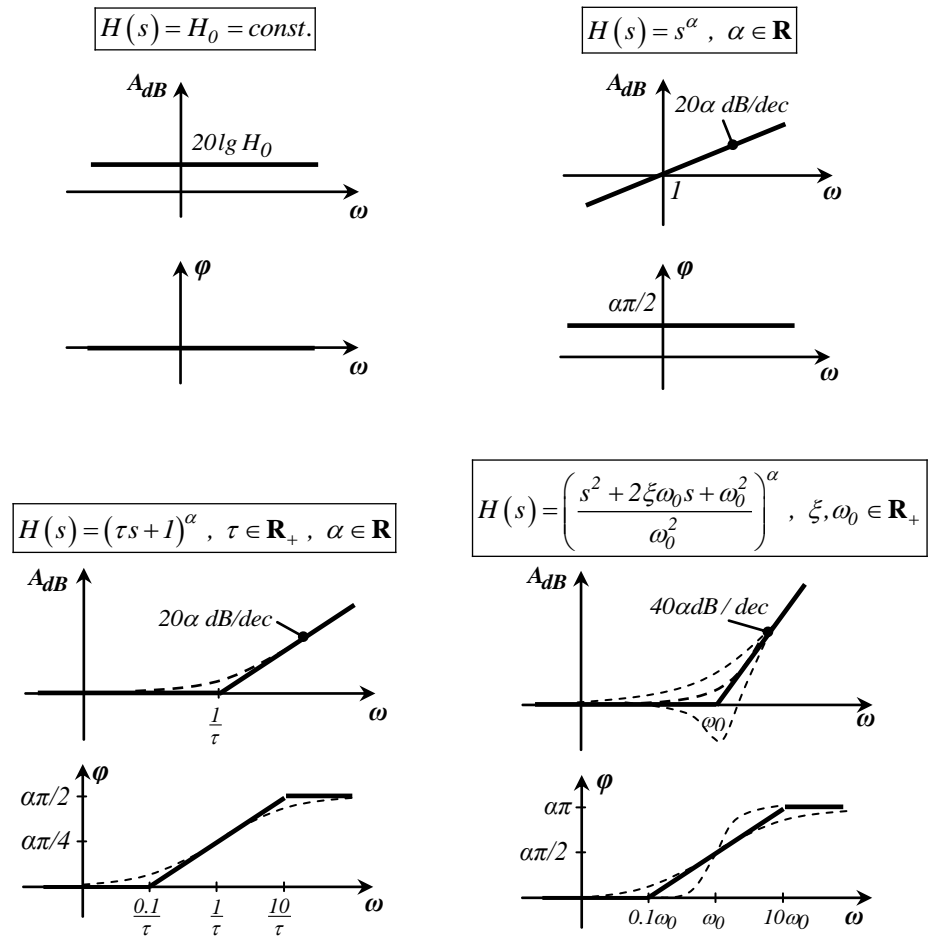


Figura 3.1.

3.2. Enunțuri

P3.1. Determinați amplificarea și defazajul în regim permanent ale SALI caracterizate prin funcțiile de sistem:

(a)
$$H(s) = \frac{s}{s^2 + 2s + 1}$$

(b)
$$H(s) = \frac{s}{(s+1)(s+2)}$$

$$(c) H(s) = \frac{4s}{s^2 + 4s + 4}$$

$$(d) H(s) = \frac{s^2}{s^2 + 2s + 1}$$

P3.2. Determinați răspunsul permanent al SALI caracterizat prin $H(s)$ la excitația $x(t)$, pentru:

$$(a) H(s) = \frac{s}{s+1}, x(t) = \sqrt{8} \cos(t);$$

$$(b) H(s) = \frac{s}{s+2}; x(t) = \sqrt{2} \cos(2t);$$

$$(c) H(s) = \frac{1}{s+3}; x(t) = \sqrt{18} \cos(3t);$$

$$(d) H(s) = \frac{1}{s+1}; x(t) = \sqrt{8} \cos\left(t + \frac{\pi}{4}\right).$$

P3.3. Pentru SALI descrise prin ecuațiile de mai jos, determinați răspunsul în frecvență, amplificarea și defazajul:

$$(a) \frac{d^2 y(t)}{dt^2} + 3 \cdot \frac{dy(t)}{dt} + 2y(t) = 4 \frac{dx(t)}{dt};$$

$$(b) \frac{d^3 y(t)}{dt^3} + \frac{d^2 y(t)}{dt^2} + 4 \cdot \frac{dy(t)}{dt} + y(t) = \frac{d^2 x(t)}{dt^2} + 3 \cdot \frac{dx(t)}{dt}.$$

P3.4. Se consideră un SALI descris prin ecuația diferențială:

$$\frac{dy(t)}{dt} + 5y(t) = x(t)$$

(a) Determinați răspunsul la frecvență, amplificarea și defazajul sistemului.

(b) Determinați răspunsul $y(t)$ al sistemului dacă la intrare se aplică semnalul:

$$x(t) = \cos\left(2t + \frac{\pi}{3}\right)$$

P3.5. Se consideră un SALI descris de ecuația:

$$\frac{d^2 y(t)}{dt^2} + 2 \cdot \frac{dy(t)}{dt} + y(t) = 2 \frac{dx(t)}{dt} + 5x(t)$$

- (a) Determinați răspunsul în frecvență al sistemului.
 (b) Determinați răspunsul sistemului dacă la intrare se aplică semnalul:

$$x(t) = 1 + 2 \cos\left(t + \frac{\pi}{4}\right) - 5 \cos\left(2t + \frac{\pi}{2}\right) + 20 \cos(3t)$$

P3.6. Se consideră un SALI descris prin ecuația diferențială:

$$16 \cdot \frac{d^4 y(t)}{dt^4} + 2 \frac{dy(t)}{dt} + y(t) = 2 \frac{dx(t)}{dt} + x(t)$$

Determinați semnalul $x(t)$ care trebuie aplicat la intrarea sistemului, astfel încât răspunsul să fie : $y(t) = 3 - 2 \cos\left(\frac{t}{2} - \frac{\pi}{3}\right)$.

P3.7. Se consideră un SALI caracterizat prin: $H(j\omega) = \frac{j\omega}{100\pi + j\omega}$. Determinați răspunsul sistemului dacă la intrare se aplică semnalul:

$$x(t) = 2 + 3 \cos\left(100\pi t - \frac{\pi}{2}\right) + 4 \cos\left(200\pi t + \frac{\pi}{4}\right)$$

P3.8. Se consideră un SALI caracterizat de: $H(j\omega) = \frac{j\omega}{20\pi + j\omega}$. Determinați răspunsul sistemului dacă la intrare se aplică semnalul:

$$x(t) = \cos\left(40\pi t - \frac{\pi}{2}\right) - \cos\left(80\pi t - \frac{\pi}{2}\right)$$

P3.9. Se consideră un SALI caracterizat de: $H(j\omega) = \frac{3\omega_0}{\omega_0 + j\omega}$. Determinați semnalul care trebuie aplicat la intrare astfel încât la ieșire să rezulte semnalul:

$$y(t) = 2 + 3 \cos\left(2f_0\pi t - \frac{\pi}{3}\right) + 3 \cos(4f_0\pi t) + 5 \cos(6f_0\pi t + \pi)$$

unde $\omega_0 = 2\pi f_0$.

P3.10. Fie un SALI având funcția de circuit: $H(s) = \frac{2\pi \cdot 10^3}{s + 2\pi \cdot 10^3}$. Determinați răspunsul acestui sistem la semnalul:

$$x(t) = 2 + 3 \cdot \cos\left(2000\pi t - \frac{\pi}{3}\right) + \cos\left(6000\pi t + \frac{\pi}{4}\right) + 2.5 \cdot \cos(10^4 \pi t)$$

P3.11. Se consideră circuitul din *Figura P3.11*, unde semnalul de ieșire este tensiunea pe rezistența R_2 . Determinați:

- funcția de transfer.
- funcția pondere.
- răspunsul indicial prin două metode.
- răspunsul circuitului la excitația $e(t) = e^{-2t} \cdot \gamma(t)$, pentru cazul particular: $R_1 = 2 \Omega$, $R_2 = 3 \Omega$ și $L = 1 H$.

P3.12. Aceeași problemă ca mai sus, dar considerând că semnalul de ieșire este curentul prin bobină.

P3.13. Se consideră circuitul din *Figura P3.13*, unde semnalul de ieșire este curentul prin condensatorul C . Determinați:

- funcția pondere.
- răspunsul indicial prin două metode.
- răspunsul circuitului la excitația $e(t) = e^{-t} \cdot \gamma(t)$, pentru cazul particular: $R_1 = 1 \Omega$, $R_2 = 2 \Omega$ și $C = 1 F$.

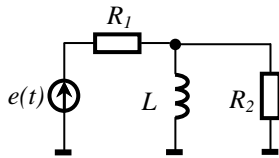


Figura P3.11

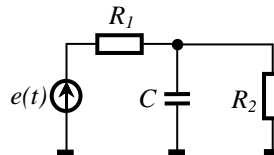


Figura P3.13

P3.14. Aceeași problema ca mai sus, dar considerând că semnalul de ieșire este curentul prin rezistența R_2 .

P3.15. Se consideră circuitul din *Figura P3.15*. Determinați funcția pondere în următoarele cazuri:

- Semnalul de ieșire este curentul prin rezistența R_2 .

(b) Semnalul de ieșire este curentul prin rezistența R_1 .

P3.16. Se consideră circuitul din *Figura P3.16*. Determinați răspunsul indicial în următoarele cazuri:

- (a) Semnalul de ieșire este curentul prin rezistența R_1 .
 (b) Semnalul de ieșire este tensiunea pe bobina L .

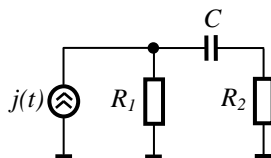


Figura P3.15

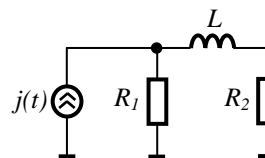


Figura P3.16

P3.17. Pentru circuitul din *Figura P3.17*, determinați:

- (a) amplificarea și defazajul, în funcție de R și C .
 (b) răspunsul circuitului la excitația $e(t) = 2 + 3 \cos\left(10^3 t + \frac{\pi}{4}\right)$, pentru cazul particular: $R = 1 \text{ k}\Omega$ și $C = 1 \mu\text{F}$.

P3.18. Fie circuitul din *Figura P3.18*, unde: $R = 0.5 \text{ k}\Omega$, $L = 4 \mu\text{H}$ și $C = 5 \text{ pF}$.

Se consideră următoarele cazuri:

- (a) semnalul de ieșire este curentul prin rezistența R .
 (b) semnalul de ieșire este curentul prin bobina L .
 (c) semnalul de ieșire este curentul prin condensatorul C .

Pentru fiecare caz, determinați funcția de transfer, frecvența de rezonanță, precizați ce fel de filtru este și determinați frecvențele de tăiere.

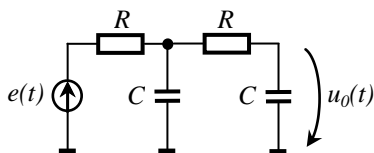


Figura P3.17

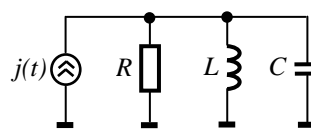


Figura P3.18

P3.19. Pentru circuitul din *Figura P3.19*, determinați:

- (a) funcțiile de sistem $H_1(s) = \frac{U_R(s)}{E(s)}$ și $H_2(s) = \frac{U_L(s)}{E(s)}$, în funcție de R

- și L , unde $u_R(t)$ și $u_L(t)$ sunt tensiunea pe R , respectiv pe L ;
- (b) amplificările și defazajele corespunzătoare celor două funcții de sistem;
- (c) funcțiile pondere corespunzătoare celor două funcții de sistem;
- (d) răspunsurile indiciale corespunzătoare celor două funcții de sistem, prin două metode.
- (e) $u_L(t)$ dacă la intrare se aplică semnalul $e(t) = e^{-t} \cdot \gamma(t)$, pentru cazul particular: $R = 2 \Omega$ și $L = 10 \text{ mH}$.

P3.20. Pentru circuitul din *Figura P3.20* determinați:

- (a) funcția de sistem $H(s) = \frac{U_o(s)}{E(s)}$;
- (b) amplificarea și defazajul.

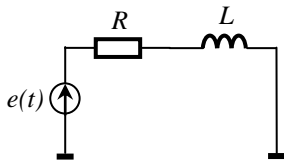


Figura P3.19

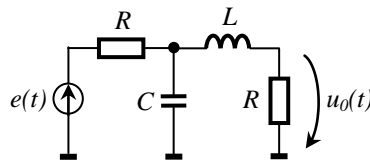


Figura P3.20

P3.21. Determinați funcția de autocorelație a semnalului din *Figura P3.21*.

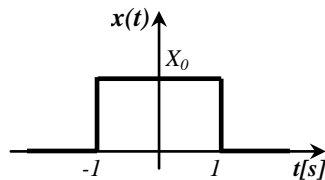


Figura P3.21

P3.22. Determinați răspunsul sistemului caracterizat prin funcția pondere

$$h(t) = e^{-at} \gamma(t) \text{ la impulsul: } x(t) = \begin{cases} X_0, & 0 < t < \theta \\ 0, & \text{în rest} \end{cases} .$$

P3.23. Determinați răspunsul sistemului caracterizat prin funcția pondere

$$h(t) = e^{-t/a} \gamma(t) \text{ la impulsul: } x(t) = \begin{cases} X_0, & 0 < t < \theta \\ 0, & \text{în rest} \end{cases}.$$

P3.24. Determinați răspunsul sistemului caracterizat prin funcția pondere:

$$h(t) = e^{-at} \gamma(t) \text{ la impulsul: } x(t) = \begin{cases} aX_0, & 0 < t < \theta \\ 0, & \text{în rest} \end{cases}.$$

P3.25. Determinați forma compactă a răspunsului sistemului $H(s) = \frac{0.5s}{s+0.5}$, la excitația periodică din *Figura P2.25*.

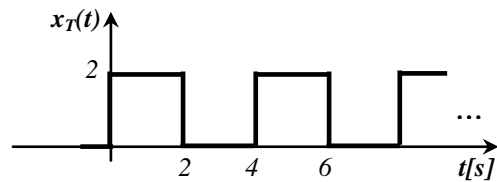


Figura P3.25

P3.26. Determinați forma compactă a răspunsului sistemului $H(s) = \frac{2s}{s+2}$, la excitația periodică din *Figura P3.26*.

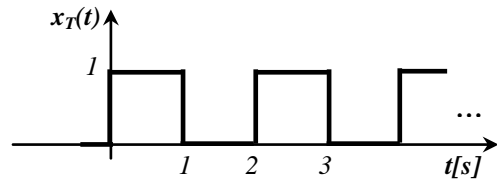


Figura P3.26

P3.27. Determinați forma compactă a răspunsului sistemului: $H(s) = \frac{0.5s}{s+0.5}$, la excitația periodică din *Figura P3.27*.

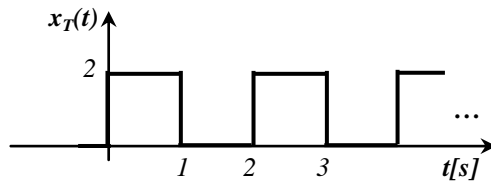


Figura P3.27

P3.28. Determinați forma compactă a răspunsului sistemului: $H(s) = \frac{2s}{s+2}$, la excitația periodică din Figura P3.28.

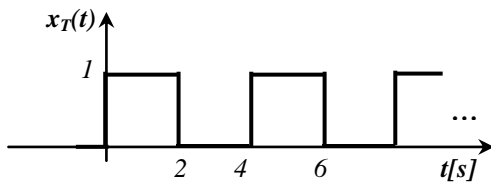


Figura P3.28

P3.29. Reprezentați diagramele Bode ale amplificării și defazajului pentru funcția de sistem: $H(s) = \frac{1}{s+100}$.

P3.30. Reprezentați diagrama Bode a defazajului pentru funcția de sistem:

$$H(s) = \frac{1}{(s+1)(s+10)}$$

P3.31. Reprezentați diagrama Bode a defazajului pentru funcția de sistem:

$$H(s) = \frac{s}{(s+1)(0.1s+1)}$$

P3.32. Reprezentați diagrama Bode a amplificării pentru funcția de sistem:

$$H(s) = \frac{s^2}{(s+1)(0.1s+1)}$$

P3.33. Reprezentați diagrama Bode a defazajului pentru funcția de sistem:

$$H(s) = \frac{s^2}{(s+1)(0.1s+1)}$$

P3.34. Reprezentați diagrama Bode a amplificării pentru funcția de sistem:

$$H(s) = \frac{s+100}{s^2}$$

P3.35. Reprezentați diagrama Bode a defazajului pentru funcția de sistem:

$$H(s) = \frac{10s+1}{s^2(s+1)}$$

P3.36. Reprezentați diagrama Bode a amplificării pentru funcția de sistem:

$$H(s) = \frac{s+10}{10s+1}$$

P3.37. Reprezentați diagrama Bode a defazajului pentru funcția de sistem:

$$H(s) = \frac{s+1}{s(10s+1)}$$

P3.38. Reprezentați diagramele Bode ale amplificării și defazajului pentru funcția de sistem:

$$H(s) = \frac{10s+1}{s}$$

P3.39. Reprezentați diagramele Bode ale amplificării și defazajului pentru funcția de sistem:

$$H(s) = \frac{(s+1)(0.1s+1)}{s^2}$$

P3.40. Trasați caracteristicile reale Bode ale amplitudinii și defazajului pentru funcția de sistem:

$$H(s) = \frac{100}{s^2 + s + 100}$$

P3.41. Se consideră circuitul din *Figura P3.41*, unde $R = 10 \text{ k}\Omega$ și $C = 1 \mu\text{F}$.

- (a) Determinați funcțiile de sistem $H_1(s) = \frac{I_R(s)}{J(s)}$ și $H_2(s) = \frac{I_C(s)}{J(s)}$, unde $i_R(t)$ și $i_C(t)$ sunt curenții prin R , respectiv prin C .
- (b) Trasați diagramele Bode corespunzătoare celor două funcții de sistem determinate la punctul (a).

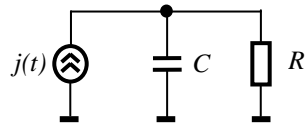


Figura P3.41

P3.42. Reprezentați diagramele Bode pentru funcția de sistem:

$$H(s) = \frac{10^4}{s^2 + 10^4}$$

P3.43. Reprezentați diagramele Bode pentru funcția de sistem:

$$H(s) = \frac{s + 0.1}{s^2 + 1.01s + 0.01}$$

P3.44. Reprezentați diagramele Bode pentru funcția de sistem:

$$H(s) = 0.1s^2 + 0.1s + 0.001$$

P3.45. Reprezentați diagramele Bode pentru funcția de sistem:

$$H(s) = (10s + 1)^{-1} (s^2 + s + 1)^{-1}$$

P3.46. Să se determine funcția de sistem $H(s)$ corespunzătoare diagramelor Bode din Figurile P3.46, (a) – (d).

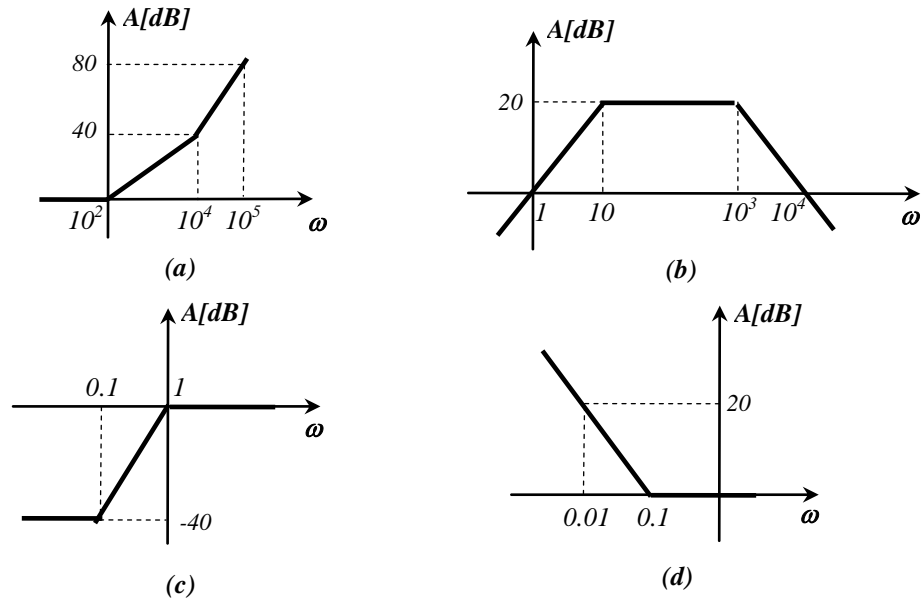


Figura P3.46

3.3. Indicații și soluții

$$\mathbf{S3.1. (a)} \quad A(\omega) = \frac{\omega}{1 + \omega^2}; \quad \varphi(\omega) = \begin{cases} -\frac{\pi}{2} - \arctg \frac{2\omega}{1 - \omega^2}, & \omega \geq 1 \\ \frac{\pi}{2} - \arctg \frac{2\omega}{1 - \omega^2}, & \omega < 1 \end{cases}$$

$$\mathbf{(b)} \quad A(\omega) = \frac{\omega}{\sqrt{(2 - \omega^2)^2 + 9\omega^2}}; \quad \varphi(\omega) = \begin{cases} -\frac{\pi}{2} - \arctg \frac{3\omega}{2 - \omega^2}, & \omega \geq \sqrt{2} \\ \frac{\pi}{2} - \arctg \frac{3\omega}{2 - \omega^2}, & \omega < \sqrt{2} \end{cases}$$

$$(c) A(\omega) = \frac{4\omega}{4+\omega^2}; \varphi(\omega) = \begin{cases} -\frac{\pi}{2} - \operatorname{arctg} \frac{4\omega}{4-\omega^2}, & \omega \geq 2 \\ \frac{\pi}{2} - \operatorname{arctg} \frac{4\omega}{4-\omega^2}, & \omega < 2 \end{cases}$$

$$(d) A(\omega) = \frac{\omega^2}{1+\omega^2}; \varphi(\omega) = \begin{cases} \pi - \operatorname{arctg} \frac{2\omega}{1-\omega^2}, & \omega \geq 1 \\ -\operatorname{arctg} \frac{2\omega}{1-\omega^2}, & \omega < 1 \end{cases}$$

S3.2. Răspunsul unui SALI la un semnal armonic $x(t) = X \cos(\omega_0 t + \varphi_x)$ este tot un semnal armonic, de aceeași frecvență: $y(t) = Y \cos(\omega_0 t + \varphi_y)$, unde $Y = X \cdot A(\omega_0)$ și $\varphi_y = \varphi_x + \varphi(\omega_0)$ (A este amplificarea SALI și φ este defazajul SALI);

$$(a) A(\omega) = \frac{\omega}{\sqrt{\omega^2 + 1}}; \varphi(\omega) = \frac{\pi}{2} - \operatorname{arctg}(\omega); y(t) = 2 \cos\left(t + \frac{\pi}{4}\right);$$

$$(b) A(\omega) = \frac{\omega}{\sqrt{\omega^2 + 4}}; \varphi(\omega) = \frac{\pi}{2} - \operatorname{arctg}\left(\frac{\omega}{2}\right); y(t) = \cos\left(2t + \frac{\pi}{4}\right);$$

$$(c) A(\omega) = \frac{1}{\sqrt{\omega^2 + 9}}; \varphi(\omega) = -\operatorname{arctg}\left(\frac{\omega}{3}\right); y(t) = \cos\left(3t - \frac{\pi}{4}\right);$$

$$(d) A(\omega) = \frac{1}{\sqrt{\omega^2 + 1}}; \varphi(\omega) = -\operatorname{arctg}(\omega); y(t) = 2 \cos(t).$$

$$\mathbf{S3.3. (a)} \quad H(j\omega) = \frac{4j\omega}{-\omega^2 + 3j\omega + 2}; A(\omega) = \frac{4\omega}{\sqrt{\omega^4 + 5\omega^2 + 4}};$$

$$\varphi(\omega) = \begin{cases} \frac{\pi}{2} - \operatorname{arctg} \frac{3\omega}{2-\omega^2}, & \omega \leq \sqrt{2} \\ -\frac{\pi}{2} - \operatorname{arctg} \frac{3\omega}{2-\omega^2}, & \omega > \sqrt{2} \end{cases};$$

$$(b) H(j\omega) = \frac{-\omega^2 + 3j\omega}{-j\omega^3 - \omega^2 + 4j\omega + 1}; A(\omega) = \sqrt{\frac{\omega^4 + 9\omega^2}{\omega^6 - 7\omega^4 + 14\omega^2 + 1}};$$

$$\varphi(\omega) = \begin{cases} \pi - \operatorname{arctg} \frac{3}{\omega} - \operatorname{arctg} \frac{4\omega - \omega^3}{1 - \omega^2}, & \omega \leq 1 \\ -\operatorname{arctg} \frac{3}{\omega} - \operatorname{arctg} \frac{4\omega - \omega^3}{1 - \omega^2}, & \omega > 1 \end{cases}.$$

$$\mathbf{S3.4. (a)} \quad H(j\omega) = \frac{1}{5 + j\omega}; \quad A(\omega) = \frac{1}{\sqrt{25 + \omega^2}}; \quad \varphi(\omega) = -\operatorname{arctg} \frac{\omega}{5}$$

$$\mathbf{(b)} \quad y(t) = \frac{1}{\sqrt{29}} \cos\left(2t + \frac{\pi}{3} - \operatorname{arctg} 0.4\right).$$

$$\mathbf{S3.5. (a)} \quad H(j\omega) = \frac{5 + 2j\omega}{-\omega^2 + 2j\omega + 1};$$

$$\mathbf{(b)} \quad y(t) = 5 + \sqrt{29} \cos(t + \operatorname{arctg} 0.4) - \sqrt{41} \cos\left(2t - \frac{\pi}{2} + \operatorname{arctg} \frac{4}{5} + \operatorname{arctg} \frac{4}{3}\right) + 2\sqrt{61} \cos\left(3t - \pi + \operatorname{arctg} \frac{6}{5} + \operatorname{arctg} \frac{3}{4}\right).$$

$$\mathbf{S3.6.} \quad x(t) = 3 - \sqrt{10} \cos\left(0.5t - \frac{7\pi}{12} + \operatorname{arctg} \frac{1}{2}\right).$$

$$\mathbf{S3.7.} \quad y(t) = \frac{3}{\sqrt{2}} \cdot \cos\left(100\pi t - \frac{\pi}{4}\right) + \frac{8}{\sqrt{5}} \cdot \cos\left(200\pi t + \frac{3\pi}{4} - \operatorname{arctg} 2\right).$$

$$\mathbf{S3.8.} \quad y(t) = \frac{2}{\sqrt{5}} \cos(40\pi t - \operatorname{arctg} 2) - \frac{4}{\sqrt{17}} \cos(80\pi t - \operatorname{arctg} 4).$$

$$\mathbf{S3.9.} \quad x(t) = \frac{2}{3} + \sqrt{2} \cos\left(2f_0\pi t - \frac{\pi}{12}\right) + \sqrt{5} \cos(4f_0\pi t + \operatorname{arctg} 2) + \frac{5\sqrt{10}}{3} \cos(6f_0\pi t + \pi + \operatorname{arctg} 3)$$

$$\mathbf{S3.10.} \quad y(t) = 2 + \frac{3}{\sqrt{2}} \cdot \cos\left(2000\pi t - \frac{7\pi}{12}\right) + \frac{1}{\sqrt{10}} \cdot \cos\left(6000\pi t + \frac{\pi}{4} - \operatorname{arctg} 3\right) + \frac{2.5}{\sqrt{26}} \cdot \cos\left(10^4\pi t - \operatorname{arctg} 5\right).$$

S3.11. (a) Se aplică relația de la divizorul de tensiune: $H(s) = \frac{Z_p}{Z_p + R_1}$, unde

$$Z_p = \frac{sL \cdot R_2}{sL + R_2}. \text{ Rezultă: } H(s) = \frac{sLR_2}{sL(R_1 + R_2) + R_1R_2}.$$

(b) $H(s)$ se scrie astfel: $H(s) = \frac{R_2}{R_1 + R_2} \cdot \frac{s}{s + \tau^{-1}}$, unde $\tau = \frac{L(R_1 + R_2)}{R_1R_2}$.

$$\text{Rezultă: } h(t) = \frac{R_2}{R_1 + R_2} \cdot L^{-1} \left\{ 1 - \frac{\tau^{-1}}{s + \tau^{-1}} \right\} = \frac{R_2}{R_1 + R_2} \left[\delta(t) - \frac{1}{\tau} \cdot e^{-\frac{t}{\tau}} \cdot \gamma(t) \right].$$

(c) Metoda I: $a(t) = L^{-1} \left\{ \frac{H(s)}{s} \right\} = \frac{R_2}{R_1 + R_2} \cdot e^{-\frac{t}{\tau}} \cdot \gamma(t)$;

$$\text{Metoda II: } a(t) = \int_0^t h(\tau) d\tau.$$

(d) $y(t) = L^{-1} \{ H(s) \cdot E(s) \} = L^{-1} \left\{ \frac{H(s)}{s+2} \right\} = (1.5 \cdot e^{-2t} - 0.9 \cdot e^{-1.2t}) \cdot \gamma(t)$.

S3.12. (a) $H(s) = \frac{I_L(s)}{E(s)} = \frac{U_L(s)}{E(s)} \cdot \frac{1}{sL}$, iar $\frac{U_L(s)}{E(s)}$ este f.d.s. determinată la

soluția S.3.11. Rezultă: $H(s) = \frac{R_2}{L(R_1 + R_2)} \cdot \frac{1}{s + \tau^{-1}}$, unde $\tau = \frac{L(R_1 + R_2)}{R_1R_2}$.

(b) $h(t) = \frac{R_2}{L(R_1 + R_2)} \cdot e^{-\frac{t}{\tau}} \cdot \gamma(t)$; **(c)** $a(t) = \frac{1}{R_1} \left(1 - e^{-\frac{t}{\tau}} \right) \cdot \gamma(t)$;

(d) $y(t) = 0.75 \left[e^{-1.2t} - e^{-2t} \right] \cdot \gamma(t)$.

S3.13. (a) $H(s) = \frac{I_c(s)}{E(s)} = \frac{U_C(s) \cdot sC}{E(s)}$, apoi se folosește relația de la divizorul de

tensiune: $U_C(s) = \frac{Z_p}{Z_p + R_1} \cdot E(s)$, unde $Z_p = \frac{R_2}{1 + sR_2C}$. Rezultă în final:

$$H(s) = \frac{1}{R_1} \cdot \frac{s}{s + \tau^{-1}}, \text{ unde } \tau = \frac{R_1R_2C}{R_1 + R_2}. \text{ Rezultă: } h(t) = \frac{1}{R_1} \left[\delta(t) - \frac{1}{\tau} \cdot e^{-\frac{t}{\tau}} \cdot \gamma(t) \right].$$

$$(b) a(t) = \frac{I}{R_1} e^{-\frac{t}{\tau}} \cdot \gamma(t); \quad (c) y(t) = [3e^{-1.5t} - 2e^{-t}] \cdot \gamma(t).$$

$$\mathbf{S3.14. (a)} \quad h(t) = \frac{I}{R_1 R_2 C} \cdot e^{-\frac{t}{\tau}} \cdot \gamma(t), \quad \text{unde } \tau = \frac{R_1 R_2 C}{R_1 + R_2};$$

$$(b) a(t) = \frac{I}{R_1 + R_2} \left(1 - e^{-\frac{t}{\tau}} \right) \cdot \gamma(t); \quad (c) y(t) = (e^{-t} - e^{-1.5t}) \cdot \gamma(t).$$

$$\mathbf{S3.15. (a)} \quad H(s) = \frac{I R_2(s)}{J(s)}, \quad \text{se aplică relația de la divizorul de curent și rezultă:}$$

$$H(s) = \frac{R_1}{Z_s + R_1}, \quad \text{unde } Z_s = R_2 + \frac{I}{sC}. \quad \text{Rezultă în final: } H(s) = \frac{R_1}{R_1 + R_2} \cdot \frac{s}{s + \tau^{-1}},$$

$$\text{unde } \tau = C(R_1 + R_2). \quad \text{Rezultă: } h(t) = \frac{R_1}{R_1 + R_2} \left[\delta(t) - \frac{I}{\tau} \cdot e^{-\frac{t}{\tau}} \cdot \gamma(t) \right];$$

$$(b) H(s) = \frac{I R_1(s)}{J(s)}, \quad \text{se aplică relația de la divizorul de curent și rezultă:}$$

$$H(s) = \frac{sC R_2 + 1}{sC(R_1 + R_2) + 1} = \frac{I}{R_1 + R_2} \left(R_2 + \frac{R_1}{\tau} \cdot \frac{I}{s + \tau^{-1}} \right). \quad \text{Rezultă funcția pondere:}$$

$$h(t) = \frac{I}{R_1 + R_2} \cdot \left[R_2 \cdot \delta(t) + \frac{R_1}{\tau} \cdot e^{-\frac{t}{\tau}} \cdot \gamma(t) \right].$$

$$\mathbf{S3.16. (a)} \quad H(s) = \frac{sL + R_2}{sL + R_1 + R_2}; \quad a(t) = \frac{I}{R_1 + R_2} \left[R_2 + R_1 \cdot e^{-\frac{t}{\tau}} \right] \cdot \gamma(t), \quad \text{unde}$$

$$\tau = \frac{L}{R_1 + R_2}; \quad (b) H(s) = R_1 \cdot \frac{s}{s + \tau^{-1}}; \quad a(t) = R_1 \cdot e^{-\frac{t}{\tau}} \cdot \gamma(t).$$

S3.17. (a) Se notează cu M nodul de la intersecția celor trei laturi care conțin rezistoarele și respectiv condensatorul din stânga. Se aplică relația de la divizorul

de tensiune: $U_M(s) = \frac{Z_p}{Z_p + R} \cdot E(s)$, unde $Z_p = \left(R + \frac{I}{sC} \right) \parallel \left(\frac{I}{sC} \right)$. Apoi se aplică

din nou divizorul de tensiune: $U_0(s) = \frac{1}{1+sRC} \cdot U_M(s)$. Rezultă în final f.d.s:

$$H(s) = \frac{1}{s^2\tau^2 + 3s\tau + 1}, \text{ unde } \tau = RC. \text{ De aici rezultă amplificarea și defazajul:}$$

$$A(\omega) = \frac{1}{\sqrt{\omega^4\tau^4 + 7\omega^2\tau^2 + 1}}; \quad \varphi(\omega) = \begin{cases} -\operatorname{arctg} \frac{3\omega\tau}{1-\omega^2\tau^2}, & 0 < \omega \leq \frac{1}{\tau} \\ -\pi - \operatorname{arctg} \frac{3\omega\tau}{1-\omega^2\tau^2}, & \omega > \frac{1}{\tau} \end{cases}.$$

$$(b) u_0(t) = 2 + \cos\left(10^3 t - \frac{\pi}{4}\right).$$

S3.18. (a) $H(s) = \frac{sL}{s^2RLC + sL + R}$; este un FTB. Pentru determinarea frecvenței de rezonanță, $H(s)$ se echivalează cu forma generală a funcției de sistem pentru un FTB de ordinul II:

$$H(s) = \frac{2\xi\omega_0 s}{s^2 + 2\xi\omega_0 s + \omega_0^2} \quad (S3.1)$$

unde ω_0 este frecvența de rezonanță, iar ξ este factorul de amortizare. Rezultă:

$$\omega_0 = \frac{1}{\sqrt{LC}}. \text{ Frecvențele de tăiere (inferioară și superioară) rezultă punând}$$

condiția: $A(\omega) = \frac{1}{\sqrt{2}} \cdot A_{max}$; pentru FTB: $A_{max} = A(\omega_0)$. Rezultă ecuația:

$$\omega^4 \cdot 10^{-28} - \omega^2 \cdot 26 \cdot 10^{-12} + 0.25 \cdot 10^6 = 0$$

cu soluțiile: $\omega_i = 10^8 \text{ rad/s}$ și $\omega_s = 5 \cdot 10^8 \text{ rad/s}$.

(b) $H(s) = \frac{R}{s^2RLC + sL + R}$; este un FTJ. $H(s)$ se echivalează cu forma generală a funcției de sistem pentru un FTJ de ordinul II:

$$H(s) = \frac{\omega_0^2}{s^2 + 2\xi\omega_0 s + \omega_0^2} \quad (S3.2)$$

de unde rezultă: $\omega_0 = \frac{1}{\sqrt{LC}}$. Pentru FTJ: $A_{max} = A(0)$, rezultă frecvența de tăiere:

$$\omega_t = \sqrt{\sqrt{34} - 3} \cdot 10^8 \text{ rad/s}.$$

(c) $H_2(s) = \frac{s^2 RLC}{s^2 RLC + sL + R}$; este un FTS. $H(s)$ se echivalează cu forma generală a funcției de sistem pentru un FTS de ordinul II:

$$H(s) = \frac{s^2}{s^2 + 2\xi\omega_0 s + \omega_0^2} \quad (\text{S3.3})$$

Rezultă: $\omega_0 = \frac{1}{\sqrt{LC}}$. Pentru FTS: $A_{max} = A(\infty)$, rezultă frecvența de tăiere:

$$\omega_t = \sqrt{\sqrt{34} - 3} \cdot 10^8 \text{ rad/s}.$$

$$\text{S3.19. (a)} \quad H_1(s) = \frac{U_R(s)}{E(s)} = \frac{R}{sL + R}; \quad H_2(s) = \frac{U_L(s)}{E(s)} = \frac{sL}{sL + R}$$

$$\text{(b)} \quad A_1(\omega) = \frac{R}{\sqrt{R^2 + \omega^2 L^2}}; \quad \varphi_1(\omega) = -\arctg \frac{\omega L}{R}; \quad A_2(\omega) = \frac{\omega L}{\sqrt{R^2 + \omega^2 L^2}};$$

$$\varphi_2(\omega) = \frac{\pi}{2} - \arctg \frac{\omega L}{R}; \quad \text{(c)} \quad h_1(t) = \frac{R}{L} \cdot e^{-\frac{R}{L}t} \cdot \gamma(t); \quad h_2(t) = \delta(t) - \frac{R}{L} \cdot e^{-\frac{R}{L}t} \cdot \gamma(t);$$

$$\text{(d)} \quad a_1(t) = \left(1 - e^{-\frac{R}{L}t}\right) \cdot \gamma(t); \quad a_2(t) = e^{-\frac{R}{L}t} \cdot \gamma(t);$$

$$\text{(e)} \quad u_L(t) = 0.25 \cdot [5 \cdot e^{-10^3 t} - e^{-2 \cdot 10^2 t}] \cdot \gamma(t).$$

$$\text{S3.20. (a)} \quad H(s) = \frac{R}{s^2 RLC + s(R^2 C + L) + 2R};$$

$$\text{(b)} \quad A(\omega) = \frac{R}{\sqrt{(2R - \omega^2 RLC)^2 + \omega^2 (R^2 C + L)^2}}$$

$$\varphi(\omega) = \begin{cases} -\operatorname{arctg} \frac{\omega(R^2C + L)}{R(2 - \omega^2LC)}, & 0 < \omega < \sqrt{\frac{2}{LC}} \\ -\pi - \operatorname{arctg} \frac{\omega(R^2C + L)}{R(2 - \omega^2LC)}, & \omega > \sqrt{\frac{2}{LC}} \end{cases}$$

S3.21. Funcția de autocorelație se determină cu relația (3.27).

Cazul I: $\tau < 0$ (Figura S3.21 – graficul din mijloc):

Funcția $R_{xx} \neq 0$ doar dacă $1 + \tau > -1$. În acest caz, rezultă:

$$R_{xx}(\tau) = \int_{-1}^{1+\tau} X_0^2 dt = X_0^2(2 + \tau)$$

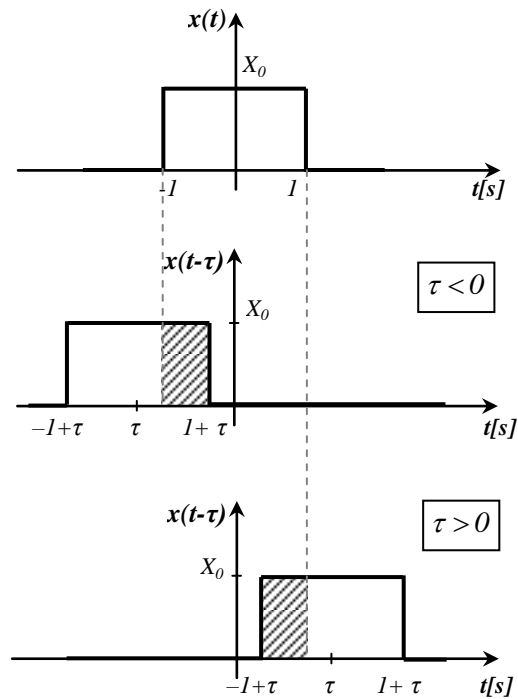


Figura S3.21

Cazul II: $\tau > 0$ (Figura S3.21 – graficul de jos)

Funcția $R_{xx} \neq 0$ doar dacă $-1 + \tau < 1$. În acest caz, rezultă:

$$R_{xx}(\tau) = \int_{-1+\tau}^1 X_0^2 dt = X_0^2(2 - \tau)$$

În concluzie, funcția de autocorelație va avea expresia:

$$R_{xx}(\tau) = \begin{cases} X_0^2(2 + \tau), & -2 < \tau \leq 0 \\ X_0^2(2 - \tau), & 0 < \tau < 2 \\ 0, & \text{în rest} \end{cases}$$

S3.22. Răspunsului $y(t)$ al unui SALI caracterizat prin $h(t)$ la excitația $x(t)$ se evaluează cu relația (3.28). Se consideră următoarele trei cazuri (Figura S3.22):

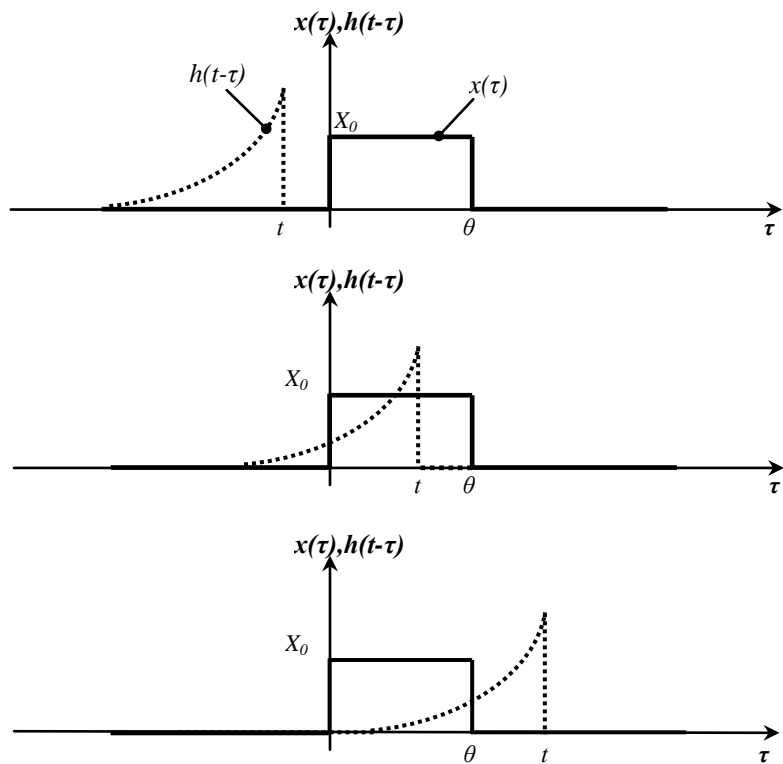


Figura S3.22

- Pentru $t < 0$, rezultă: $y(t) = 0$
- Pentru $0 < t < \theta$, rezultă: $y(t) = \int_0^t x(\tau)h(t-\tau)d\tau = \frac{X_0}{a}(1 - e^{-at})$
- Pentru $t > \theta$, rezultă: $y(t) = \int_0^\theta x(\tau)h(t-\tau)d\tau = \frac{X_0}{a} \cdot e^{-at}(e^{a\theta} - 1)$

Deci răspunsul este:

$$y(t) = \begin{cases} \frac{X_0}{a}(1 - e^{-at}) & , \quad 0 < t < \theta \\ \frac{X_0}{a} \cdot e^{-at}(e^{a\theta} - 1) & , \quad t > \theta \end{cases}$$

$$\mathbf{S3.23.} \quad y(t) = \begin{cases} aX_0 \left(1 - e^{-\frac{t}{a}}\right) & , \quad 0 < t < \theta \\ aX_0 \cdot e^{-\frac{t}{a}} \left(e^{\frac{\theta}{a}} - 1\right) & , \quad t > \theta \end{cases}$$

$$\mathbf{S3.24.} \quad y(t) = \begin{cases} X_0(1 - e^{-at}) & , \quad 0 < t < \theta \\ X_0 \cdot e^{-at}(e^{a\theta} - 1) & , \quad t > \theta \end{cases}$$

S3.25. Semnalul periodic de la intrare se poate scrie: $x_T(t) = \sum_{k=0}^{\infty} x(t - kT)$, unde

$x(t)$ reprezintă descrierea pe o perioadă a semnalului $x_T(t)$ (Figura S3.25).

Răspunsul permanent al sistemului la excitația periodică $x_T(t)$ în intervalul $(0, T)$ se determină cu relația (3.29). Avem succesiv:

$$x(t) = 2\gamma(t) - 2\gamma(t-2) \Rightarrow X(s) = 2 \cdot \frac{1 - e^{-2s}}{s}$$

$$L^{-1}\{X(s) \cdot H(s)\} = L^{-1}\left\{\frac{1}{s+0.5} - \frac{1}{s+0.5} \cdot e^{-2s}\right\} = e^{-\frac{t}{2}} \cdot \gamma(t) - e^{-\frac{t-2}{2}} \cdot \gamma(t-2)$$

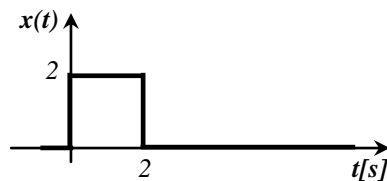


Figura S3.25

Deoarece $H(s)$ are un singur pol $p_1 = -0.5$, suma reziduurilor în polii lui $H(s)$ va conține un singur termen. Rezultă:

$$\sum_{\substack{\text{polii} \\ H(s)}} \text{rez} \left\{ \frac{X(s)H(s)}{1 - e^{-sT}} \cdot e^{st} \right\} = \text{rez}_{p_1} \left\{ \frac{X(s)H(s)}{1 - e^{-sT}} \cdot e^{st} \right\} = \lim_{s \rightarrow -0.5} \frac{1 - e^{-2s}}{1 - e^{-4s}} \cdot e^{st} = \frac{e^{-0.5t}}{1 + e}$$

Rezultă expresia finală a răspunsului permanent a circuitului:

$$y_p(t) = \begin{cases} \frac{e}{1+e} e^{-0.5t}; & 0 < t < 2 \\ -\frac{e^2}{1+e} e^{-0.5t}; & 2 < t < 4 \end{cases}$$

$$\text{S3.26. } y_p(t) = \begin{cases} \frac{2e^2}{1+e^2} e^{-2t}; & 0 < t < 1 \\ -\frac{2e^4}{1+e^2} e^{-2t}; & 1 < t < 2 \end{cases}$$

$$\text{S3.27. } y_p(t) = \begin{cases} \frac{e^{0.5}}{1+e^{0.5}} e^{-0.5t}; & 0 < t < 1 \\ -\frac{e}{1+e^{0.5}} e^{-0.5t}; & 1 < t < 2 \end{cases}$$

$$\text{S3.28. } y_p(t) = \begin{cases} \frac{2e^4}{1+e^4} e^{-2t}; & 0 < t < 2 \\ -\frac{2e^8}{1+e^4} e^{-2t}; & 2 < t < 4 \end{cases}$$

S3.29. vezi Figura S3.29.

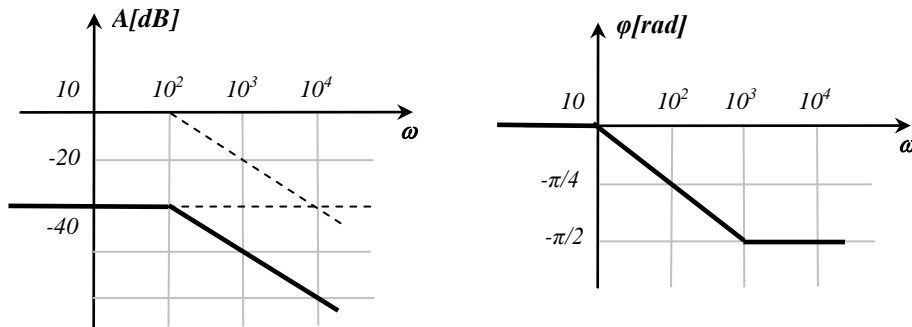


Figura S3.29

S3.30. vezi Figura S3.30.

S3.31. vezi Figura S3.31.

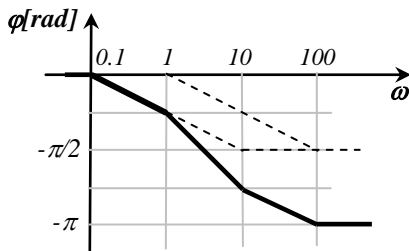


Figura S3.30

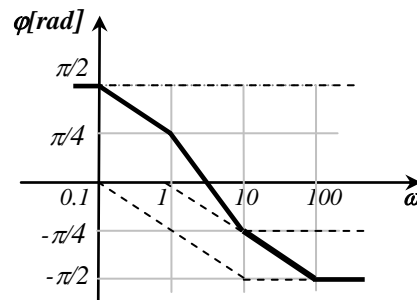


Figura S3.31

S3.32. vezi Figura S3.32.

S3.33. vezi Figura S3.33.

S3.34. vezi Figura S3.34.

S3.35. vezi Figura S3.35.

S3.36. vezi Figura S3.36.

S3.37. vezi Figura S3.37.

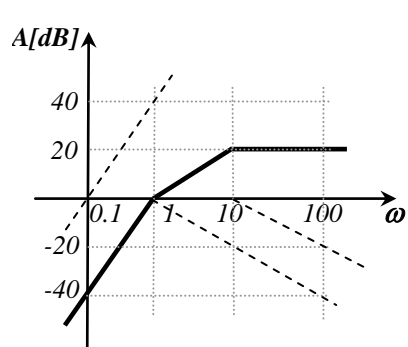


Figura S3.32

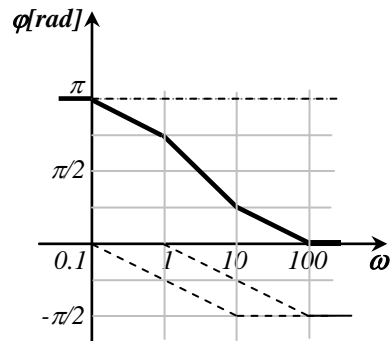


Figura S3.33

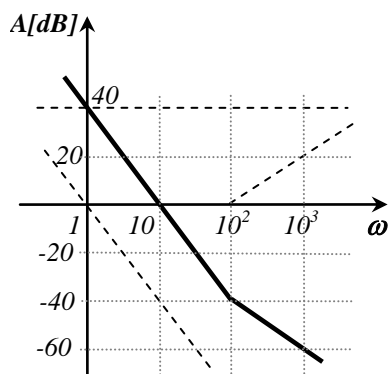


Figura S3.34

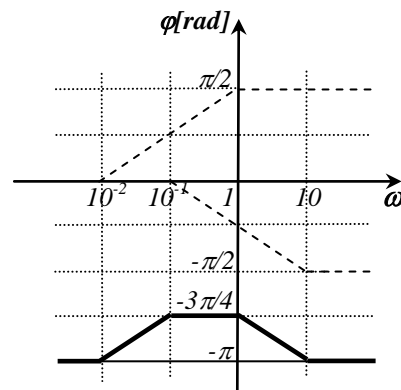


Figura S3.35

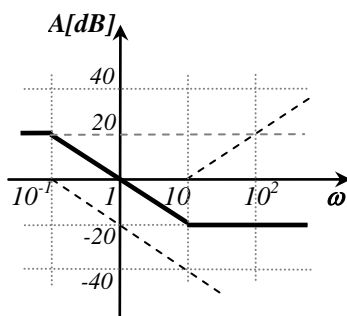


Figura S3.36

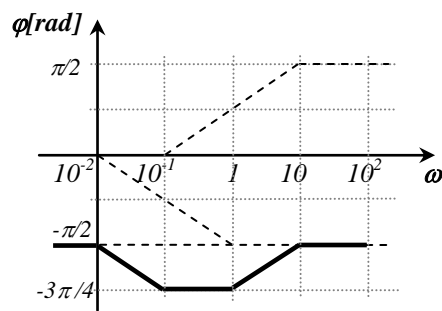


Figura S3.37

S3.38. vezi Figura S3.38.

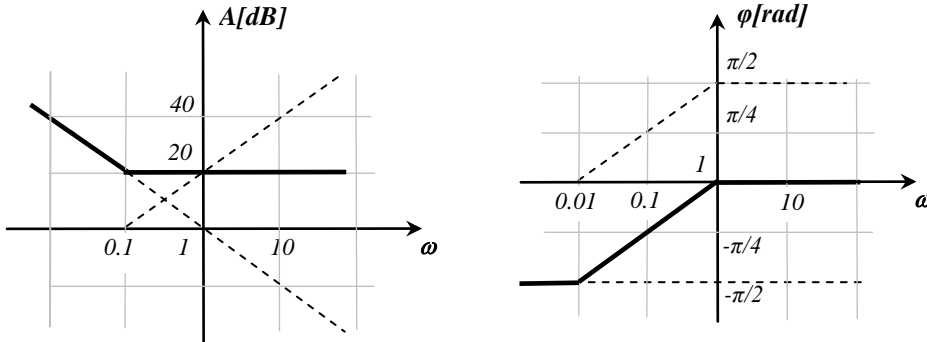


Figura S3.38

S3.39. vezi Figura S3.39.

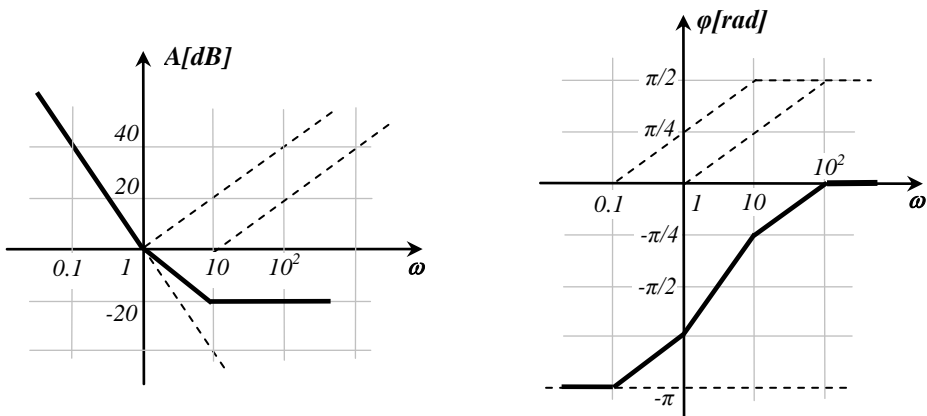


Figura S3.39

S3.40. vezi Figura S3.40;

$$A_{dB}(10) = 20 \text{ dB}, \quad \varphi(1) = -0.0031\pi, \quad \varphi(100) = -0.997\pi$$

S3.41. (a) $H_1(s) = \frac{1}{1+s \cdot 10^{-2}}$; $H_2(s) = \frac{s \cdot 10^{-2}}{1+s \cdot 10^{-2}}$. (b) vezi Figura S3.41.

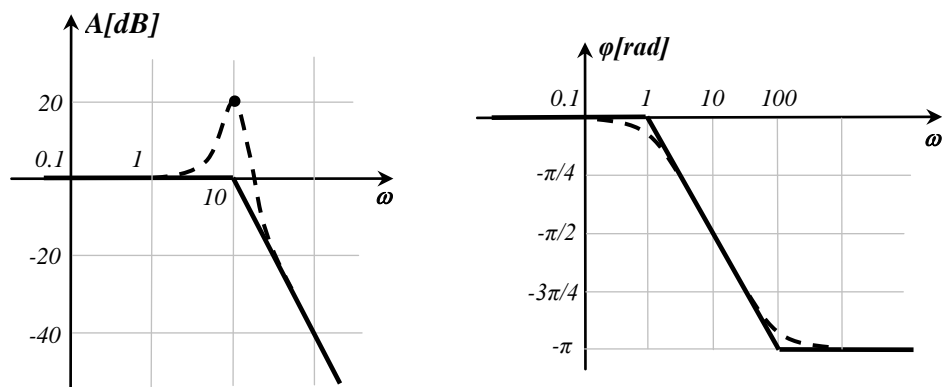


Figura S3.40

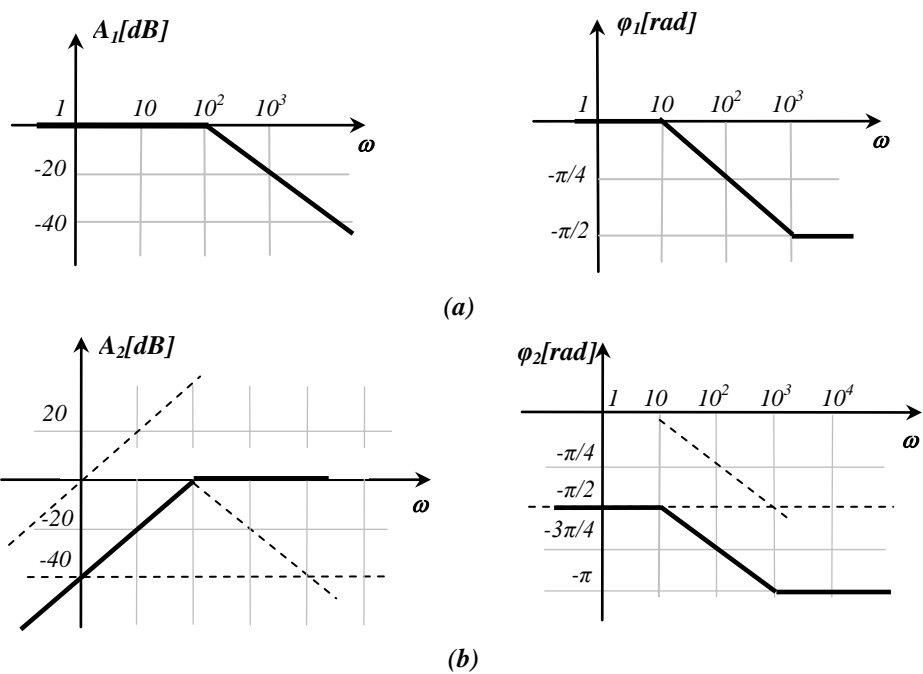


Figura S3.41

S3.42. Vezi Figura S3.42: se trasează asimptotele (cu linie continuă); se determină punctele prin care trece caracteristica reală (trasată cu line întreruptă):

$$A(\omega) = \frac{10^4}{|10^4 - \omega^2|}; \quad A(10^2) = \infty; \quad \varphi(\omega) = \arg \left\{ \frac{10^4}{10^4 - \omega^2} \right\} = \begin{cases} 0, & \text{dacă } \omega < 10^2 \\ -\pi, & \text{dacă } \omega > 10^2 \end{cases}$$

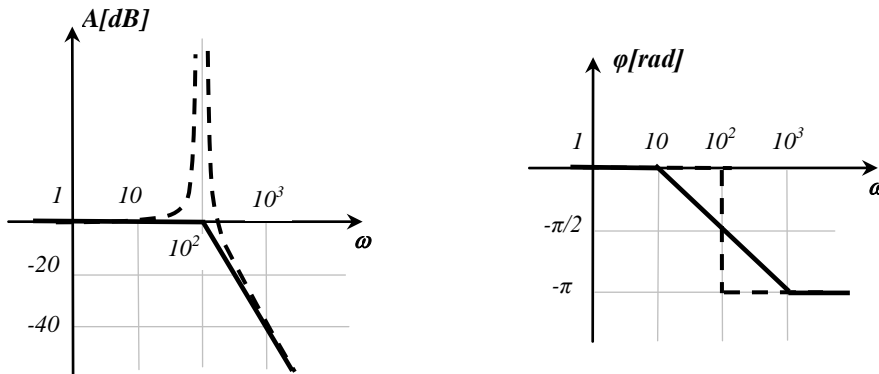


Figura S3.42

S3.43. vezi Figura S3.43.

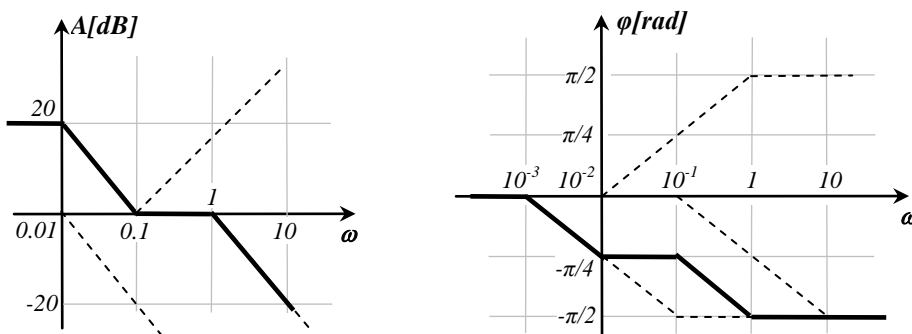


Figura S3.43

S3.44. vezi Figura S3.44;

$$H(s) = 10^{-3} \cdot \frac{s^2 + s + 10^{-2}}{10^{-2}} \Rightarrow \omega_0 = 10^{-1};$$

$$A_{dB}(10^{-1}) = -40 \text{ dB}, \quad \varphi(10^{-2}) = 0.2516\pi, \quad \varphi(1) = -0.7483\pi$$

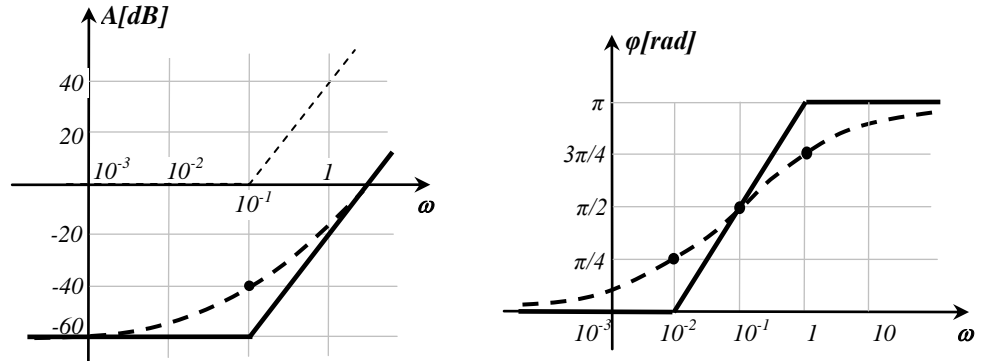


Figura S3.44

S3.45. vezi Figura S3.45.

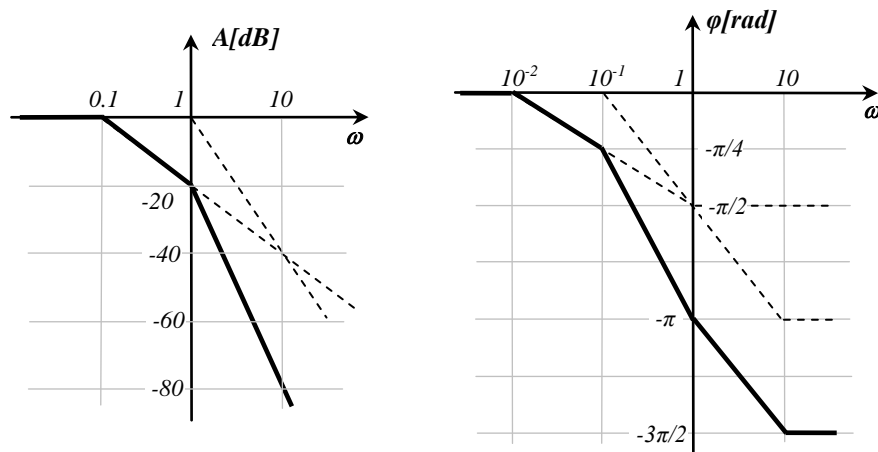


Figura S3.45

S3.46. (a) Amplificarea este nulă până la frecvența $\omega = 10^2$, apoi crește cu 20 dB/dec , ceea ce corespunde unei f.d.s. de tipul $\tau s + 1$, cu $\tau = 10^{-2}$. După $\omega = 10^4$ urmează o creștere cu 40 dB/dec , deci la panta inițială se mai adaugă o creștere de 20 dB/dec , ceea ce corespunde unei f.d.s. tot de tipul $\tau s + 1$, dar cu $\tau = 10^{-4}$. În concluzie, $H(s) = (10^{-2}s + 1)(10^{-4}s + 1)$.

(b) Pentru $\omega < 10$, amplificarea crește cu 20 dB/dec , trecând prin $\omega = 1$, ceea ce corespunde unei f.d.s. de tipul s . După $\omega = 10$, amplificarea e constantă, acest lucru însemnând că începând cu această frecvență, la panta inițială se adaugă o pantă de -20 dB/dec , ceea ce corespunde unei f.d.s. de tipul $\frac{1}{\tau s + 1}$, cu $\tau = 10^{-1}$.

Din $\omega = 10^3$, amplificarea scade cu 20 dB/dec , corespunzător unei f.d.s. de tipul $\frac{1}{\tau s + 1}$, cu $\tau = 10^{-3}$. Rezultă în concluzie: $H(s) = \frac{s}{(0.1s + 1)(10^{-3}s + 1)}$.

(c) Amplificarea este constantă și egală cu -40 dB până la $\omega = 0.1$, deci este vorba de o f.d.s. de tip constantă: $H_0 = \frac{1}{100}$ ($20 \lg H_0 = -40 \text{ dB}$). De la $\omega = 0.1$ are loc

o creștere cu 40 dB/dec , ceea ce corespunde unei f.d.s. de tipul $(\tau s + 1)^2$, cu $\tau = 10$. Pentru $\omega > 1$, amplificarea este nulă, deci la panta inițială de 40 dB/dec s-a adăugat o scădere de 40 dB/dec , ceea ce corespunde unei f.d.s. de tipul

$\frac{1}{(\tau s + 1)^2}$, cu $\tau = 1$. Rezultă deci: $H(s) = \frac{(10s + 1)^2}{100(s + 1)^2}$.

(d) Amplificarea scade cu o pantă de -20 dB/dec , corespunzător unei f.d.s. de tipul $\frac{1}{s}$. Nu trece însă prin $\omega > 1$, ci cu o decadă înainte, prin $\omega > 0.1$, deci

dreapta corespunzătoare f.d.s. $\frac{1}{s}$ a coborât cu 20 dB , ceea ce înseamnă o înmulțire

a f.d.s. cu 10^{-1} ($20 \lg 10^{-1} = -20 \text{ dB}$). Pentru $\omega > 0.1$, amplificarea e constantă, ceea ce înseamnă că la panta inițială de -20 dB/dec s-a adăugat o creștere de 20 dB/dec , corespunzător unei f.d.s. de tipul $\tau s + 1$, cu $\tau = 10$. Rezultă:

$H(s) = \frac{10s + 1}{10s}$.

Capitolul 4 SEMNALE EȘANTIONATE

4.1. Breviar teoretic

Un semnal eșantionat se obține prin extragerea de eșantioane din semnalul analogic. În cazul eșantionării *ideale*, durata unui eșantion tinde la zero.

Eșantionarea ideală poate fi reprezentată matematic prin relația:

$$x_T(t) = x(t) \cdot \delta_T(t) \quad (4.1)$$

unde $x_T(t)$ este semnalul eșantionat, $x(t)$ este semnalul analogic, iar $\delta_T(t)$ este semnalul delta-periodic.

Spectrul semnalului eșantionat

Spectrul semnalului eșantionat ideal este dat de relația:

$$X_T(f) = \frac{1}{T} \sum_{n=-\infty}^{\infty} X(f - nf_p) \quad (4.2)$$

unde $X(f)$ este transformata Fourier a semnalului analogic, f_p este frecvența de eșantionare și $T = \frac{1}{f_p}$.

Teorema eșantionării: pentru a fi posibilă reconstituirea semnalului eșantionat din semnalul analogic, frecvența de eșantionare trebuie să fie mai mare decât dublul frecvenței maxime din spectrul semnalului analogic.

Reconstituirea semnalului analogic

Reconstituirea semnalului analogic din semnalul eșantionat se poate face prin *extrapolare* de ordin zero sau unu.

Extrapolatorul de ordinul zero realizează o aproximare în trepte a semnalului analogic și lucrează pe baza relației:

$$x_r(t) = x(kT) \quad (4.3)$$

pentru $t \in [kT, (k+1)T)$.

Extrapolatorul de ordinul unu lucrează pe baza relației:

$$x_r(t) = x(kT) + \frac{1}{T} [x(kT) - x[(k-1)T]] \cdot (t - kT) \quad (4.4)$$

pentru $t \in [kT, (k+1)T)$.

Semnalul reconstituit este dat de expresia:

$$x_r(t) = \sum_{k=-\infty}^{\infty} x(kT) Sa[\pi f_p(t - kT)] \quad (4.5)$$

unde termenii sumei reprezintă contribuțiile eșantioanelor de ordin k .

4.2. Enunțuri

P4.1. Reprezentați semnalul $x(t) = \sin(2000\pi t)$ eșantionat ideal cu frecvența de eșantionare 8 kHz .

P4.2. Reprezentați semnalul: $x(t) = 2 \cos\left(\pi t + \frac{\pi}{2}\right)$ eșantionat ideal cu frecvența de eșantionare 8 Hz .

P4.3. Ce condiție trebuie să îndeplinească frecvența de eșantionare pentru ca semnalul $x(t) = 3 - 5 \cos\left(2000\pi t + \frac{\pi}{6}\right) + 3 \cos(2500\pi t)$ să poată fi reconstituit din eșantioanele sale?

P4.4. Ce condiție trebuie să îndeplinească frecvența de eșantionare pentru ca semnalul $x(t) = 2 \cos\left(4000\pi t + \frac{\pi}{4}\right) + \cos(2000\pi t - \pi) - 3 \cos\left(1000\pi t + \frac{\pi}{2}\right)$ să poată fi reconstituit din eșantioanele sale?

P4.5. Semnalul $x(t) = \cos(4\pi t) + 2\cos(2\pi t)$ este eșantionat ideal cu perioada 200 ms . Reprezentați spectrul de amplitudini al semnalului.

P4.6. Semnalul $x(t) = \sum_{n=0}^4 (-1)^n \cdot (n+1) \cdot \cos(2000n\pi t)$ este eșantionat ideal cu frecvența de eșantionare f_p .

- (a) În ce domeniu de frecvențe se poate afla f_p astfel încât semnalul $x(t)$ să poată fi reconstituit fără distorsiuni din semnalul eșantionat?
 (b) Pentru $f_p = 9\text{kHz}$, reprezentați spectrul semnalului eșantionat.

P4.7. Se consideră schema bloc din Figura P4.7, unde:

$$x(t) = 2 + 2 \cdot \cos\left(200\pi t + \frac{\pi}{4}\right) + 3 \cdot \cos\left(300\pi t - \frac{\pi}{2}\right)$$

- (a) Reprezentați spectrul semnalului $y(t)$.
 (b) Scrieți expresia semnalului $y(t)$.

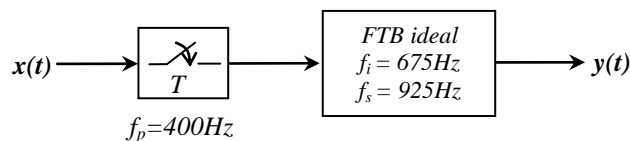


Figura P4.7

P4.8. Semnalul $x(t)$ este eșantionat cu frecvența f_p și apoi este trecut printr-un FTJ cu frecvența de tăiere f_t . Scrieți expresia semnalului de la ieșirea filtrului, dacă se consideră că:

- (a) $x(t) = \cos\left(2000\pi t + \frac{\pi}{3}\right) + 2\cos\left(4000\pi t - \frac{\pi}{2}\right)$, $f_p = 5\text{ kHz}$, $f_t = 4.5\text{ kHz}$.
 (b) $x(t) = 2 + \cos\left(20\pi t - \frac{\pi}{3}\right) + \cos\left(30\pi t + \frac{\pi}{4}\right) + \cos(40\pi t)$, $f_p = 70\text{ Hz}$,
 $f_t = 75\text{ Hz}$

P4.9. Semnalul $x(t)$ este eșantionat cu frecvența f_p și apoi este trecut printr-un FTB cu frecvențele de tăiere f_i și f_s . Scrieți expresia semnalului $y(t)$ de la ieșirea filtrului, dacă se consideră că:

(a) $x(t) = \cos(\pi t) + 2 \cos\left(2\pi t - \frac{\pi}{2}\right) + 3 \cos\left(4\pi t + \frac{\pi}{2}\right)$, $f_p = 6.5 \text{ Hz}$,

$f_i = 5.7 \text{ Hz}$, $f_s = 7.2 \text{ Hz}$.

(b) $x(t) = 1 - 3 \cos(4000\pi t) + 2 \cos(6000\pi t) + \cos(10^4 \pi t)$, $f_p = 11 \text{ kHz}$,

$f_i = 10 \text{ kHz}$, $f_s = 13.5 \text{ kHz}$.

P4.10. Fie semnalul: $x(t) = Sa(200\pi t) + 0.5 \cdot Sa^2(100\pi t)$.

- (a) Determinați frecvența minimă de eșantionare, astfel încât semnalul $x(t)$ să poată fi reconstituit fără distorsiuni din eșantioanele sale.
- (b) Reprezentați transformata Fourier a semnalului $x_T(t)$, obținut prin eșantionare ideală cu frecvența de 400 Hz .

P4.11. În *Figura P4.11* este reprezentat un semnal eșantionat real, cu durata foarte mică a eșantioanelor. Semnalul este aplicat unui extrapolator. Reprezentați semnalul de la ieșirea extrapolatorului, dacă extrapolatorul este de ordinul: (a) zero; (b) unu.



Figura P4.11

P4.12. Un semnal analogic este eșantionat ideal cu frecvența de eșantionare 10 kHz . Eșantionul de ordinul 20 are valoarea 0.6 . Scrieți contribuția acestui eșantion la formarea semnalului reconstituit prin filtrare ideală (interpolare).

P4.13. Un semnal analogic este eșantionat ideal cu frecvența de eșantionare 100 kHz . Eșantionul de ordinul 10 are valoarea $3V$. Scrieți contribuția acestui eșantion la formarea semnalului reconstituit prin interpolare.

P4.14. Un semnal analogic este eșantionat ideal. Eșantionul de ordinul 10 are valoarea $0.3V$ și apare la momentul $t_{10} = 10 \text{ ms}$. Scrieți contribuția acestui eșantion la formarea semnalului reconstituit prin interpolare.

P4.15. Un semnal analogic este eșantionat ideal. Eșantionul de ordinul 100 are valoarea $0.5A$ și apare la momentul $t_{100} = 10 \text{ ms}$. Scrieți contribuția acestui eșantion la formarea semnalului reconstituit prin interpolare.

P4.16. Două dintre eșantioanele recepționate succesiv sunt: $x(2) = 5$ și $x(3) = 3$. Scrieți contribuția acestor eșantioane la formarea semnalului reconstituit prin interpolare.

P4.17. Trei dintre eșantioanele recepționate succesiv sunt: $x(0.1) = 5$, $x(0.2) = 5.1$ și respectiv $x(0.3) = 5.2$. Scrieți contribuția acestor eșantioane la formarea semnalului reconstituit prin filtrare ideală.

P4.18. Patru dintre eșantioanele recepționate succesiv sunt: $x(1200) = 2 \cdot 10^3$, $x(1400) = 1.8 \cdot 10^3$, $x(1600) = 19 \cdot 10^3$ și respectiv $x(1800) = 10^3$. Scrieți contribuția acestor eșantioane la formarea semnalului reconstituit prin filtrare ideală.

4.3. Indicații și soluții

S4.1. Se desenează semnalul analogic (cu linie întreruptă în *Figura S4.1*), apoi se eșantionează, distanța dintre eșantioane fiind $\frac{1}{f_p} = 0.125 \text{ ms}$. Eșantioanele sunt reprezentate cu linie continuă în figură.

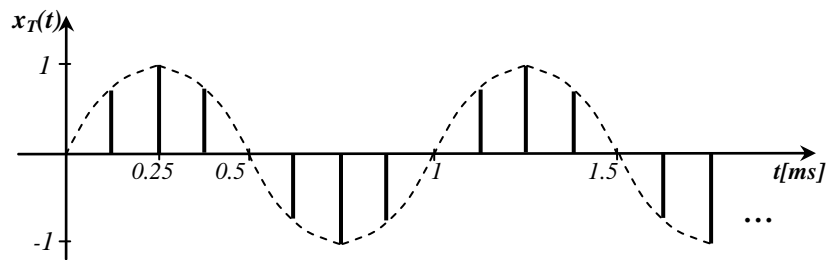


Figura S4.1

S4.2. Vezi Figura S4.2. Distanța între eșantioane este $\frac{1}{f_p} = 0.125 \text{ s}$.

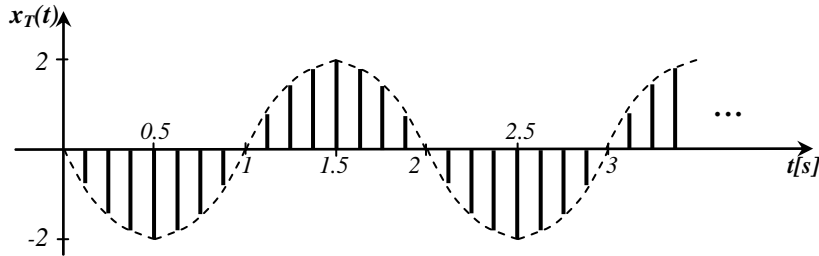


Figura S4.2

S4.3. $f_p > 2.5 \text{ kHz}$.

S4.4. $f_p > 4 \text{ kHz}$.

S4.5. Prin eșantionare ideală, spectrul bilateral al semnalului analogic este deplasat în jurul multiplilor frecvenței de eșantionare ($f_p = \frac{1}{200 \text{ ms}} = 5 \text{ Hz}$) și ponderat cu

f_p , conform cu relația (4.2). Spectrul semnalului eșantionat este ilustrat în Figura S4.5.

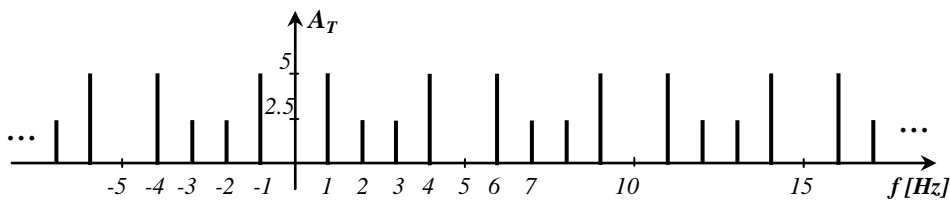


Figura S4.5

S4.6. (a) $f_p > 8 \text{ kHz}$. (b) Vezi Figura S4.6.

S4.7. (a) Vezi Figura S4.7.

(b)
$$y(t) = 2 \left[400 \cos\left(1400\pi t - \frac{\pi}{4}\right) + 800 \cos(1600\pi t) + 400 \cos\left(1800\pi t + \frac{\pi}{4}\right) \right]$$

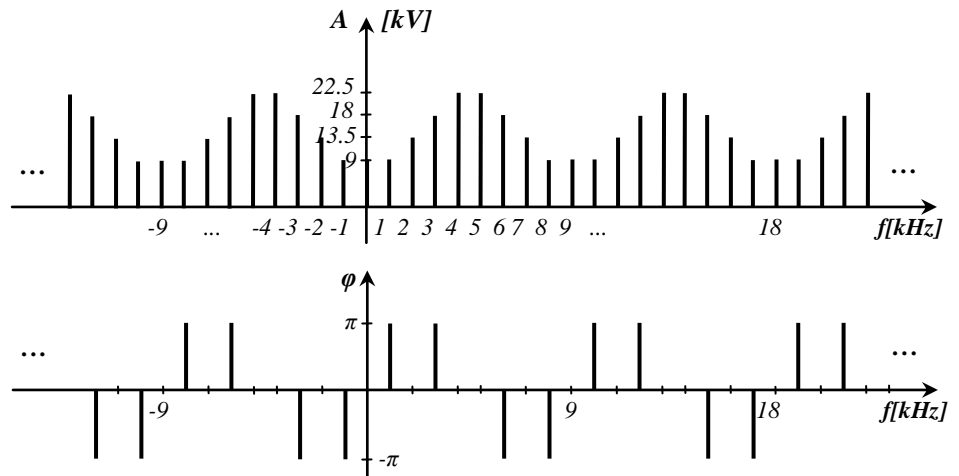


Figura S4.6

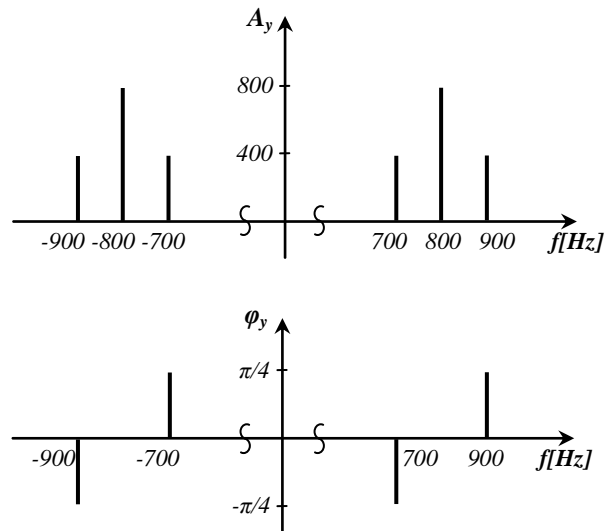


Figura S4.7

S4.8. (a)
$$y(t) = 5 \cdot 10^3 \cos\left(2000\pi t + \frac{\pi}{3}\right) + 10^4 \cos\left(4000\pi t - \frac{\pi}{2}\right) + 10^4 \cos\left(6000\pi t + \frac{\pi}{3}\right) + 5 \cdot 10^3 \cos\left(8000\pi t - \frac{\pi}{2}\right).$$

$$(b) \ y(t) = 70 \cos\left(20\pi t - \frac{\pi}{3}\right) + 70 \cos\left(30\pi t + \frac{\pi}{4}\right) + 70 \cos(40\pi t) + 70 \cos(100\pi t) + \\ + 70 \cos\left(110\pi t - \frac{\pi}{4}\right) + 70 \cos\left(120\pi t + \frac{\pi}{3}\right).$$

$$S4.9. (a) \ y(t) = 6.5 [\cos(12\pi t) + \cos(14\pi t)];$$

$$(b) \ y(t) = 2 \cdot 10^3 [11 \cos(22 \cdot 10^3 \pi t) + 16.5 \cos(26 \cdot 10^3 \pi t + \pi)].$$

S4.10. (a) $f_p > 200\text{Hz}$; (b) Vezi Figura S4.10.

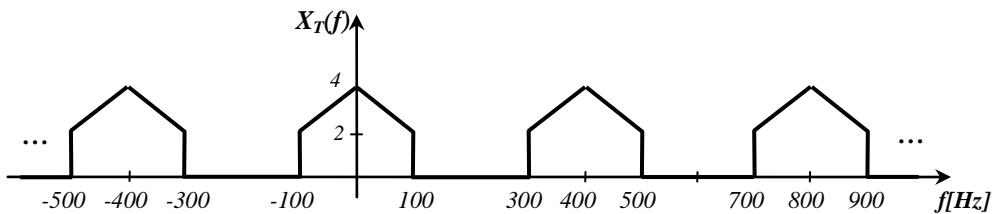


Figura S4.10

S4.11. (a) În cazul extrapolatorului de ordin zero, semnalul reconstituit este constant între citirea eșantioanelor și egal cu valoarea eșantionului citit, până la sosirea eșantionului următor, conform cu relația (4.3) (vezi Figura S4.11.a: eșantioanele sunt cu linie întreruptă, semnalul reconstituit – cu linie continuă).

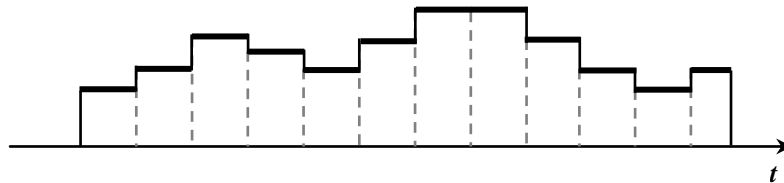


Figura S4.11.a

(b) În cazul extrapolatorului de ordin unu, valoarea semnalului reconstituit între două eșantioane este egal cu prelungirea dreptei care unește eșantioanele anterioare, conform cu relația (4.4). Semnalul reconstituit este ilustrat în Figura S4.11.b (cu linie continuă).

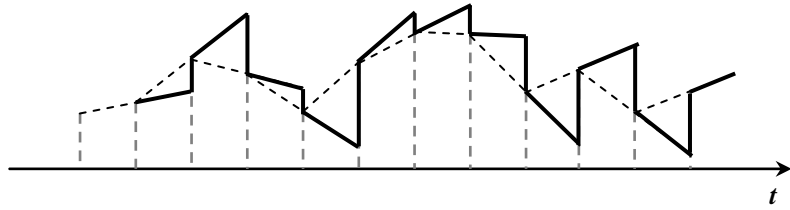


Figura S4.11.b

S4.12. Semnalul reconstituit este dat de expresia (4.5). Contribuția eșantionului de ordin $k = 20$ va fi: $0.6 \cdot Sa[\pi 10^4 (t - 2 \cdot 10^{-3})]$.

S4.13. $x_r(t) = 3 \cdot Sa[10^5 \pi (t - 10^{-4})]$ [V].

S4.14. $t_{10} = kT \Rightarrow T = \frac{t_{10}}{k} = 1 \text{ ms} \Rightarrow f_p = 1 \text{ kHz}$; semnalul reconstituit rezultă: $x_r(t) = 0.3 \cdot Sa[10^3 \pi (t - 0.01)]$ [V].

S4.15. $t_{100} = kT \Rightarrow T = 0.1 \text{ ms} \Rightarrow f_p = 10 \text{ kHz}$; semnalul reconstituit rezultă: $x_r(t) = 0.5 \cdot Sa[10^4 \pi (t - 10^{-2})]$ [A].

S4.16. Cele două eșantioane sunt succesive, deci perioada de eșantionare este diferența între momentele în care apar eșantioanele: $T = 1 \text{ s} \Rightarrow f_p = 1 \text{ Hz}$. Rezultă semnalul reconstituit: $x_r(t) = 5 \cdot Sa[\pi (t - 2)] + 3 \cdot Sa[\pi (t - 3)]$.

S4.17. $T = 10^{-1} \text{ s} \Rightarrow f_p = 10 \text{ Hz}$;

$x_r(t) = 5 Sa[10\pi (t - 0.1)] + 5.1 Sa[10\pi (t - 0.2)] + 5.2 Sa[10\pi (t - 0.3)]$.

S4.18. $T = 200 \text{ s} \Rightarrow f_p = 0.005 \text{ Hz}$;

$x_r(t) = 2 \cdot 10^3 Sa[0.005\pi (t - 1200)] + 1.8 \cdot 10^3 Sa[0.005\pi (t - 1400)] +$
 $+ 19 \cdot 10^3 Sa[0.005\pi (t - 1600)] + 10^3 Sa[0.005\pi (t - 1800)]$.

Capitolul 5 SEMNALE MODULATE

5.1. Breviar teoretic

Semnalul modulat în amplitudine (MA)

Expresia semnalului MA:

$$x_{MA}(t) = X_p [1 + m \cdot x_m(t)] \cos(2\pi f_p t + \varphi_p) \quad (5.1)$$

unde: $X_p \cos(2\pi f_p t + \varphi_p)$ reprezintă *semnalul purtător (purtătoarea)*, $x_m(t)$ este *semnalul modulator (modulatoarea)*, iar m este *gradul de modulație*, cu condiția ca $\min\{x_m(t)\} = -1$.

Observații:

- dacă $\min\{x_m(t)\} \neq -1$, se face mai întâi o *normare în amplitudine* a semnalului modulator ;
- pentru a evita apariția supramodulației (întrepătrunderea anvelopelor), este necesar ca gradul de modulație să fie subunitar: $m \leq 1$.

Dacă semnalul modulator este armonic:

$$x_m(t) = \cos(2\pi f_m t + \varphi_m) \quad (5.2)$$

atunci expresia semnalului MA se poate scrie astfel:

$$x_{MA}(t) = X_p \cos(2\pi f_p t + \varphi_p) + \frac{mX_p}{2} \cos[2\pi(f_p + f_m)t + \varphi_p + \varphi_m] + \frac{mX_p}{2} \cos[2\pi(f_p - f_m)t + \varphi_p - \varphi_m] \quad (5.3)$$

Banda de frecvență ocupată de semnalul MA este egală cu dublul benzii de bază (banda de bază reprezintă banda semnalului modulator):

$$B_{MA} = 2B_m \quad (5.4)$$

Semnalul modulat în amplitudine cu bandă laterală dublă (BLD)

Semnalul BLD se obține din semnalul MA prin suprimarea purtătoarei. Rezultă expresia semnalului BLD:

$$x_{BLD}(t) = m \cdot x_m(t) \cdot X_p \cos(2\pi f_p t + \varphi_p) \quad (5.5)$$

Observație: la modulația BLD, anvelopele sunt tot timpul întrepătrunse, deci nu se mai pune problema supramodulației; prin urmare, m nu mai este necesar să fie subunitar și nici modulatoarea nu mai trebuie să aibă minimul egal cu -1 .

Dacă semnalul modulator este armonic: $x_m(t) = X_m \cos(2\pi f_m t + \varphi_m)$, atunci expresia semnalului BLD se poate scrie astfel:

$$\begin{aligned} x_{BLD}(t) = & \frac{mX_p X_m}{2} \cos[2\pi(f_p + f_m)t + \varphi_p + \varphi_m] + \\ & + \frac{mX_p X_m}{2} \cos[2\pi(f_p - f_m)t + \varphi_p - \varphi_m] \end{aligned} \quad (5.6)$$

Banda de frecvență ocupată de semnalul BLD este egală cu dublul benzii de bază:

$$B_{BLD} = 2B_m \quad (5.7)$$

Semnalul modulat în amplitudine cu bandă laterală unică (BLU)

Semnalul BLU se obține din semnalul BLD prin suprimarea uneia dintre benzile laterale. Semnalul BLU se numește BLU_S (cu bandă laterală *superioară*), dacă se suprimă banda inferioară, sau BLU_I (cu bandă laterală *inferioară*), dacă se suprimă banda superioară.

Banda ocupată de semnalul BLU este egală cu banda de bază:

$$B_{BLU} = B_m \quad (5.8)$$

Alte procedee speciale ale modulației în amplitudine

Semnalul modulat polar (MPO):

$$x_{MPO}(t) = x_{m1}(t) + x_{m2}(t) + [2 + x_{m1}(t) - x_{m2}(t)] \cos(2\pi f_{sp} t) \quad (5.9)$$

Semnalul dublu modulat în amplitudine (DMA):

$$x_{DMA}(t) = X_p \left\{ 1 + m_2 [1 + m_1 \cos(2\pi f_m t + \varphi_m)] \cos(2\pi f_{sp} t) \right\} \cdot \cos(2\pi f_p t) \quad (5.10)$$

Semnalul dublu modulat în cuadratură (DMC):

$$x_{DMC}(t) = X_p [1 + m_1 \cdot x_{m1}(t)] \cos(2\pi f_{sp} t) + X_p [1 + m_2 \cdot x_{m2}(t)] \sin(2\pi f_{sp} t) \quad (5.11)$$

Semnalul modulat în frecvență (MF)

Expresia semnalului MF:

$$x_{MF}(t) = X_p \cos \left[2\pi f_p t + \varphi_p + 2\pi \cdot \int g_m(t) dt \right] \quad (5.12)$$

unde: $X_p \cos(2\pi f_p t + \varphi_p)$ este semnalul purtător, iar $g_m(t)$ este o funcție de semnalul modulator.

Dacă semnalul modulator este *armonic*: $\cos(2\pi f_m t + \varphi_m)$, atunci semnalul MF are expresia:

$$x_{MF}(t) = X_p \cos \left[2\pi f_p t + \varphi_p + \beta \cdot \sin(2\pi f_m t + \varphi_m) \right] \quad (5.13)$$

unde β se numește *indice de modulație* și este egal cu raportul dintre deviația de frecvență și frecvența modulatorie:

$$\beta = \frac{\Delta f}{f_m} \quad (5.14)$$

Pentru semnalele MF de *bandă îngustă* ($\beta < 0.4$), se poate face aproximarea:

$$x_{MF}(t) \cong X_p \cdot \cos(2\pi f_p t + \varphi_p) + \frac{\beta}{2} X_p \cdot \cos \left[2\pi (f_p + f_m) t + \varphi_p + \varphi_m \right] - \frac{\beta}{2} X_p \cdot \cos \left[2\pi (f_p - f_m) t + \varphi_p - \varphi_m \right] \quad (5.15)$$

Puterea semnalului MF:

$$P_{MF} = \frac{1}{2} \cdot X_p^2 \quad (5.16)$$

Banda de frecvență ocupată de semnalul MF:

- relația lui Carson:

$$B_{MF} = 2(1 + \beta) \cdot f_m \quad (5.17)$$

- relația lui Maneev:

$$B_{MF} = 2(1 + \beta + \sqrt{\beta}) \cdot f_m \quad (5.18)$$

Semnalul modulat în fază (MP)

Expresia semnalului MP:

$$x_{MP}(t) = X_p \cos[2\pi f_p t + \varphi_p + g_m(t)] \quad (5.19)$$

unde: $X_p \cos(2\pi f_p t + \varphi_p)$ este semnalul purtător, iar $g_m(t)$ este o funcție de semnalul modulator.

Dacă semnalul modulator este *armonic*: $\cos(2\pi f_m t + \varphi_m)$, atunci semnalul MP are expresia:

$$x_{MP}(t) = X_p \cos[2\pi f_p t + \varphi_p + \Delta\varphi \cdot \cos(2\pi f_m t + \varphi_m)] \quad (5.20)$$

unde $\Delta\varphi$ se numește *deviația maximă de fază*.

Banda de frecvență ocupată de semnalul MP:

$$B_{MP} = 2(1 + \Delta\varphi) \cdot f_m \quad (5.21)$$

Puterea semnalului MP:

$$P_{MP} = \frac{1}{2} \cdot X_p^2 \quad (5.22)$$

5.2. Enunțuri

P5.1. O purtătoare de amplitudine 10 V, frecvență 11 kHz și fază inițială $\frac{\pi}{4}$ este modulată de un semnal modulator armonic de frecvență 1 kHz, fază inițială $-\frac{\pi}{2}$, cu gradul de modulație 0.5. Determinați expresia, spectrul și puterea semnalului modulat în următoarele cazuri:

- (a) Modulația este în amplitudine (MA).
- (b) Modulația este în amplitudine cu bandă laterală dublă (BLD).

P5.2. Determinați frecvența semnalului modulator armonic și gradul de modulație dacă semnalul modulat este:

$$y(t) = 5 \cos(30\pi \cdot 10^3 t) + 2 \cos(28\pi \cdot 10^3 t) + 2 \cos(32\pi \cdot 10^3 t)$$

P5.3. Să se arate că în cazul unui semnal MA cu modulator armonic și nesupramodulat, puterea ambelor benzi laterale nu depășește o treime din puterea totală a semnalului MA.

P5.4. Un semnal modulator armonic a produs semnalul:

$$y(t) = 50 \cos\left(1252 \cdot 10^3 \pi t + \frac{\pi}{3}\right) - \cos\left(1250 \cdot 10^3 \pi t - \frac{2\pi}{3}\right) - \cos\left(1254 \cdot 10^3 \pi t - \frac{2\pi}{3}\right)$$

Determinați semnalul purtător, semnalul modulator și gradul de modulație.

P5.5. Dacă se consideră că semnalul $x(t) = 5 \cos(2000\pi t) + 2 \cos(1600\pi t)$ modulează în amplitudine o purtătoare armonică, determinați banda ocupată de semnalul modulat.

P5.6. Se consideră spectrul unui semnal MA cu modulator armonic, având linia centrală de amplitudine $1V$ și liniile laterale de amplitudine $650 mV$. Arătați că în cazul demodulării semnalului MA prin detecție de anvelopă, semnalul demodulat nu va fi proporțional cu semnalul modulator.

P5.7. Dacă se consideră că semnalul:

$$x(t) = 0.9 \cos(2000\pi t) + 0.3 \cos(1800\pi t) + 0.3 \cos(2200\pi t)$$

este obținut prin MA, cu gradul de modulație 0.4 , determinați expresiile purtătoarei și a modulatorului, știind că modulatorul are o componentă continuă (*Indicație:* se va considera că semnalul modulator are minimumul egal cu -1).

P5.8. Expresia unui semnal MA este :

$$y(t) = 5 \left[1 + m \cdot x(t) \right] \cdot \cos\left(10^4 \pi t - \frac{\pi}{4} \right)$$

unde $x(t) = -4 \cdot \cos(10^3 \pi t)$.

(a) Ce valori poate lua m astfel încât să fie posibilă demodularea semnalului MA prin detecție de anvelopă?

(b) Reprezentați spectrul semnalului MA pentru $m = 0.2$.

P5.9. Determinați frecvențele purtătoare dacă semnalele următoare sunt obținute prin modulație BLD:

(a) $x(t) = \cos(3.5\pi \cdot 10^3 t) + \cos(3.8\pi \cdot 10^3 t)$.

(b) $x(t) = \cos(2\pi \cdot 2250t) + \cos(2\pi \cdot 1850t) + \cos(2\pi \cdot 2520t) + \cos(2\pi \cdot 1580t)$

P5.10. Semnalul $x(t) = -2\cos(2000\pi t) - \cos(4000\pi t)$ modulează în amplitudine o purtătoare de amplitudine 1 V și frecvență 100 kHz , cu gradul de modulație 0.6 . Scrieți expresia semnalului MA.

P5.11. Semnalul modulator: $x(t) = -\cos(2000\pi t) - 3\cos(6000\pi t)$ modulează BLU o purtătoare de amplitudine 1 V și frecvență 1 MHz , cu gradul de modulație 0.6 . Reprezentați spectrul și scrieți expresia semnalului BLU, în cazul în care modulația este cu bandă laterală: (a) inferioară; (b) superioară.

P5.12. Semnalul $x(t) = 0.5 \cdot \cos\left(200\pi t + \frac{\pi}{4}\right)$ modulează BLD o purtătoare de amplitudine 2 V , frecvență 3 kHz și fază inițială $-\frac{\pi}{3}$, cu gradul de modulație 1.2 .

(a) Determinați expresia și spectrul semnalului BLD.

(b) Semnalul BLD este trecut printr-un FTJ ideal cu frecvența de tăiere 3 kHz . Semnalul filtrat modulează apoi BLD o purtătoare de amplitudine 3 V , frecvență 25 kHz și fază inițială $\frac{\pi}{4}$, cu gradul de modulație 1.5 .

Determinați expresia și spectrul noului semnal BLD.

P5.13. Semnalul $x(t) = 1 + \cos\left(200\pi t + \frac{\pi}{3}\right) + 2\cos\left(400\pi t - \frac{\pi}{2}\right)$ modulează BLD,

cu gradul de modulație 2 , semnalul $x_1(t) = \cos\left(2000\pi t + \frac{\pi}{3}\right)$. Semnalul BLD este trecut printr-un FTB ideal cu frecvențele de tăiere 850 Hz și 1150 Hz .

(a) Determinați expresia semnalului filtrat și arătați că acesta poate fi interpretat ca fiind un semnal MA.

(b) Pentru semnalul MA de la punctul (a), determinați semnalul modulator, semnalul purtător și gradul de modulație.

P5.14. Semnalul $x(t) = 3 + 2 \cos\left(2\pi f_0 t + \frac{\pi}{2}\right)$ modulează BLD o purtătoare de amplitudine $1V$, frecvență $3f_0$, cu gradul de modulație 0.8 . Semnalul BLD este apoi eșantionat ideal cu frecvența de eșantionare $9f_0$. Precizați ce fel de filtru ideal trebuie aplicat semnalului eșantionat astfel încât să se obțină:

- (a) un semnal BLD cu modulator armonică și fără componentă continuă. Dați două soluții de alegere a filtrului.
- (b) un semnal MA cu modulator armonică și fără componentă continuă.
- (c) un semnal BLD cu modulator nearmonică și fără componentă continuă.

Pentru fiecare caz, determinați parametrii modulației și expresia semnalului filtrat.

P5.15. Semnalul $x(t) = \sum_{n=0}^4 (-1)^n (n+1) \cos(2000n\pi t)$ este eșantionat ideal cu frecvența de eșantionare 9 kHz . Ce fel de filtru ideal trebuie aplicat semnalului eșantionat astfel încât să se obțină un semnal BLD cu modulator armonică având o componentă continuă? Dați două soluții de alegere a filtrului. Pentru fiecare variantă de filtru, determinați expresia semnalului filtrat, frecvența purtătoare și frecvența modulator.

P5.16. Semnalul $x(t) = Sa(400\pi t)$ este modulată în amplitudine pe purtătoarea $10 \cdot \cos(2\pi \cdot 10^3 t)$, cu gradul de modulație 0.5 .

- (a) Reprezentați spectrul semnalului $x(t)$.
- (b) Reprezentați spectrul semnalului MA.

P5.17. Se consideră schema bloc din *Figura P5.17*, unde $f_p = 400 \text{ Hz}$ și

$$x(t) = 2 + 2 \cdot \cos\left(200\pi t + \frac{\pi}{4}\right) + 3 \cdot \cos\left(300\pi t - \frac{\pi}{2}\right).$$

Să se arate că $y(t)$ poate fi interpretat ca fiind un semnal MA. Determinați în acest caz semnalul modulator, cel purtător și gradul de modulație.

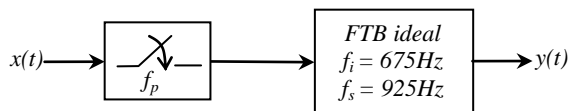


Figura P5.17

P5.18. Semnalul modulator: $x(t) = -2 \cos(2\pi 10^5 t) - \cos(4\pi \cdot 10^5 t)$ modulează BLU cu bandă laterală superioară o purtătoare de amplitudine 2 V și frecvență 1 MHz, cu gradul de modulație 0.9. Determinați expresia semnalului BLU.

P5.19. Semnalele: $x_{m1}(t) = \cos(2\pi t)$ și $x_{m2}(t) = \cos(4\pi t)$ sunt semnale modulatorie pentru o modulație polară pe o sub-purtătoare de frecvență 6 Hz. Scrieți semnalul modulat ca o sumă de componente armonice.

P5.20. Un semnal modulat în amplitudine având frecvența purtătoare 100 kHz și frecvența modulatorie 25 kHz este demodulat prin redresare simplă alternanță și filtrare trece-jos. Determinați intervalul de frecvențe în care se poate găsi frecvența de tăiere a FTJ.

P5.21. Aceeași problemă ca cea anterioară, dar considerând că redresarea este dublă alternanță.

P5.22. Dacă răspunsul sistemului din *Figura P5.22* la un impuls de bandă limitată la 10 kHz poate fi interpretat ca un semnal modulat, indicați tipul modulației și frecvența purtătoare, în următoarele cazuri:

- (a) $f_i = 250 \text{ kHz}$, $f_s = 350 \text{ kHz}$;
- (b) $f_i = 150 \text{ kHz}$, $f_s = 200 \text{ kHz}$;
- (c) $f_i = 200 \text{ kHz}$, $f_s = 300 \text{ kHz}$.

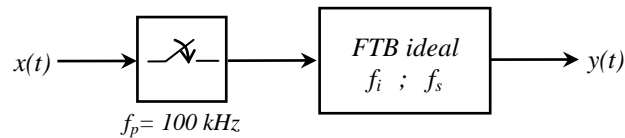


Figura P5.22

P5.23. Se consideră semnalul DMC :

$$y(t) = x_1(t) \cdot \cos(240\pi \cdot 10^3 t) + x_2(t) \cdot \sin(240\pi \cdot 10^3 t),$$

unde: $x_1(t) = 5[1 + 0.4 \cdot \cos(4000\pi t)]$ și $x_2(t) = 5[1 + 0.6 \cdot \cos(10^4 \pi t)]$.

- (a) Reprezentați spectrul semnalului $y(t)$.
- (b) Determinați banda ocupată și puterea disipată.

P5.24. Determinați indicele de modulație dacă frecvența modulator este de 10 kHz și deviația maximă de frecvență este de 5 kHz.

P5.25. Determinați deviația maximă de frecvență dacă frecvența modulator este de 15 kHz și indicele de modulație este de 0.5 rad.

P5.26. Determinați frecvența modulator dacă indicele de modulație este de 2 rad și deviația maximă de frecvență este de 75 kHz.

P5.27. Semnalul modulator $\cos\left(200\pi t + \frac{\pi}{6}\right)$ produce semnalul modulat:

$$x_M(t) = 5 \cos\left[2000\pi t + \pi \cos\left(200\pi t + \frac{\pi}{6}\right)\right]$$

Indicați tipul modulației și parametrii acesteia.

P5.28. Semnalul modulator $\cos\left(100\pi t + \frac{\pi}{6}\right)$ produce semnalul modulat:

$$x_M(t) = 10 \cos\left[3000\pi t + \pi \cos\left(100\pi t - \frac{\pi}{3}\right)\right]$$

Indicați tipul modulației și parametrii acesteia.

P5.29. Semnalul modulator $\sin(30\pi t + \pi)$ produce semnalul modulat:

$$x_m(t) = \cos\left[10^4 \pi t - \frac{\pi}{4} + 2 \cos\left(30\pi t + \frac{\pi}{4}\right)\right]$$

Indicați tipul modulației și parametrii acesteia.

P5.30. Determinați banda de frecvență ocupată de fiecare dintre următoarele semnale MF, folosind: **(a)** relația lui Carson; **(b)** relația lui Manaev.

$$x_{M1}(t) = 5 \cos\left[2\pi \cdot 10^6 t + 5 \sin(30\pi \cdot 10^3 t)\right]$$

$$x_{M2}(t) = 2 \cos\left[2\pi \cdot 10^6 t + 2 \sin(2\pi \cdot 10^4 t)\right]$$

P5.31. Se consideră o MF, în care purtătoarea are amplitudinea $2V$, frecvența 10 kHz, faza inițială $\frac{\pi}{4}$, semnalul modulator este $\cos\left(200\pi t + \frac{\pi}{3}\right)$, iar indicele de modulație 0.3 . Reprezentați grafic spectrul semnalului MF.

5.3. Indicații și soluții

S5.1. (a) $x_{MA}(t) = 10 \left[1 + 0.5 \cos\left(2000\pi t - \frac{\pi}{2}\right) \right] \cos\left(2200\pi t + \frac{\pi}{4}\right)$;

$P_{MA} = 56.25$ W ; spectrul este ilustrat în *Figura S5.1.a.*

(b) $x_{BLD}(t) = 5 \cos\left(2000\pi t - \frac{\pi}{2}\right) \cos\left(2200\pi t + \frac{\pi}{4}\right)$; $P_{BLD} = 6.25$ W ; spectrul este ilustrat în *Figura S5.1.b.*

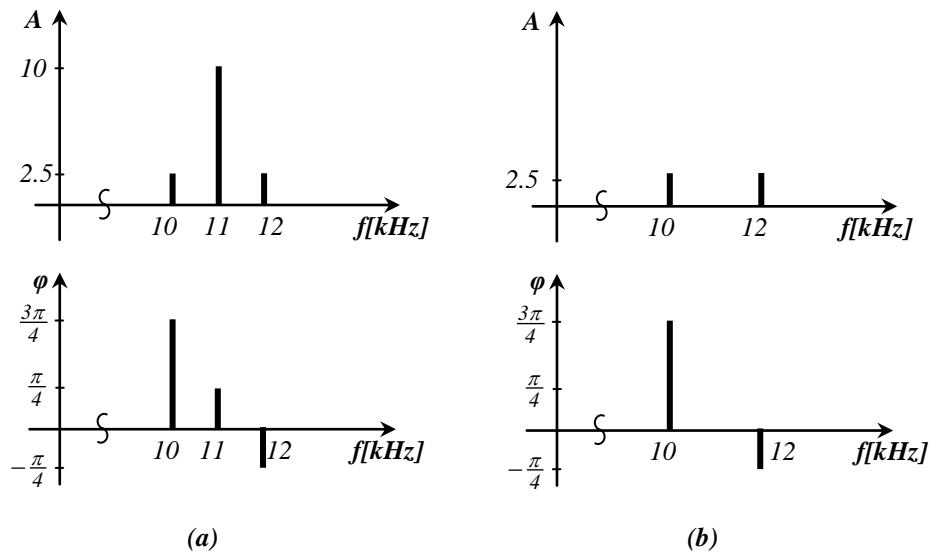


Figura S5.1

S5.2. Spectrul de amplitudini al unui semnal MA conține o linie centrală, la frecvența f_p , de amplitudine X_p , și două linii laterale, la frecvențele $f_p \pm f_m$, de

amplitudine $\frac{mX_p}{2}$. Din spectrul semnalului $y(t)$ rezultă: $X_p = 5$ și $\frac{mX_p}{2} = 2$, deci gradul de modulație este $m = 0.8$. Frecvența modulatorului rezultă: $f_m = 15 \cdot 10^3 - 14 \cdot 10^3 = 1 \text{ kHz}$.

S5.3. Puterea totală a semnalului MA și puterea ambelor benzi laterale se determină cu relația de calcul în domeniul frecvență a puterii unui semnal periodic

– relația (2.13). Rezultă: $P_{MA} = \frac{X_p^2}{2} \left(1 + \frac{m^2}{2} \right)$, respectiv: $P_{lat} = \left(\frac{1}{2} m X_p \right)^2$. Avem

de demonstrat că: $P_{lat} \leq \frac{1}{3} P_{MA}$; înlocuind expresiile puterilor în inegalitate, rezultă: $m^2 \leq 1$, ceea ce este adevărat, deoarece semnalul este ne-supramodulat.

S5.4. Spectrul de amplitudini al semnalului conține:

- o linie centrală, de amplitudine $50 (= X_p)$, la frecvența $626 \text{ Hz} (= f_p)$;
- două linii laterale, de amplitudine $1 \left(= \frac{1}{2} m X_p \Rightarrow m = 0.04 \right)$, situate la frecvențele $625 \text{ Hz} (= f_p - f_m)$, respectiv $627 \text{ Hz} (= f_p + f_m)$; rezultă: $f_m = 1 \text{ Hz}$.

În spectrul de faze: linia centrală este $\frac{\pi}{3} (= \varphi_p)$, linia din stânga este $\frac{\pi}{3} (= \varphi_p - \varphi_m)$; rezultă $\varphi_m = 0$. Rezultă expresiile purtătoarei și modulatorului:

$$x_p(t) = 50 \cdot \cos\left(2\pi \cdot 626t + \frac{\pi}{3}\right)$$

$$x_m(t) = \cos(2\pi t)$$

iar gradul de modulație rezultă: $m = 0.04$.

S5.5. 2 kHz .

S5.6. În cazul demodulării prin detecție de anvelopă, pentru ca semnalul demodulat să fie proporțional cu semnalul modulator, trebuie ca gradul de modulație să fie subunitar. Amplitudinile liniilor laterale sunt: $0.65 = \frac{1}{2} m X_p$, iar amplitudinea purtătoarei este $1V$, rezultă $m = 1.3 > 1$.

S5.7. Semnalul modulator este de forma: $x_m(t) = X_0 + X_m \cos(2\pi f_m t)$, cu $X_0 - X_m = -1$. În continuare, se deduce expresia generală a semnalului MA folosind pentru semnalul modulator expresia considerată. Rezultă:

$$x_{MA}(t) = X_p (1 + mX_0) \cos(2\pi f_p t) + \frac{mX_p X_m}{2} \cos[2\pi(f_p + f_m)t] + \frac{mX_p X_m}{2} \cos[2\pi(f_p - f_m)t]$$

Echivalând cu expresia semnalului $x(t)$, rezultă sistemul:

$$\begin{cases} X_p (1 + mX_0) = 0.9 \\ \frac{1}{2} mX_p (X_0 + 1) = 0.3 \end{cases}$$

De aici rezultă: $x_p(t) = 0.5 \cos(2000\pi t)$, $x_m(t) = 2 + 3 \cos(200\pi t)$.

S5.8. (a) În cazul demodulării prin detecție de anvelopă, pentru a reconstitui corect semnalul modulator, este necesar ca gradul de modulație să fie subunitar. În expresia unui semnal MA, gradul de modulație este factorul care înmulțește un semnal care are minimumul egal cu -1 . Prin urmare, aici m din expresie *nu* este gradul de modulație. Se înlocuiește $x(t)$ în $y(t)$:

$$y(t) = 5 \left[1 + m \cdot 4 \cos(10^3 \pi t + \pi) \right] \cdot \cos\left(10^4 \pi t - \frac{\pi}{4}\right)$$

Rezultă că gradul de modulație este $m' = 4m$, iar semnalul modulator este $\cos(10^3 \pi t + \pi)$. În concluzie, trebuie ca $m' \leq 1$, deci $m \leq 0.25$.

(b) Vezi Figura S5.8 (Observație: la frecvența 4.5 kHz, faza rezultă din calcule $-\frac{5\pi}{4}$, dar, deoarece am convenit ca în spectrul de faze să avem reprezentări în domeniul $[-\pi, \pi]$, adunăm -2π și astfel rezultă $\frac{3\pi}{4}$).

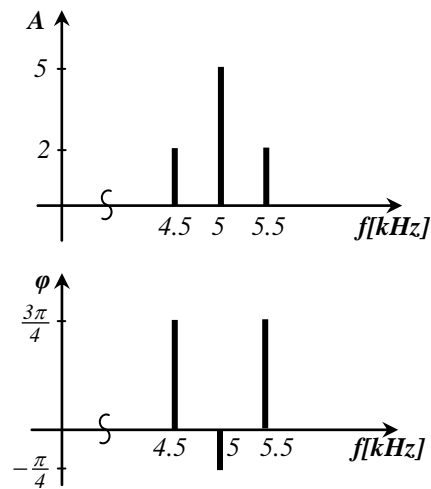


Figura S5.8

S5.9. (a) $f_p = \frac{1}{2}(1.9 \cdot 10^3 + 1.75 \cdot 10^3) = 1825 \text{ Hz}$; (b) 20 kHz .

S5.10. Deoarece minimul semnalului $x(t)$ nu este egal cu -1 , trebuie mai întâi să se facă o *normare* a semnalului modulator (se împarte semnalul modulator la minimul său în modul, egal cu 3):

$$x_{MA}(t) = X_p \left[1 + m \cdot \frac{x_m(t)}{|\min\{x_m(t)\}|} \right] \cdot \cos(2\pi f_p t + \varphi_p)$$

Rezultă: $x_{MA}(t) = [1 - 0.4 \cos(2000\pi t) - 0.2 \cos(4000\pi t)] \cos(2\pi 10^5 t)$.

S5.11. Se determină mai întâi semnalul BLD:

$$\begin{aligned} x_{BLD}(t) &= 0.6 \left[\cos(2\pi \cdot 2 \cdot 10^3 t + \pi) + 3 \cos(2\pi \cdot 3 \cdot 10^3 t + \pi) \right] \cdot \cos(2\pi \cdot 10^6 t) = \\ &= 0.9 \cdot \cos(2\pi \cdot 997 \cdot 10^3 t - \pi) + 0.3 \cdot \cos(2\pi \cdot 999 \cdot 10^3 t - \pi) + \\ &+ 0.3 \cdot \cos(2\pi \cdot 1001 \cdot 10^3 t + \pi) + 0.9 \cdot \cos(2\pi \cdot 1003 \cdot 10^3 t + \pi) \end{aligned}$$

Pentru semnalul BLU_I se rețin cele două componente din banda inferioară, iar pentru BLU_S se rețin cele două componente din banda superioară. Rezultă:

(a) $x_{BLU_I}(t) = 0.9 \cdot \cos(2\pi \cdot 997 \cdot 10^3 t - \pi) + 0.3 \cdot \cos(2\pi \cdot 999 \cdot 10^3 t - \pi)$;
spectrul semnalului BLU_I este ilustrat în Figura S5.11.a.

(b) $x_{BLU_S}(t) = 0.3 \cdot \cos(2\pi \cdot 1001 \cdot 10^3 t + \pi) + 0.9 \cdot \cos(2\pi \cdot 1003 \cdot 10^3 t + \pi)$;
spectrul semnalului BLU_S este ilustrat în Figura S5.11.b.

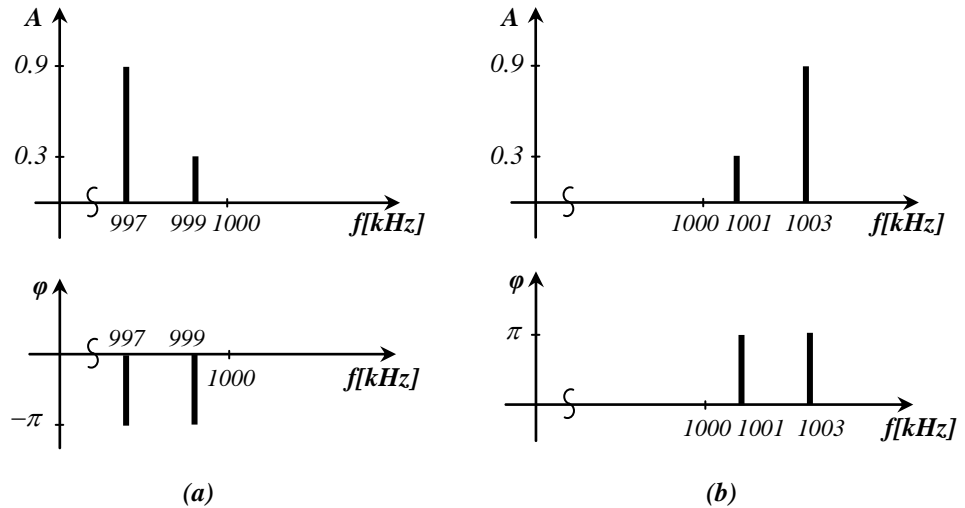


Figura S5.11

S5.12. (a) $x_{BLD}(t) = 1.2 \cdot \cos\left(200\pi t + \frac{\pi}{4}\right) \cdot \cos\left(6000\pi t - \frac{\pi}{3}\right)$

(b) semnalul filtrat: $x_f(t) = 0.6 \cdot \cos\left(2\pi \cdot 2900t - \frac{7\pi}{12}\right)$; al doilea SBLD:

$$x_{BLD2}(t) = 2.7 \cdot \cos\left(5800\pi t - \frac{7\pi}{12}\right) \cdot \cos\left(5 \cdot 10^4 \pi t + \frac{\pi}{4}\right)$$

S5.13. (a) $x_f(t) = \cos(1800\pi t) + 2 \cos\left(2000\pi t + \frac{\pi}{3}\right) + \cos\left(2200\pi t + \frac{2\pi}{3}\right)$;

Spectrul semnalului filtrat are o linie centrală și două linii laterale și egale, deci poate fi interpretat ca fiind un SMA.

(b) Semnalul modulator: $x_m(t) = \cos\left(200\pi t + \frac{\pi}{3}\right)$; semnalul purtător:

$$x_p(t) = 2 \cos\left(2000\pi t + \frac{\pi}{3}\right); \text{ gradul de modulație: } m = 1.$$

S5.14. (a) Reamintim că un semnal BLD cu modulatorare armonică fără componentă continuă are în spectrul de amplitudini două linii egale între ele.

Soluția I: Se aplică un FTB ideal, cu amplificarea unitară și frecvențele de tăiere:

$$f_i \in (3f_0, 4f_0) \text{ și } f_s \in (5f_0, 6f_0).$$

Parametrii modulației: $mX_p X_m = 14.4f_0$, $f_p = 4.5f_0$, $f_m = 0.5f_0$, $\varphi_p = 0$ și

$$\varphi_m = -\frac{\pi}{2}.$$

$$\text{Semnalul filtrat: } x_f(t) = 7.2f_0 \cdot \cos\left(8f_0 \cdot \pi t + \frac{\pi}{2}\right) + 7.2f_0 \cdot \cos\left(10f_0 \cdot \pi t - \frac{\pi}{2}\right).$$

Soluția a II-a: se aplică un FTB ideal, cu amplificarea unitară și frecvențele de tăiere: $f_i \in (6f_0, 7f_0)$ și $f_s \in (11f_0, 12f_0)$.

Parametrii modulației: $mX_p X_m = 14.4f_0$, $f_p = 9f_0$, $f_m = 2f_0$, $\varphi_p = 0$, $\varphi_m = -\frac{\pi}{2}$.

$$\text{Semnalul filtrat: } x_f(t) = 7.2f_0 \cdot \cos\left(14f_0 \cdot \pi t + \frac{\pi}{2}\right) + 7.2f_0 \cdot \cos\left(22f_0 \cdot \pi t - \frac{\pi}{2}\right).$$

(b) FTB ideal, cu amplificarea unitară și frecvențele de tăiere: $f_i \in (0, 2f_0)$ și

$f_s \in (4f_0, 5f_0)$. Parametrii modulației: $f_p = 3f_0$, $f_m = f_0$, $\varphi_p = 0$, $\varphi_m = \frac{\pi}{2}$,

$X_p = 21.6f_0$ și $m = \frac{2}{27f_0}$. Semnalul filtrat:

$$x_f(t) = 7.2f_0 \cdot \cos\left(4\pi f_0 t - \frac{\pi}{2}\right) + 21.6f_0 \cdot \cos(6\pi f_0 t) + 7.2f_0 \cdot \cos\left(8\pi f_0 t + \frac{\pi}{2}\right).$$

(c) Un semnal BLD cu modulatorare nearmonică fără componentă continuă are un număr par de linii, simetrice față de o frecvență centrală. Se poate aplica un FTB ideal, cu amplificarea unitară și frecvențele de tăiere: $f_i \in (2f_0, 3f_0)$ și $f_s \in (6f_0, 7f_0)$.

Parametrii modulației: $f_p = 4.5f_0$, $f_{m1} = 0.5f_0$, $f_{m2} = 1.5f_0$, $\varphi_p = 0$, $\varphi_{m1} = -\frac{\pi}{2}$,

$\varphi_{m2} = 0$, $mX_p X_{m1} = 14.4f_0$, $mX_p X_{m2} = 43.2f_0$. Semnalul filtrat:

$$x_f(t) = 21.6f_0 \cdot \cos(6\pi f_0 t) + 7.2f_0 \cdot \cos\left(8\pi f_0 t + \frac{\pi}{2}\right) + 7.2f_0 \cdot \cos\left(10\pi f_0 t - \frac{\pi}{2}\right) + 21.6f_0 \cdot \cos(12\pi f_0 t).$$

S5.15. Un semnal BLD cu modulator armonică având o componentă continuă are în spectrul de amplitudini trei linii spectrale, iar cele laterale sunt egale. În spectrul semnalului eșantionat, astfel de linii sunt cele situate la frecvențele: $kf_p, kf_p \pm 1\text{kHz}$.

Soluția I: FTB ideal, cu frecvențele de tăiere: $f_i \in (7\text{kHz}, 8\text{kHz})$ și $f_s \in (10\text{kHz}, 11\text{kHz})$. Rezultă frecvența purtătoare: $f_p = 9\text{kHz}$, frecvența modulator: $f_m = 1\text{kHz}$. Semnalul filtrat:

$$x_f(t) = 18 \cdot 10^3 \left[\cos(16\pi \cdot 10^3 t) + \cos(18\pi \cdot 10^3 t) + \cos(20\pi \cdot 10^3 t) \right].$$

Soluția a II-a: FTB ideal, cu frecvențele de tăiere: $f_i \in (16\text{kHz}, 17\text{kHz})$ și $f_s \in (19\text{kHz}, 20\text{kHz})$. Rezultă frecvența purtătoare: $f_p = 18\text{kHz}$, frecvența modulator: $f_m = 1\text{kHz}$. Semnalul filtrat:

$$x_f(t) = 18 \cdot 10^3 \left[\cos(34\pi \cdot 10^3 t) + \cos(36\pi \cdot 10^3 t) + \cos(38\pi \cdot 10^3 t) \right].$$

S5.16. (a) Vezi Figura S5.16.(a). (b) Vezi Figura S5.16.(b).

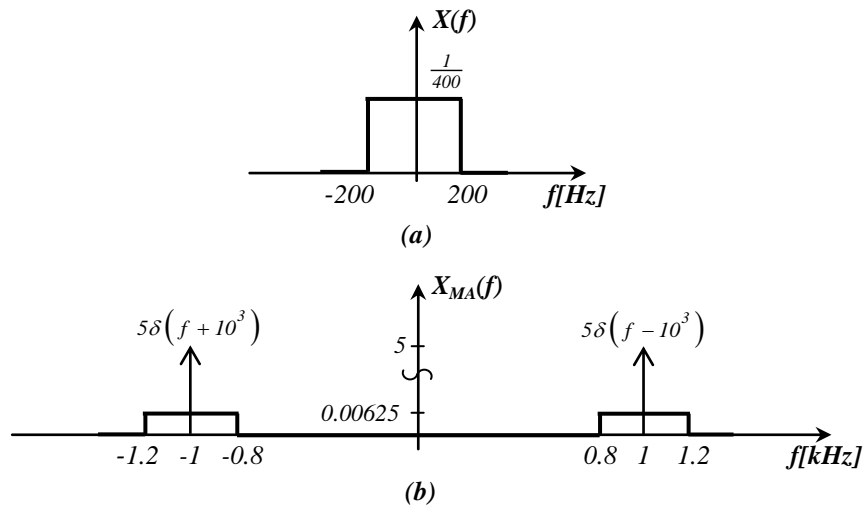


Figura S5.16

S5.17. Semnalul filtrat are în spectrul de amplitudini o linie centrală și două linii laterale egale între ele, deci poate fi interpretat ca fiind un semnal MA.

Rezultă semnalul modulator: $x_m(t) = \cos\left(200\pi t + \frac{\pi}{4}\right)$, semnalul purtător:
 $x_p(t) = 1600 \cdot \cos(1600\pi t)$ și gradul de modulație $m = 1$.

S5.18. $x_{BLU-S}(t) = 1.8 \cos(22\pi \cdot 10^5 t + \pi) + 0.9 \cos(24\pi \cdot 10^5 t + \pi)$

S5.19. $x_{MPO}(t) = \cos(2\pi t) + \cos(4\pi t) - 0.5 \cos(8\pi t) + 0.5 \cos(10\pi t) +$
 $+ 2 \cos(12\pi t) + 0.5 \cos(14\pi t) - 0.5 \cos(16\pi t)$

S5.20. Prin redresare simplă-alternanță, spectrul semnalului redresat va fi format din variante (ponderate) ale spectrului semnalului MA deplasate în jurul multiplilor frecvenței purtătoare (Figura S5.20). Prin aplicarea FTJ, dorim să rămână doar varianta din origine. Prin urmare, intervalul de frecvențe în care se poate găsi frecvența de tăiere a FTJ este: 25–75 kHz.

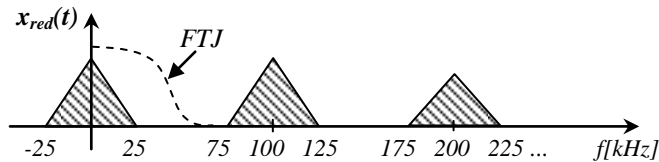


Figura S5.20

S5.21. În spectrul semnalului dublu-redresat vor apărea variante ale spectrului SMA deplasate în jurul multiplilor pari ai frecvenței purtătoare. Prin urmare, în acest caz, intervalul de frecvențe în care se poate găsi frecvența de tăiere a FTJ este: 25–75 kHz.

S5.22. (a) Spectrul semnalului $y(t)$ conține spectrul semnalului $x(t)$, deplasat în jurul frecvenței 300 kHz, ceea ce se poate obține și în următoarele cazuri:

- modulație BLD, cu frecvența purtătoare 300 kHz, sau:
- modulație BLU_S, cu frecvența purtătoare mai mică decât 290 kHz, sau:
- modulație BLU_I, cu frecvența purtătoare mai mare decât 310 kHz.

(Observație: MA nu poate fi, deoarece spectrul ar trebui să conțină și un impuls Dirac la frecvența 300 kHz).

(b) Spectrul semnalului $y(t)$ conține jumătatea din stânga a spectrului semnalului $x(t)$, deplasat cu 200 kHz, ceea ce se poate obține și în următoarele cazuri:

- modulație BLU_S, cu frecvența purtătoare mai mică decât 190 kHz, sau:
- modulație BLU_I, cu frecvența purtătoare mai mare decât 200 kHz.

(Observație: BLD nu poate fi, deoarece spectrul nu este simetric).

(c) Spectrul este simetric față de 250 kHz , ceea ce se poate obține în cazurile:

- modulație BLD, cu frecvența purtătoare 250 kHz , sau:
- modulație BLU_S, cu frecvența purtătoare mai mică decât 200 kHz , sau:
- modulație BLU_I, cu frecvența purtătoare mai mare decât 310 kHz .

S5.23. (a) Dacă se însumează două armonici de aceeași frecvență, ele trebuie compuse vectorial:

$$X_1 \cos(\omega_0 t + \varphi_1) + X_2 \cos(\omega_0 t + \varphi_2) = X \cos(\omega_0 t + \varphi)$$

unde:

$$\begin{cases} X^2 = X_1^2 + X_2^2 + 2X_1X_2 \cdot \cos(\varphi_1 - \varphi_2) \\ \varphi = \arctg \frac{X_1 \sin \varphi_1 + X_2 \sin \varphi_2}{X_1 \cos \varphi_1 + X_2 \cos \varphi_2} \end{cases}$$

Aici, cele două armonici sunt: $5 \cos(2\pi \cdot 120 \cdot 10^3 t)$ și $5 \cos\left(2\pi \cdot 120 \cdot 10^3 t - \frac{\pi}{2}\right)$.

Rezultă suma lor: $5\sqrt{2} \cos\left(2\pi \cdot 120 \cdot 10^3 t - \frac{\pi}{4}\right)$. Spectrul este ilustrat în Figura S5.23.

(b) $B = 125 \text{ kHz} - 115 \text{ kHz} = 10 \text{ kHz}$; $P = 35.25 \text{ W}$.

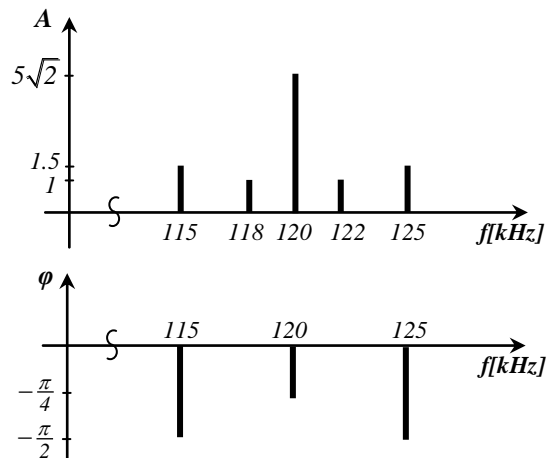


Figura S5.23

S5.24. $\beta = 0.5 \text{ rad}$.

S5.25. $\Delta f = 7.5 \text{ kHz}$.

S5.26. $f_m = 37.5 \text{ kHz}$.

S5.27. MP, cu parametrii: $X_p = 5$, $f_p = 1 \text{ kHz}$, $f_m = 100 \text{ Hz}$, $\varphi_m = \frac{\pi}{6}$, $\Delta\varphi = \pi$.

S5.28. Poate fi MF sau MP + MF. Facem să apară argumentul de la semnalul modulator în expresia semnalului modulat:

$$\cos\left(100\pi t - \frac{\pi}{3}\right) = \cos\left(100\pi t + \frac{\pi}{6} - \frac{\pi}{2}\right) = \sin\left(100\pi t + \frac{\pi}{6}\right)$$

Rezultă că este vorba de MF, cu parametrii: $X_p = 10$, $f_p = 1.5 \text{ kHz}$, $f_m = 50 \text{ Hz}$,

$$\varphi_m = \frac{\pi}{6}, \beta = \pi.$$

S5.29. Semnalul modulator este: $\sin(30\pi t + \pi) = \cos\left(30\pi t + \frac{\pi}{2}\right)$, iar în expresia

semnalului modulat, facem să apară argumentul $30\pi t + \frac{\pi}{2}$:

$$\cos\left(30\pi t + \frac{\pi}{4}\right) = \frac{1}{\sqrt{2}} \cos\left(30\pi t + \frac{\pi}{2}\right) + \frac{1}{\sqrt{2}} \sin\left(30\pi t + \frac{\pi}{2}\right)$$

Rezultă că este vorba de MF + MP, cu parametrii: $X_p = 1$, $f_p = 5 \text{ kHz}$, $\varphi_p = -\frac{\pi}{4}$,

$$f_m = 15 \text{ Hz}, \varphi_m = \pi, \beta = \Delta f = \sqrt{2}.$$

S5.30. (a) Cu relația lui Carson:

$$B_{MF1} = 2(1+5) \cdot 15 \cdot 10^3 = 180 \text{ kHz}$$

$$B_{MF2} = 2(1+2) \cdot 10 \cdot 10^3 = 60 \text{ kHz}$$

(b) Cu relația lui Manaev:

$$B_{MF1} = 2(1+5+\sqrt{5}) \cdot 15 \cdot 10^3 \approx 247 \text{ kHz}$$

$$B_{MF2} = 2(1+2+\sqrt{2}) \cdot 10 \cdot 10^3 \approx 88.3 \text{ kHz}$$

S5.31. Se scrie semnalul folosind relația (5.15) . Spectrul este ilustrat în *Figura S5.31*.

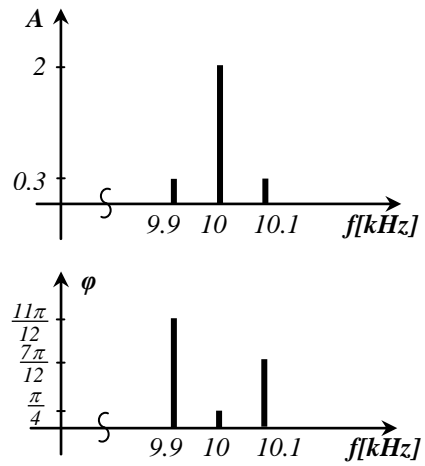


Figura S5.31

NOTAȚII

$L\{\bullet\}$	transformata Laplace
$F\{\bullet\}$	transformata Fourier
$x \otimes y$	produsul de convoluție dintre x și y
f.d.s.	funcție de sistem
BLD	bandă laterală dublă
BLU	bandă laterală unică
BLU-I	bandă laterală unică inferioară
BLU-S	bandă laterală unică superioară
DMA	dublă modulație în amplitudine
DMC	dublă modulație în cuadratură
FOB	filtru oprește-bandă
FTB	filtru trece-bandă
FTJ	filtru trece-jos
FTS	filtru trece-sus
MA	modulație în amplitudine
MF	modulație în frecvență
MP	modulație în fază
MPO	modulație polară
SALI	sistem analogic liniar și invariant în timp
SFA	seria Fourier armonică
TF	transformata Fourier

BIBLIOGRAFIE

1. Gh. Cartianu, ș.a. – “*Semnale, circuite și sisteme*”, Editura Didactică și Pedagogică, București, 1980.
2. I. Constantin – “*Semnale și răspunsul circuitelor*”, Editura Bren, București, 1999.
3. A. Mateescu, N. Dumitriu, L. Stanciu – “*Semnale și sisteme. Aplicații în filtrarea semnalelor*”, Ed. Teora, București, 2001.
4. A. Mateescu, A. Șerbănescu, ș.a. – “*Semnale, circuite și sisteme. Probleme*”, Editura Militară, București, 1998.
5. I. Popescu, V. Popescu, E. Szopos, M. Țopa – “*Semnale, circuite și sisteme. Îndrumător de laborator IV*”, Editura Casa Cărții de Știință, Cluj-Napoca, 2003.
6. V. Popescu – “*Semnale, circuite și sisteme. Partea I: Teoria semnalelor*”, Editura Casa Cărții de Știință, Cluj-Napoca, 2001.
7. M. Săvescu – “*Semnale, circuite și sisteme. Probleme*”, Editura Didactică și Pedagogică, București, 1982.
8. D. Stanomir – “*Semnale analogice și transformările lor*”, Editura Athena, București, 1995.
9. M. Țopa – “*Semnale, circuite și sisteme. Partea a II-a: Teoria sistemelor*”, Editura Casa Cărții de Știință, Cluj-Napoca, 2002